

TVA

Spedizione in abbonamento postale - Gruppo III

# *l'antenna*

Anno XXXIII - Gennaio 1961

NUMERO

1

LIRE 350

## *Smart de luxe*



# ITELECTRA

MILANO - VIA TEODOSIO 96  
TELEFONI 287028 - 252695





INTERNATIONAL DIVISION

# hallicrafts



**SX-110**

Il ricevitore SX-110, è un nuovo modello di medio costo, assicura al radioamatore le caratteristiche che si trovano normalmente solo in apparecchi di alto costo, quale un « ter », con quadrante verticale interamente visibile, un trimmer d'antenna e filtro a c. Realizzato in un mobile che unisce alle qualità estetiche quelle funzionali.

**CARATTERISTICHE:** Quadrante di sintonia orizzontale con larghezza di banda elettricizzata tarata su 10, 15, 20, 40 e 80 metri. Condensatore di sintonia per bande separate, filtro a stallo, bocchettone d'antenna, uno stadio RF e due a FI.

**GAMMA DI FREQUENZA:** Banda di ricezione da 540 a 1600 kHz, e a tre bande di onde corte da 1550 kHz a 54 MHz.

**COMANDI:** sintonia d'antenna, sensibilità, selettore di banda, BFO, sintonia, espansione di banda, volume, tono, « stand-by », commutatore AM/CW, regolazione della sensibilità, fase del cristallo, limitatore del disturbo, presa per cuffia.

**COLLEGAMENTI ESTERNI:** Terminali per antenna ad uno o due poli, terminali per altoparlanti da 3,3 e 500 ohm, sulla parte posteriore. E' raccomandato l'impiego degli altoparlanti R-47 o R-48.

**TUBI ELETTRONICI:** Sette più 1 rettificatore: 2-6SG7, 6SA7, 6SK7, 6SC7, 6K6GT, 6H6, 5Y3GT.

**POTENZA D'USCITA DI BF:** 2 Watt.

**ALIMENTAZIONE:** 105-125 Volt, 50-60 Hz CA.

Mobile in metallo grigio, con rifiniture cromate. Dimensioni cm. 54 x 24 x 30 circa. Peso con imballo: kg. 16 circa.



**SX-140**

Non rinunciate ad arricchire le vostre conoscenze professionali, avvalendovi dell'esperienza della ditta costruttrice più perfezionata nel campo della costruzione di ricevitori, soprattutto se in questo modo potrete ottenere il più economico ricevitore per radiodilettanti.

**CARATTERISTICHE:** Con questo ricevitore potrete coprire con una ottima selettività tutta la banda per dilettanti dagli 80 ai 6 m.

**CONTROLLI:** Sintonia. Trimmer di antenna. Ritaratura. Commutatore di funzione (accensione, attesa, fonia, CW, SSB). Commutatore di gamma. Taratura. Amplificazione in radiofrequenza. Limitatore di rumori. Selettività B.F.O. Amplificazione audio. Jack per cuffia. Taratura strumento.

**VALVOLE:** 6AZ8 amplificatore sintonizzato in alta frequenza e calibratore a cristallo. 6U8 oscillatore e convertitore. 6BA6 primo amplificatore di media frequenza a 1650 kHz e B.F.O. - 6T8A secondo rivelatore, CAV e preamplificatore audio. 6AW8A amplificatore finale e amplificatore per lo strumento. Due raddrizzatori al silicio per alta tensione.



**HT-40**

Adatto per essere accoppiato al ricevitore SX-140 sia per lo stile, sia per la qualità. Le caratteristiche funzionali di questo trasmettitore da 75 W sono il frutto della notevole esperienza della Hallicrafters nel campo delle onde corte.

**CARATTERISTICHE:** Il trasmettitore funziona perfettamente in CW ed in fonia nella gamma da 80 a 6 m.

Massima potenza in corrente continua in entrata: 75 W. Potenza in uscita superiore ai 35 W in CW e 30 W in fonia. Gamme di frequenza: 80, 40, 20, 15, 6 m.

**VALVOLE:** 6DQ5 amplificatore di potenza in uscita; 6CX8 oscillatore a cristallo e driver; 12AX7 amplificatore in bassa frequenza; 6DE7 modulatore; raddrizzatori al silicio per alta tensione.

**PANNELLO FRONTALE:** Commutatore di funzione (accensione, sintonia, attesa, fonia, CW). Selettore di banda (80, 40, 20, 15, 6 m.). Controllo del driver. Sintonia e carico di placca. Oscillatore a cristallo. Corrente di griglia. Misuratore. Lampada di segnalazione. Uscita in radiofrequenza.

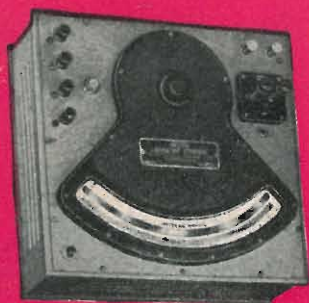
**CHASSIS POSTERIORE:** Amplificazione microfonica. Presa coassiale per antenna. Terminali per controllo a distanza. Cordone di alimentazione.

## L A R I R

Rappresentanti generali per l'Italia

s. r. l. - MILANO - PIAZZA 5 GIORNATE 1 - TELEFONI 79 57 62, 3

Agente per il LAZIO - UMBRIA - ABRUZZI: Soc. FILC RADIO - ROMA - Piazza Dante 10 - Tel. 736771



Wattmetro da laboratorio  
Modello 326



Pila campione  
Modello 4



Amperometro campione  
portatile Modello 370

# STRUMENTI WESTON



Millivoltmetro  
Modello 622



Analizzatore supersensibile  
Modello 779



Luxmetro portatile  
Modello 756

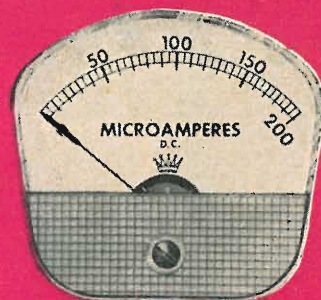
## PER LABORATORI E INDUSTRIE



Strumenti portatili  
Modello 433 - 432 - 931



Strumenti da pannello  
Modello 961



Strumenti da pannello  
serie "Corona"

# ING. S. & Dr. GUIDO BELOTTI

Telegr.: { Ingbelotti  
Milano

### GENOVA

Via G. D'Annunzio, 1-7  
Telef. 52.309

MILANO  
PIAZZA TRENTO, 8

### ROMA

Via del Tritone, 201  
Telef. 671.709

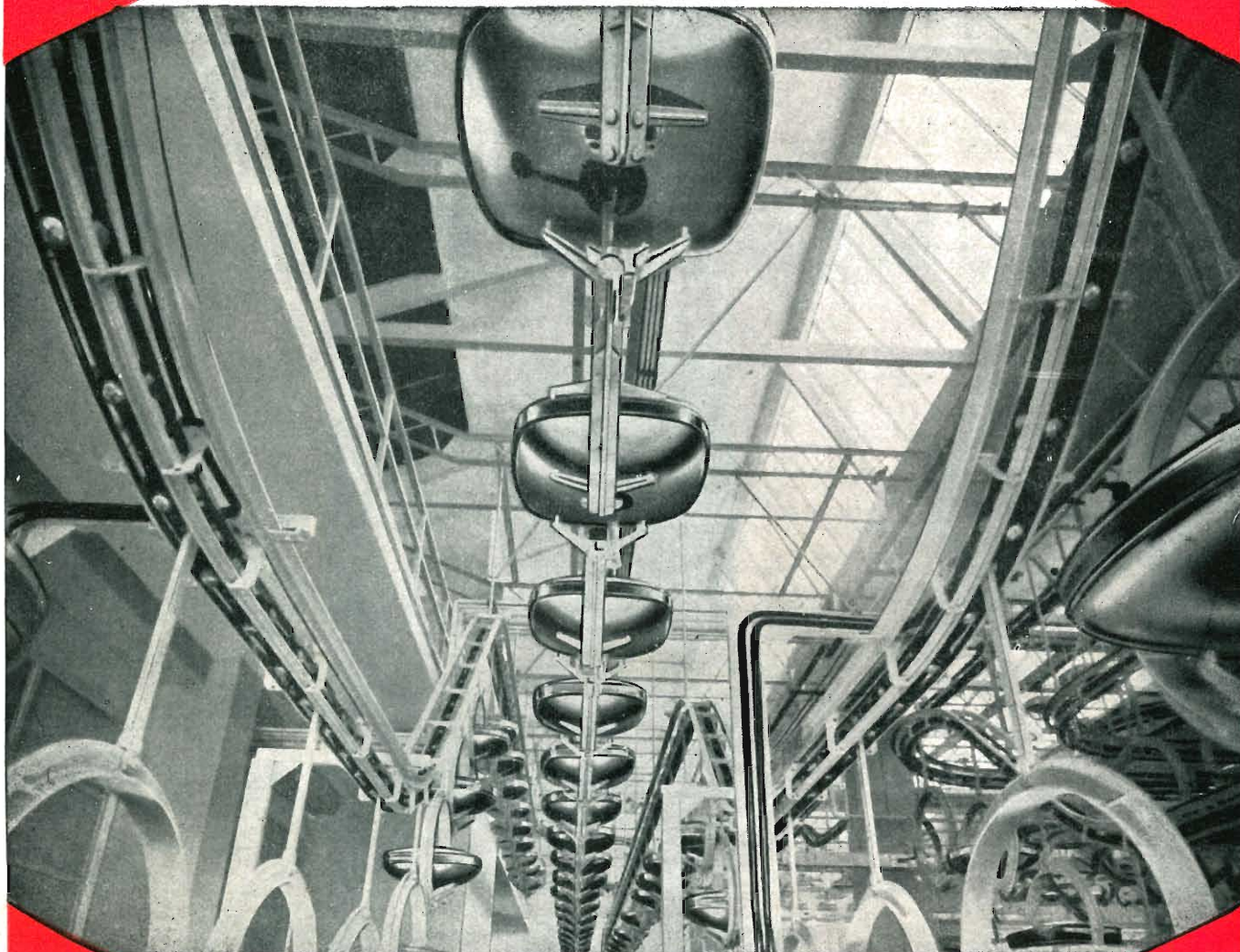
Telefoni { 54.20.51  
54.20.52  
54.20.53  
54.20.20

### NAPOLI

Via Medina, 61  
Telef. 323.279



*...dallo stabilimento più moderno d'europa*



*cinescopi*

**PHILIPS**



per primo equipaggiamento

AW 36/80 14" 90° - elettrostatico, alluminato  
AW 43/80 17" 90° - elettrostatico, alluminato  
AW 43/88 17" 110° - elettrostatico, alluminato  
AW 53/80 21" 90° - elettrostatico, alluminato  
AW 53/88 21" 110° - elettrostatico, alluminato  
AW 59/90 23" 110° - elettrostatico, alluminato

per ricambi

MW 36/44 14" 70° - magnetico  
MW 43/69 17" 70° - magnetico, alluminato  
MW 53/20 21" 70° - magnetico, alluminato  
MW 53/80 21" 90° - magnetico, alluminato

**PHILIPS S.p.A. - MILANO - Piazza IV Novembre, 3 - Tel. 6994 [15 linee]**



# Mod. TV 2311/L/UHF

110 gradi - 23 pollici



*Questo modello di eccezione racchiude in un mobile di straordinaria purezza di linee una delle più perfette realizzazioni tecniche in questo campo.*

*Oltre alle ottime caratteristiche di limpidezza, senso di profondità d'immagine, tenuta di sincronismi, abbiamo in questo spettacoloso modello delle particolarità assolutamente d'avanguardia.*

- Comandi tutti posti frontalmente.
- **Indicatore elettronico** di sintonia.
- **Cellula fotoelettrica** per la regolazione automatica del contrasto in funzione della luce ambiente.
- Tasto magico **"Studio-Film"**.
- Tre registri di tono a tasti.
- Interruttore a pulsante.
- Tasto di comunicazione **automatica** per il secondo programma (incorporato).
- Telaio di originalissima concezione meccanica in blocchi separati **orientabili** per la massima accessibilità.
- Controllo di sensibilità **automatico** e manuale.
- Profondità del mobile straordinariamente ridotta: **soli 27 cm.**
- 29 funzioni di valvola.
- Attacchi per serie di gambette metalliche (accessorio).

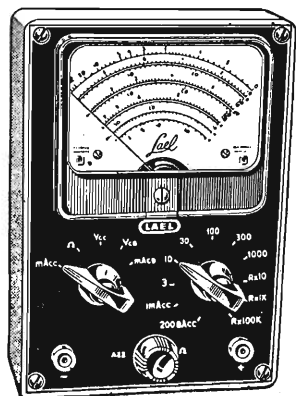
**Incar** è un *Incar*  
VERCELLI - VIA PALAZZO DI CITTÀ 5/R - TEL. 5001/02/03



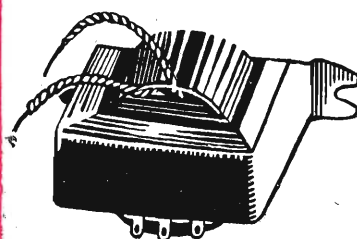
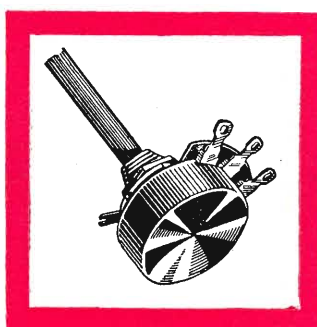
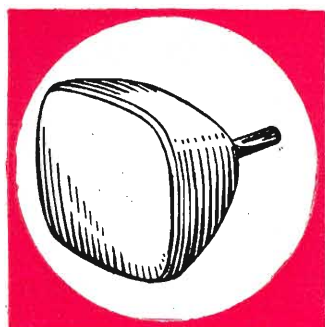
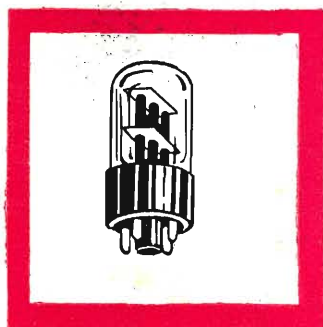
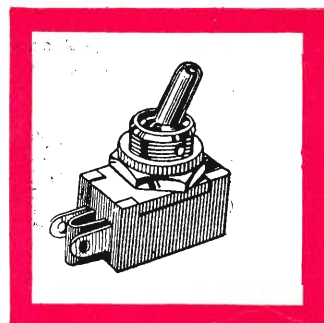
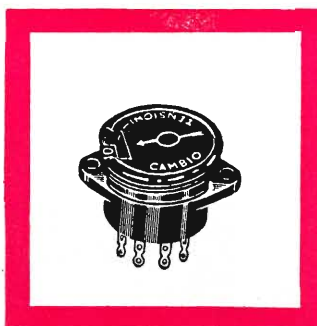
PER COSTRUTTORI E RIPARATORI,  
PER AMATORI E RIVENDITORI  
E PER TUTTI I TECNICI

# MELCHIONI

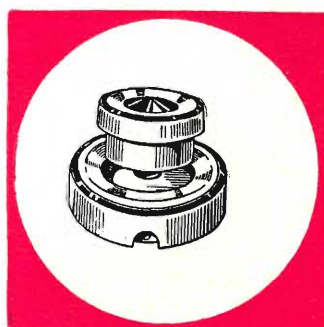
dispone di  
un vasto assortimento  
di parti staccate,  
valvole,  
cinescopi,  
strumenti di misura,  
registratori,  
amplificatori,  
trasformatori,  
minuterie, ecc.



TANZI



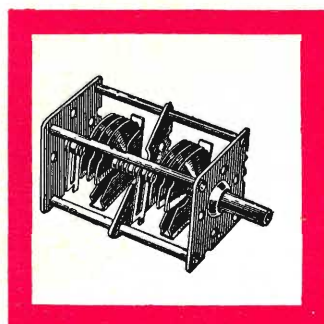
vendita anche  
per corrispondenza  
su ordinazione  
di CATALOGO



# MELCHIONI S.p.A.

VIA FRIULI, 16/18 - TELEFONO 585.893

richiedete a mezzo dell'unito modulo  
IL CATALOGO GENERALE ED I LISTINI



SPETT. MELCHIONI S.p.A. VIA FRIULI, 16/18 MILANO

Vi prego inviarmi il Vostro Catalogo Generale illustrato

COGNOME E NOME .....

VIA ..... CITTÀ .....

VI SARANNO INVIATI GRATUITAMENTE A DOMICILIO



***al vertice***

***della perfezione tecnica***

***i***

**TELEVISORI ORIGINALI TEDESCHI**

**NORDMENDE**

Distribuiti dalla

**J A H R**

MILANO - Via Q. Sella, 2 - Tel. 872.163 - 861.082

**18 AGENZIE IN ITALIA**  
con deposito  
e assistenza tecnica

- |                                  |   |
|----------------------------------|---|
| <b>ABRUZZO</b>                   | <b>Ditta Casa della Radio</b> - CHIETI -<br>Via de Lollis 2/8 - Tel. 25.46                                    |
| <b>ALTO ADIGE</b>                | <b>Ditta Volta</b> - BOLZANO - Via<br>Isarco, 6 - Tel. 27.082   |
| <b>CALABRIA</b>                  | <b>Ditta Mannella A.</b> - CATANZARO<br>Corso Mazzini, 188 - Tel. 13.07                                       |
| <b>CAMPANIA</b>                  | <b>Ditta Elter</b> - NAPOLI - P.zza Mat-<br>teotti, 7 - Tel. 321.476-387.514                                  |
| <b>EMILIA<br/>ROMAGNA</b>        | <b>Ditta Greco E.</b> - BOLOGNA - Via<br>Calori, 3 - Tel. 266.463   |
| <b>FRIULI<br/>VENEZIA GIULIA</b> | <b>Ditta Fieramosca A.</b> - TRIESTE -<br>Via Carli, 6  |
| <b>LAZIO</b>                     | <b>Ditta TELECOMMIT</b> - ROMA - Via<br>Brescia 46 - Tel. 859.654-841.110                                     |
| <b>LIGURIA</b>                   | <b>Ditta Fallabrini N.</b> - GENOVA -<br>P. Bandiera 25-r - Tel. 298.422                                      |
| <b>LOMBARDIA</b>                 | <b>Ditta Bardella A.</b> - MILANO - Via<br>Dall'Ongaro, 5 - Tel. 716.568                                      |
| <b>MARCHE</b>                    | <b>Ditta Bulgarelli A.</b> - ANCONA -<br>Via Loggia, 3 - Tel. 23.986  |
| <b>PIEMONTE</b>                  | <b>Ditta Misirocchi R.</b> - TORINO -<br>Via O. Antinori - Tel. 588.855                                       |
| <b>PUGLIE e<br/>LUCANIA</b>      | <b>Ditta Rappresentanze Elettroni-<br/>che Riunite di Nacci G.</b> - BARI -<br>Via Cairoli, 102 - Tel. 18.842 |
| <b>SARDEGNA</b>                  | <b>Ditta Ricci R.</b> - CAGLIARI - Via<br>XX Settembre, 56 - Tel. 36.80                                       |
| <b>SICILIA<br/>Occidentale</b>   | <b>Ditta Spanò G.</b> - PALERMO - Via<br>Mazzini, 49 - Tel. 17.145  |
| <b>SICILIA<br/>Orientale</b>     | <b>Ditta Giordano A.</b> - MESSINA -<br>Via dei Mille, 80 - Tel. 13.319                                       |
| <b>TOSCANA</b>                   | <b>Ditta Simonetti U. F.</b> - FIRENZE -<br>Via L. Alamanni, 5 - Tel. 26.375                                  |
| <b>UMBRIA</b>                    | <b>Ditta Greco E.</b> - BOLOGNA - Via<br>Calori, 3 - Tel. 266.463   |
| <b>VENETO e<br/>TRENTINO</b>     | <b>Ditta Voltolina V.</b> - PADOVA -<br>Via Bonazza, 73 - Tel. 41.960   |

**CONCESSIONARIA  
GENERALE  
ESCLUSIVA  
PER L'ITALIA**



ORGANIZZAZIONE

**dinco**

**...il servizio assistenza più completo...**

**dinco**

*fiduciaria  
delle grandi case  
americane*

**PHILCO  
DUMONT  
NORGE  
BENDIX  
CROSLEY**

**TELEVISORI  
FRIGORIFERI  
CONDIZIONATORI  
LAVATRICI  
CUCINE**

**Sede: MILANO - Via Davanzali 15**

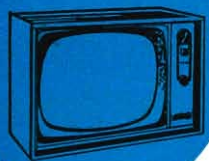
**TELEFONI: 370339 - 370347 - 370203 - 375656**

<b>Torino</b>	Via Saluzzo, 69	Tel. 687.708 687.711
<b>Torino</b>	Via S. Francesco d'Assisi	» 520.150 527.338
<b>Novara</b>	Vicolo Pasquiolo, 2	» 26.726
<b>Padova</b>	Via Raffaele Sanzio, 1	» 42.898
<b>Trieste</b>	Via Torre Bianca, 13	» 31.505
<b>Genova</b>	Via XX Settembre, 20/156	» 587.432
<b>Bologna</b>	Via Pratello, 96	» 260.821
<b>Firenze</b>	Viale Redi, 67	» 489.097
<b>Pescara</b>	Via Milano	» 23.592
<b>Roma</b>	Via I. Giorgi, 39	» 846.795 861.565
<b>Napoli</b>	Via Campanella, 5	» 387.507
<b>Bari</b>	Via Calefati, 6	» 16.326
<b>Palermo</b>	Piazza Verdi, 29	» 16.607

**STAZIONE DI SERVIZIO IN TUTTI I CENTRI SECONDARI**

**COMPLETO ASSORTIMENTO  
DI RICAMBI:**

Tubi a raggi catodici, valvole termoioniche, nastri DuMont e parti per tutti i complessi: frigoriferi, lavatrici, condizionatori d'aria, televisori, radio registratori, giradischi, ecc. delle principali case USA.



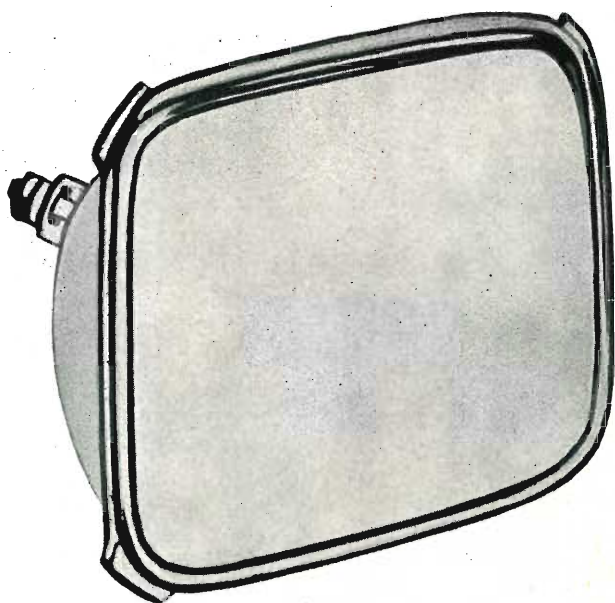


**ORGANIZZAZIONE**

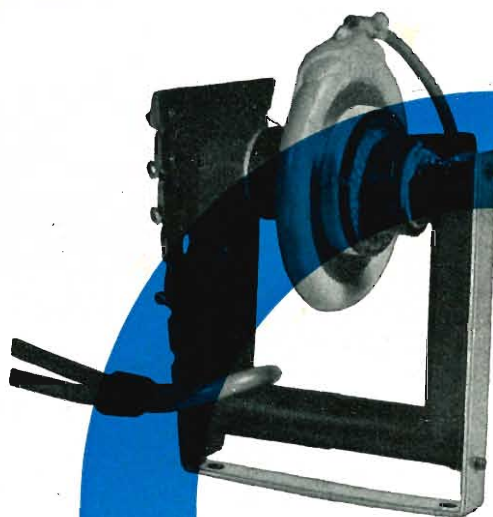
**.....il più completo  
assortimento  
di ricambi.....**



**TUBI A RAGGI CATODICI - STABILIZZATORI  
NASTRI MAGNETICI - TRASFORMATORI A.T.  
VALVOLE TERMOIONICHE**



**PARTI PER TUTTI I COMPLESSI**



La più grande distributrice di parti di  
ricambio per tutte le più importanti case

**USA**

La più forte organizzazione di assistenza

**PHILCO - DUMONT - NORGE - BENDIX - CROSLEY**

SEDE DI MILANO:

VIA DAVANZATI 15 - TEL. 370339 - 370347 - 370203 - 375656





# Elettrocostruzioni CHINAGLIA

BELLUNO - Via Col di Lana, 36/A - Telef. 41.02

MILANO - Via Cosimo del Fante, 14/A - Tel. 833.371

## NUOVA PRODUZIONE ▶



**PROVA TRANSISTORI  
Mod. 650**

**CARATTERISTICHE:** Controllo della corrente di dispersione  $I_{cb0}$  dei transistori normali e di potenza tipo PNP - NPN • **Misura** del guadagno di corrente  $\beta$  a lettura diretta su 2 scale 0÷100, 0÷300 • **Controllo** della resistenza inversa dei diodi a cristallo  
**DIMENSIONI** mm. 125 x 195 x 75

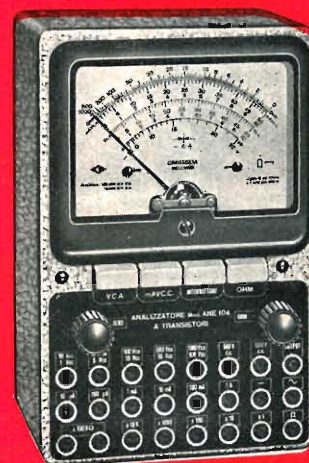


**PROVA PILE  
Mod. AP - 4**

**Misure:** L'analizzatore mod. AP-4 è idoneo alla misura di tutte le batterie di pile a secco sotto il rispettivo carico nominale. E' fornito di due scale di tensione da 1,5 a 15 volt e da 6 a 200 volt.  
**DIMENSIONI** mm. 150x95x55



**ANALIZZATORE  
ELETTRONICO  
Mod. ANE - 106**



**ANALIZZATORE  
A TRANSISTORI  
Mod. ANE - 104**



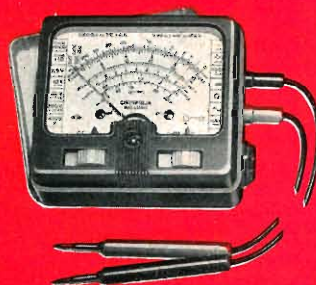
AN - 28 - 5000 Ohm V  
AN - 190 - 10000 Ohm V  
AN - 138 - 20000 Ohm V



Elettrotester VA-32



Provavalvole Mod. 560



Microtester 240 - 3000 Ohm V



**OSCILLOSCOPIO  
UNIVERSALE  
Mod. 320**

### RAPPRESENTANTI:

#### GENOVA

Cremonesi Carlo - Via Sottoripa, 7 - Tel. 296697

#### FIRENZE

Dott. Dall'Olio Enzo - Via Venezia, 10 - Telefono 588431

#### NAPOLI

«Termoelettrica» di Greco G. e Russo G. - Via S. Antonio Abate, 268/71 - Tel. 225244

#### CAGLIARI

Rag. Mereu Mourin Gino - Via XX Settembre, 78 - Tel. 5393

#### BARI

Bentivoglio Filippo - Via Calefati, 34 - Tel. 10470

#### PALERMO

«Lux Radio» di E. Barba - Via R. Pilo, 28 - Tel. 13385

#### ROMA

Ing. Guido Maresca - Via A. Riboty, 22 - Telefono 373134



# HEWLETT - PACKARD

PALO ALTO (U. S. A.)

## NUOVO ANALIZZATORE D'ONDA MOD. 302A COMPLETAMENTE TRANSISTORIZZATO

Campo di frequenza esteso:

**20 Hz. - 50 kHz**

Alimentazione a batteria o dalla linea:

Sensibilità: **3  $\mu$  V**

Campo di misura: **70 db**

Rumore proprio almeno a -75 dB

Selettività: 3,5 Hz a -3 dB

Lecture dirette, precise

Robusto, compatto, versatile



*La tecnica dei transistori comincia a dare i suoi frutti. Moltissimi problemi vengono riesaminati con i nuovi mezzi a disposizione e sono prese in esame soluzioni che una volta erano state decisamente scartate anche se con punti di notevole interesse. Così è per questo nuovo strumento: in questo caso la bassa dissipazione del complesso ha permesso una notevole concentrazione di servizi e delle prestazioni di grande interesse.*

### **Vantaggi unici** • nessuna taratura o stabilizzazione

SONO RICHIESTE • BASSO CONSUMO, NESSUN TEMPO DI RISCALDAMENTO • CONTROLLO AUTOMATICO DI FREQUENZA AFC ( $\pm 100$  Hz) PER UNA FACILE E PRECISA SINTONIZZAZIONE • USCITA PER LA FREQUENZA SOTTO CONTROLLO PERMETTE MISURE ACCURATE DI FREQUENZA DELLE ARMONICHE IN MISURA • USCITA DELLO STRUMENTO, COME OSCILLATORE SINTONIZZATO MEDIANTE UN SOLO CONTROLLO SULLA STESSA FREQUENZA DEL VOLTMETRO SELETTIVO PERMETTE MISURE DI SELETTIVITA' DI QUADRIPOLE CON UN SOLO STRUMENTO

#### CARATTERISTICHE IN BREVE:

Campo di frequenza analizzato: 20-50.000 Hz.  
Scala di frequenza: a graduazione lineare ogni 10 Hz.

Precisione di scala: (1% + 5 Hz).

Campo di lettura di tensione da 300 V a 3  $\mu$ V con scala da:

300 V	300 mV	300 $\mu$ V
100 V	100 mV	100 $\mu$ V
30 V	30 mV	30 $\mu$ V
10 V	10 mV	
3 V	3 mV	
1 V	1 mV	

di lettura fondo scala.

Tempo di attesa per la messa in funzione: praticamente inesistente.

Precisione di lettura di tensione:  $\pm 5\%$  del valore fondo scala.

Prodotti residui di modulazione e tensione dovuta al rumore di fondo (hum): oltre 75 dB sotto il livello utile.

Attenuazione introdotta per i segnali in ingresso di frequenza pari a quello di media frequenza: 75 dB.

Selettività:

per uno scostamento di  $\pm 3,5$  Hz rispetto al centro banda 3 dB; per uno scostamento di  $\pm 25$  Hz rispetto al centro banda 50 dB; per uno scostamento di  $\pm 70$  Hz rispetto al centro banda 80 dB; per uno scostamento di oltre  $\pm 70$  Hz rispetto al centro max 80 dB.

Impedenza di ingresso: determinata dalla posizione dell'attenuatore di ingresso 100 k $\Omega$  sulle 4 portate di maggiore sensibilità, 1 M $\Omega$  sulle altre.

Uscita per la frequenza sotto controllo: 1 volt a circuito aperto in corrispondenza della massima deviazione dello strumento in fondo scala. E' previsto un controllo di livello. Risposta di frequenza:  $\pm 1$  dB da 20 a 50.000 Hz. Impedenza d'uscita all'incirca 600  $\Omega$ .

Uscita dello strumento impiegato come oscillatore a battimenti 1 V a circuito d'uscita aperto. E' previsto un controllo del livello di uscita.

Controllo automatico di frequenza-campo di azione del controllo: al minimo  $\pm 100$  Hz.

AGENTE  
ESCLUSIVO  
PER L'ITALIA

**Dott. Ing. M. VIANELLO**

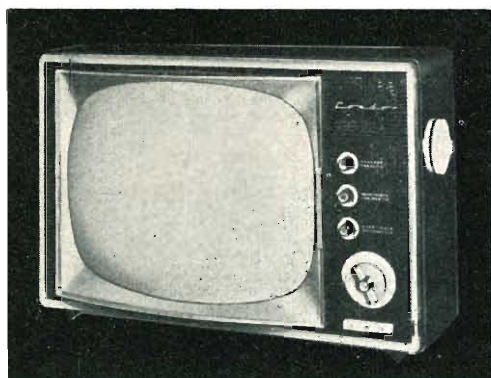
MILANO - Via L. Anelli 13  
Telefoni 553081 - 553811

Filiale: ROMA - VIA S. CROCE IN GERUSALEMME 97 - TELEFONI 767250 - 767941



dienne

# Condor



televisori

modelli da 17" - 21" - 23"

autoradio

un modello per ogni vettura italiana



radioricevitori

portatile a transistor  
modello 2280 OC/OM

complesso  
alta fedeltà



stereo

Dott. Ing. G. GALLO  
S. p. A. Elettromeccanica  
MILANO • VIA U. BASSI, 23a  
TELEFONO 600.628 - 694.267

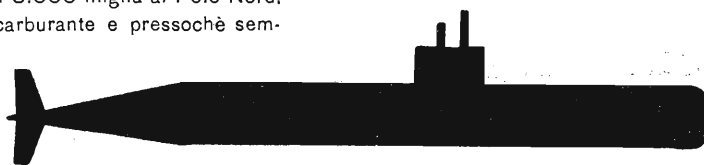


# Westinghouse



1 - USS - NAUTILUS

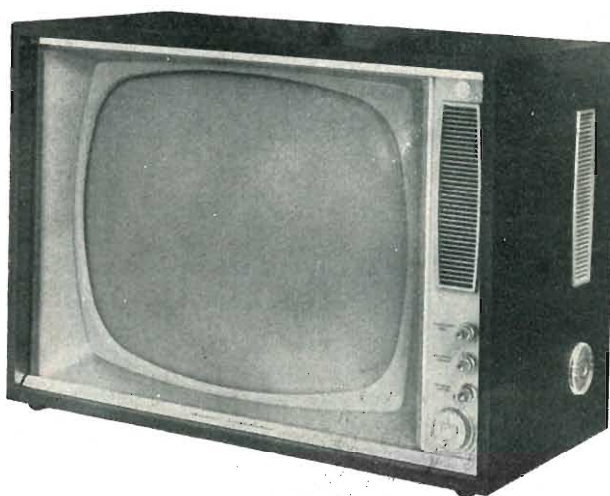
Il reattore atomico Westinghouse, azionato da una piccola quantità di uranio, permise al Nautilus di completare il viaggio di 8.000 miglia al Polo Nord, senza rifornimenti di carburante e pressochè sempre sotto acqua.



2 - USS SKATE

Il secondo a conquistare il ghiaccio polare, a distanza di soli 8 giorni! Lo Skate è pure dotato di un reattore atomico Westinghouse.

**dall'esperienza westinghouse  
il televisore ineguagliabile**



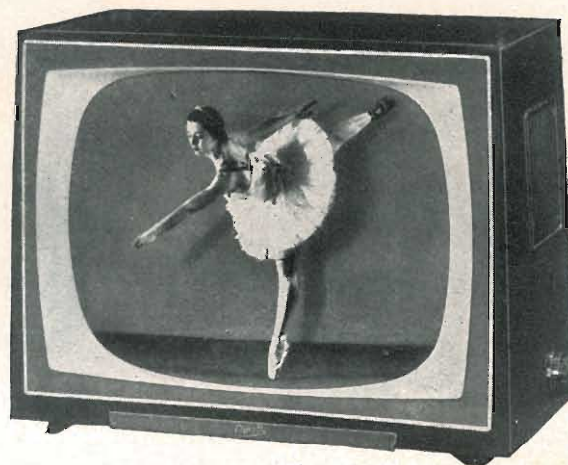
**Distributrice UNICA per l'Italia Ditta A. MANCINI**  
**MILANO - Via Lovanio 5 - Tel. 650.445 - 661.324 - 635.240**  
**ROMA - Via Civinini, 37 - 39 - Tel. 802.029 - 872.120**



**MAHARANI**  
RADIO - FONO - TV



**MARKGRAF**



**GOUVERNEUR**

# TELEVISORI

**AUTOREGOLAZIONI ELETTRONICHE  
COMPLETI DI SINTONIZZATORE U.H.F.**



AGENZIE



**MESSINA**  
**MILANO**  
**NAPOLI**  
**PADOVA**  
**ROMA**  
**TORINO**

ARTES, via Garibaldi n. 124 H-I-L  
Teleradio Gen. Co., Via Lusardi n. 8  
Ing. G. Ballarin, via G. Cesare n. 43  
Ing. Giulio Ballarin, Via Mantegna n. 2  
Teleradio, P.za S. Donà di Piave n. 16/19  
GRAETZ, C.so Duca degli Abruzzi n. 6

**BARI**  
**BOLZANO**  
**CAGLIARI**  
**FIRENZE**  
**GENOVA**  
**MACERATA**

Radio CIATTI & C., via N. Bavaro n. 79  
Int. Radio Service, Via Vanga n. 61  
Radio CIATTI & C., via Paoli n. 2  
Radio CIATTI & C., via F. Baracca n. 2  
GRAETZ, Via Ippolito d'Aste n. 1/2  
Radio CIATTI & C., via Spalato. n. 81



1960

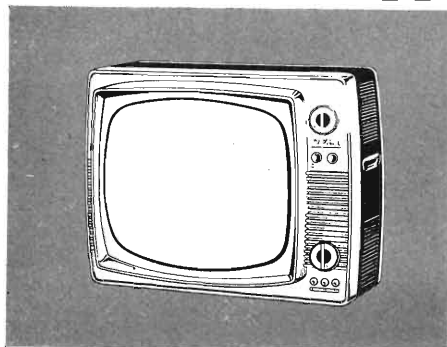
# WEST

la "supermarca,,

PRODUZIONE  
MAGNET  
MARELL

1961

*alcuni apparecchi della nuova produzione*

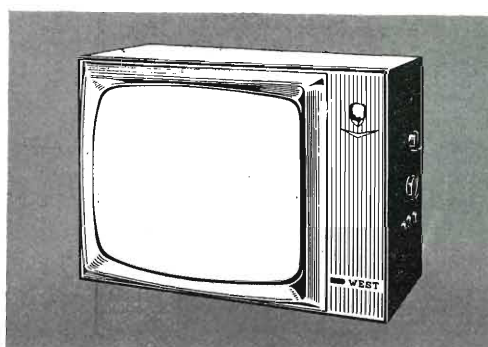


**VS 516 M - 17" - 110°**

"ULTRAVISION"

televisore portatile  
per ogni esigenza

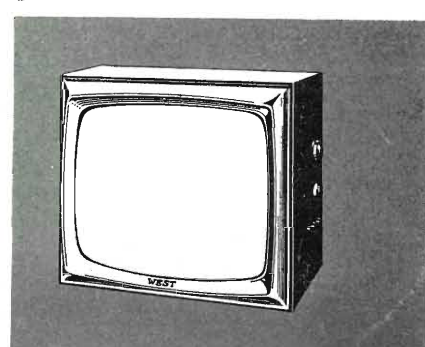
predisposto per il 2° progr.  
**L. 148.000**



**VS 519 - 23" - 110°**

a schermo squadrato  
trasformabile in consolle  
predisposto per il 2° progr.

**L. 170.000**



**VS 520 - 19" - 114°**

"ULTRAVISION"

a schermo squadrato

predisposto per il 2° progr.  
**L. 131.000**

*i prezzi dei televisori pronti per il 2° programma vanno aumentati di L. 12.000*

**DS 225 - radio OM**

5 valvole

**L. 14.200**

**DS 301**

radiorecettore  
portatile

a 6 transistori

**L. 25.600 (pile escluse)**

**DS 302**

radiorecettore

portatile

a 8 transistori

**L. 38.700 (pile escluse)**

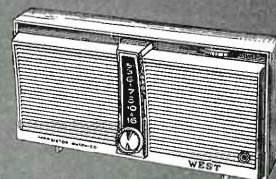
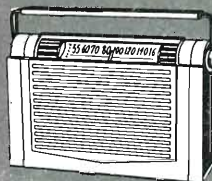
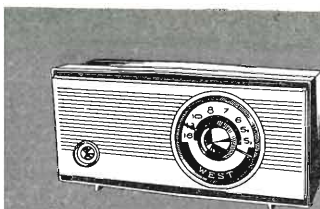
**DS 303**

radiorecettore

a 6 transistori

con 2 altoparlanti

**L. 28.600 (pile escluse)**



*tutti i prezzi dei modelli radio-TV comprendono le tasse radio*

# WEST - WEST - WEST

**catalogo gratis a richiesta alla West - C.so Venezia 53, Milano  
o presso le Agenzie e Rivenditori in Italia**



la **TELEFUNKEN** adeguata al  
**MERCATO COMUNE**  
**EUROPEO (MEC)**

attrezzature modernissime  
produzione aumentata  
prezzi ridotti  
qualità di alto livello



8/6:



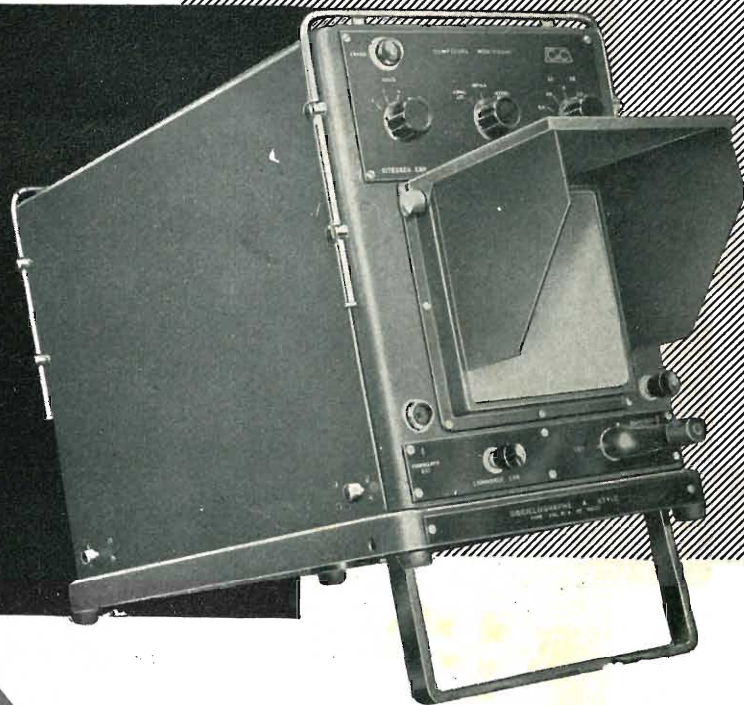
**TELEFUNKEN**

*la marca mondiale*

# oscillografo a stilo

a 8 equipaggi

# OSC 81A



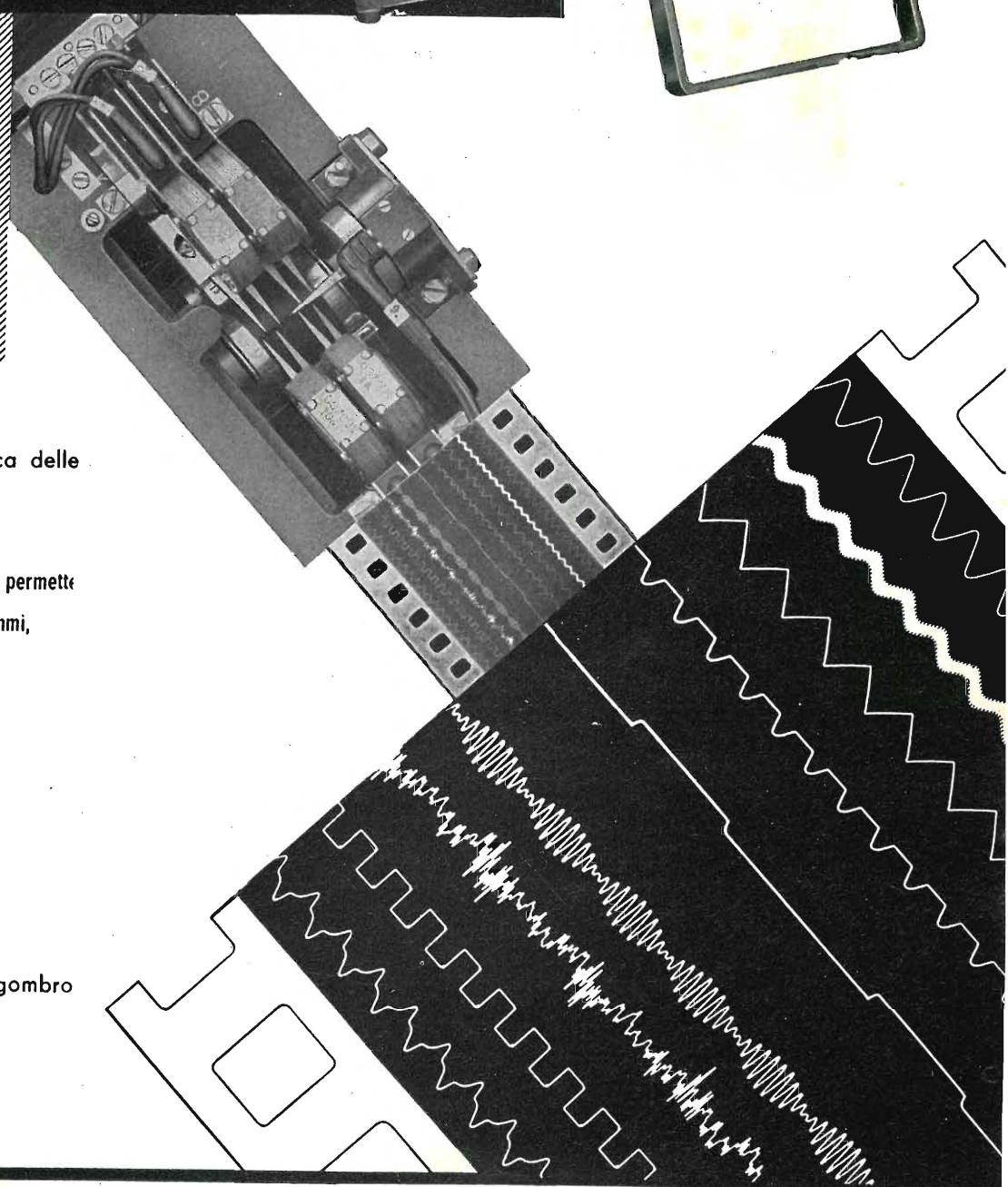
Un nuovo progresso nella tecnica delle misure: l'oscillografia immediata!

registra otto fenomeni contemporanei e permette l'osservazione immediata degli oscillogrammi, senza alcun procedimento di sviluppo.

Sensibilità degli equipaggi:

da  $\left\{ \begin{array}{l} 10 \text{ mA} \\ 75 \text{ Volt} \end{array} \right\}^a \left\{ \begin{array}{l} 1 \text{ Amp} \\ 0,75 \text{ Volt} \end{array} \right.$

Apparecchio portatile di limitato ingombro  
peso 18 Kg.



Costruz.: Compagnie des Compteurs - Montrouge (Francia)

Vendita per l'Italia:

**SEB** - MILANO VIA SAVONA, 97





**TUTTO  
STEREO  
FEDELTA'**

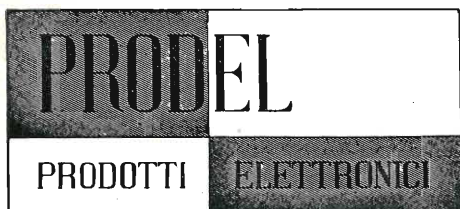
**Prima  
in Italia con  
ALTA  
FEDELTA'**

**Prima con  
STEREO  
FEDELTA'**

### **Gran Concerto STEREO**

Radiofono stereofonico ad altissima fedeltà in unico mobile di accuratissima esecuzione, con giradischi semiprofessionale con doppia testina Stereo e normale a riluttanza • gruppo elettronico **Prodel-Stereomatic**: doppio amplificatore 10+10 Watt e sintonizzatore a modulazione di frequenza • doppio gruppo di altoparlanti (6 in totale) a forte dispersione stereofonica montati in sospensione pneumatica • dimensioni cm. 125×36×80 • spazio per registratore a nastro, fornibile a richiesta • **Prezzo listino Lire 350.000.**

12 modelli Stereo, dal Portatile «Stereonette» ai più grandiosi modelli: Serenatella 2ª Serie • Melody 2ª Serie • Recital • Prelude Stereo • Festival • Festival De Luxe • Gran Concerto Stereo • Registratore normale (HM5) e Stereo (M5-S); Harting • Amplificatori: Jason e Harman Kardon • Altoparlanti: Tannoy • Testine Stereo: C.B.S. - Ronette - Pickering - Elac • Giradischi professionali: Garrard - Thorens • Amplificatore Stereo e Sintonizzatore FM - Modello Prodel Stereomatic - 13÷30.000 cps = 10+10 Watt.



**PRODEL S.p.A. - PRODOTTI ELETTRONICI**

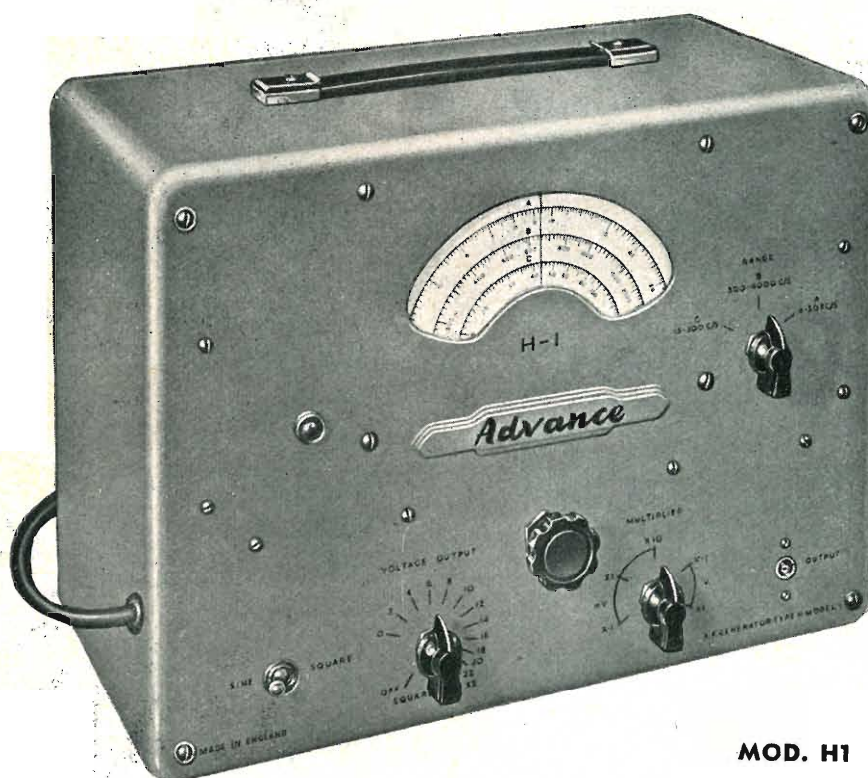
**MILANO** via monfalcone 12 - tel. 283651 - 283770

# GENERATORI DI SEGNALI per la BASSA FREQUENZA

con



per esser sicuri!



**MOD. H1**

## ADVANCE COMPONENTS LIMITED

ROEBUCK ROAD, HAINAULT, ILFORD, ESSEX

Distributori esclusivi per l'Italia:

**PASINI & ROSSI - Genova**

Via SS. Giacomo e Filippo, 31 (1° piano) Telegr.: PASIROSSI - Tel. 893465 - 870410

MILANO: Via A. da Recanate, 4 - Tel. 278855

I modelli « **ADVANCE** » H1, J1 e J2 sono i Generatori di segnali audio più largamente usati in Europa per ricerche, studi, comunicazioni, servizio riparazioni e scopi didattici

### MOD. H 1

Campo di frequenza da 15 a 50000 Hz  
Onda di uscita sinusoidale o quadra  
Tensione di uscita (alta impedenza):  
Onde sinusoidali da 200  $\mu$ V a 20 V r.m.s.

Onde quadre da 800  $\mu$ V a 80 V picco a picco

Distorsione minore dell'1% a 1000 Hz  
Caratteristiche tecniche complete nel foglio M 41

### MOD. J 1

Campo di frequenza da 15 a 50000 Hz  
Onda di uscita sinusoidale variabile con continuità su impedenza 600 ohm da 0,1 mW a 1 W

Su impedenza 5 ohm, massimo 0,5 W  
Impedenza d'uscita a 600 ohm, non bilanciata a 5 ohms,

non bilanciata (con un capo a massa)  
Distorsione minore del 2% a piena potenza di uscita

Caratteristiche tecniche complete nel foglio M 33

### MOD. J 2

Identico al mod. J1 ma con l'aggiunta di un misuratore di livello d'uscita  
Caratteristiche tecniche complete nel foglio MB 33



Signora,  
ora può stare  
tranquilla:  
ho sostituito  
il tubo  
difettoso  
con un



Anche la donna di casa  
conosce RCA!

*Perchè in tutto il mondo  
questo marchio significa  
elettronica d'avanguar-  
dia.*

*Nei vostri interventi per  
il servizio, quando sosti-  
tuite un tubo difettoso  
con un nuovo tubo RCA,  
mostrate al vostro Clien-  
te il marchio che questo  
porta. Questo marchio  
indica che il tubo è sta-  
to prodotto con le tecni-  
che RCA, che è stato col-*



*laudato a fondo con le  
norme RCA che la sua  
qualità è qualità RCA.  
Aggiungerete prestigio al  
vostro lavoro usando un  
tubo elettronico di gran  
marca, di sicura garan-  
zia, costruito per un fun-  
zionamento durevole e  
per la massima efficien-  
za su qualunque telaio.  
Con una vasta Clientela  
soddisfatta aumenterete  
i vostri profitti.*

Richiedete i tubi RCA  
prodotti dalla ATES  
presso il vostro grossi-  
sta o il vostro negozio  
di fiducia.

**ATES**

AZIENDE TECNICHE ED ELETTRONICHE DEL SUD S.P.A.







**giradischi  
cambiadischi  
amplificatori a.f.**

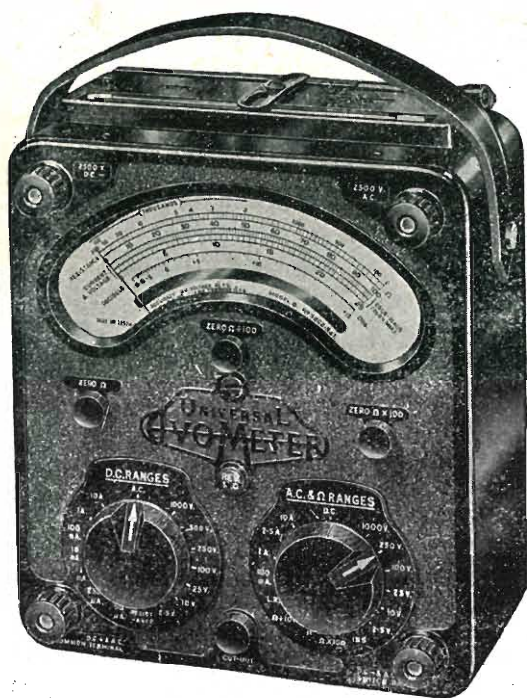
**I prodotti "LESA"  
non temono confronti.**

**Sono garantiti  
dalla marca più famosa!**

**LESA**

**RICHIEDETE  
IL CATALOGO  
INVIO GRATUITO**

**LESA s.p.a. MILANO - VIA BERGAMO 21 - TEL. 554.341/2/3**



**AVOMETER mod. 8**

Questo strumento a più campi di misura è stato progettato principalmente per impiego nella tecnica elettronica, della radio e della televisione.

**AVO Ltd. - LONDRA**



**Avo Multiminor mod. 1 • Avometer mod. 7 • Avometer mod. 40  
• Provavalvole • Tester Elettronici • Provatransistors • Ponti di  
misura • Generatori AM/FM • Misuratori di radiazioni • Amplifi-  
catori C. C.**

**Caratteristiche:**

Sensibilità - 20.000 ohm per volt in c.c. - 1.000 ohm per volt in c.a. • Relais di sovraccarico • Invertitore di polarità.

**Campi di misura:**

Tensione c.c. e c.a. 0 - 2500 volt • Corrente c.c. minima: 50  $\mu$ A • Corrente c.c. massima: 10 A. • Corrente c.a.: 10 A. • Resi-  
stenza: 20 Mohm - batteria int.; 200 Mohm - sorgente esterna.

Rappresentante per l'Italia

**EXHIBO ITALIANA S. R. L.**  
MILANO - Via G. Fara 39 - Tel. 667832 - 667068





# SIMPSON

(U. S. A.)

## NUOVO! mod. 270

### TESTER DI ALTA PRECISIONE

± 1,5% F. S. in C. C.    ||    ± 1,5% dell'arco di  
± 2% F. S. in C. A.    ||    deviazione in ohm



Just plug it in

### NUOVO SISTEMA

di cassette inseribili a spina nel tester Simpson 260 e 270. Sette cassette per 7 misure diverse: misura transistori, voltmetro a valvola in c.c., misuratore di temperatura, amperometro in c.a., wattmetro per audio frequenze, attenuatore micro-voltmetrico, provabatterie

AGENTE  
ESCLUSIVO  
PER L'ITALIA

**Dott. Ing. M. VIANELLO**

MILANO - Via L. Anelli 13  
Telefoni 553081 - 553811



**KATHREIN**

Antenne TV  
a larga banda

Nuovi amplificatori  
a larga banda

Antenne MF  
ancora migliorate

ANTENNE  
KATHREIN  
qualità +  
durata

**ANTON KATHREIN - ROSENHEIM (GERMANIA)**  
la più vecchia fabbrica europea d'antenne

Rappresentante Generale:

**Ing. OSCAR ROJE - Via T. Tasso, 7 - MILANO - Tel. 432.241 - 462.319 - 483.230**

ACCESSORI RADIO TV

VALVOLE

TRANSISTORI

SCONTI ECCEZIONALI

STUDIO PELLEGRINI

TUBI TV

**RADIO ARGENTINA**

RICHIEDERE OFFERTA

**ROMA**

VIA TORRE ARGENTINA, 47

TELEF. 565.989

PHILIPS

TELEFUNKEN

FIVRE

MARCONI

R.C.A.

SILVANIA

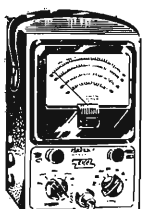
DUMONT

**TEICO**

ELECTRONIC INSTRUMENT CO. - NEW YORK

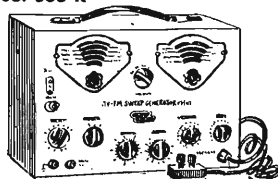


Mod. 460 K

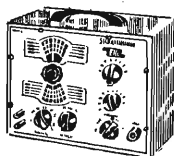


Mod. 232 K

Mod. 368 K



Mod. 324 K



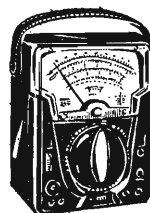
30 TIPI DI STRUMENTI, MONTATI O IN SCATOLA DI MONTAGGIO, TRA CUI ALCUNI NUOVISSIMI, PER LE PIÙ VARIE MISURAZIONI E CONTROLLI - RADIO - TV - TELEGRAFIA, ecc.

Per caratteristiche, prezzi, consegna, ecc., rivolgersi a:

**TRIPLETT**

Bluffton - Ohio U.S.A.

ANALIZZATORI UNIVERSALI E VOLTMETRI ELETTRONICI DI ALTA QUALITÀ



Mod. 631



Mod. 650

Mod. 310 (TASCABILE)



Mod. 630 A

ANDEL

DISTRIBUTORI PER L'ITALIA:

**PASINI & ROSSI**

GENOVA - Via S. Giacomo e Filippo, 31

Tel. 870410-893465

MILANO - Via A. Da Recanate, 4 Tel. 278855





# ELECTRO - LOGIC CORPORATION

CALIFORNIA

U. S. A.

## VOLTMETRO DIGITALE MARK II

Modello V 1

Per l'industria e il laboratorio **a basso costo** un Voltmetro digitale di alte caratteristiche per misure precise e immediate

**Particolarmente adatto per il controllo dei componenti**

Precisione: 0,5% • Campi di misura: 0 - 2,50V; 0 - 25,0V; 0 - 250V c. c. • Impedenza di ingresso: 1 Mohm. su tutti i campi di misura • Alimentazione: 105÷125V, 50 Hz.

### Altri modelli:

	Campi di misura	Imped. d'ingresso	precisione
V1-1	0-2,50 V; 0-25,0 V; 0-250 V; c.c.	1 M ohm	0,5%
	0-2,50 V; 0-25,0 V; 0-250 V; c.a.	1 M ohm	1%
V1-2	0-2,50 V; 0-25,0 V; 0-250 V; c.c.	1 M ohm	0,5%
	0-2,50 A; 0-25,0 mA; 0-250 mA	1 - 10 - 100 ohm	0,5%
V1-3	0-2,50 V; 0-25,0 V; 0-250 V; c.c.	1 M ohm	0,5%
	0-2,50 V; 0-25,0 V; 0-250 V; c.a.	1 M ohm	1%
	0-2,50 A; 0-25,0 mA; 0-250 mA	1 - 10 - 100 ohm	0,5%
V3	0-10 V; 0-100 V; 0-1000 V; c.c.	10 M ohm	0,1%
V3R	0-10 V; 0-100 V; 0-1000 V; c.c.	10 M ohm	0,1%
	0-1 kΩ; 0-10 kΩ; 0-100 kΩ; 0-1 MΩ; 0-10 MΩ	10 M ohm	0,1%
V4	0-10 V; 0-100 V; 0-1000 V; c.c.	10 M ohm	0,01%

Agenti per l'Italia:

## Ing. TARAGNI & C.

Milano - via Borgonuovo 14, tel. 661750 - 635446

Bologna - via Castiglione 4, telefono 231228

Torino - via Sagliano Micca 4, telefono 520310

ANNO

XXXIII

# L'antenna

GENNAIO 1961 RADIOTECNICA E TECNICA ELETTRONICA

Proprietà EDITRICE IL ROSTRO S.A.S.

Gerente Alfonso Giovane

Direttore responsabile dott. ing. Leonardo Bramanti

Comitato di Redazione prof. dott. Edoardo Amaldi - dott. ing. Vittorio Banfi - sig. Raoul Biancheri - dott. ing. Cesare Borsarelli - dott. ing. Antonio Cannas - dott. Fausto de Gaetano - dott. ing. Leandro Dobner - dott. ing. Giuseppe Gaiani - dott. ing. Gaetano Mannino Patanè - dott. ing. G. Monti Guarnieri - dott. ing. Antonio Nicolich - dott. ing. Sandro Novellone - dott. ing. Donato Pellegrino - dott. ing. Celio Pontello - dott. ing. Giovanni Rochat - dott. ing. Almerigo Saitz - dott. ing. Franco Simonini.

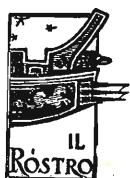
Consulente tecnico dott. ing. Alessandro Banfi

## SOMMARIO

- |                    |    |   |
|--------------------|----|---|
| A. Banfi           | 1  | Prospettive per il millenovecentosessantuno.  |
| P. Quercia         | 2  | Amplificatore parametrico a fascio elettronico (parte prima).   |
| F. Simonini        | 14 | Il metodo dell'analisi « per campioni » in un moderno oscilloscopio a 500 MHz.  |
| i.s., ipra, s.s.b. | 21 | Ricerca scientifica e istruzione delle maestranze fondamento dell'automazione — Dichiarazioni del prof. G. Polvani sulla ricerca scientifica — Una scoperta della General Electric contribuisce a far luce sul fenomeno elettronico del « tunneling » e superconduttività — Un ponte di Wheatstone a commutatori rotanti. |
|                    | 24 | Selettore di canali VHF Philips a bobine stampate modello PK 95233.   |
| i.s.               | 26 | Un programma di ricerche per realizzare la fila a combustione.  |
| Electron           | 27 | Uno sguardo alla tecnica TV tedesca.  |
| A. Ricciardi       | 28 | Nota sull'impiego dei raddrizzatori al silicio.   |
| G. Checchinato     | 33 | Nuovi tubi multipli: i compactron.  |
| G. Baldan          | 34 | ECL86, nuovo tubo multiplo per bassa frequenza.   |
| P. Soati           | 38 | Note di servizio dei ricevitori di TV Continental.  |
| Micron             | 43 | Sulle onde della radio.   |
| A., P. Soati       | 44 | A colloquio coi lettori.  |
|                    | 47 | Archivio schemi.  |

Direzione, Redazione,  
Amministrazione  
Uffici Pubblicitari

VIA SENATO, 28 - MILANO - TEL. 70.29.08/79.82.30  
C.C.P. 3/24227



La rivista di radiotecnica e tecnica elettronica « l'antenna » si pubblica mensilmente a Milano. Un fascicolo separato L. 350: l'abbonamento annuo per tutto il territorio della Repubblica L. 3.500; estero L. 5.000. Per ogni cambiamento di indirizzo inviare L. 50, anche in francobolli. Tutti i diritti di proprietà artistica e letteraria sono riservati per tutti i paesi. La riproduzione di articoli e disegni pubblicati è permessa solo citando la fonte. La responsabilità tecnico-scientifica di tutti i lavori firmati spetta ai rispettivi autori, le opinioni e le teorie dei quali non impegnano la Direzione.



semiconduttori professionali

# transistori per radioricevitori e amplificatori



Sono transistori al germanio pnp a giunzione di lega.

Lo speciale controllo del processo di produzione seguito da stabilizzazione termica a 100 °C consente caratteristiche di tipo professionale che si manifestano in una eccezionale uniformità di parametri e nella loro stabilità fino alle condizioni limite di funzionamento.

Il controllo sul 100% dei pezzi e la prova di vita alla massima dissipazione prolungata per 1000 ore, accompagnata e seguita dalla verifica di tutti i parametri, permettono di garantire con sicurezza le seguenti prestazioni:

guadagno dei transistori per alta frequenza con tolleranza di 1,5 db

guadagno totale medio dei tre transistori per alta frequenza  $100 \pm 3$  db

potenza di uscita per uno stadio finale in controfase 1W senza dissipatore

	$V_{CBO}$ (volt)	$I_C$ (mA)	$P_C$ (mW)	$h_{FE}$	$f_{ab}$ (Mc)	$I_{CBO} (\mu A)$ a $V_{CB} (V)$	$G_B$ (db)
2G 141 conv.	-20	200	150	100	10	6 a - 15	$31 \pm 1,5$
2G 140 conv.	-20	200	150	80	10	6 a - 15	$29 \pm 1,5$
2G 139 i.f.	-20	200	150	60	5	6 a - 15	$36 \pm 1,5$
2G 138 i.f.	-20	200	150	40	5	6 a - 15	$34 \pm 1,5$
2G 109 pil.	-25	100	140	95	3.5	16 a - 15	42
2G 108 pil.	-25	100	140	60	2.5	16 a - 15	40
2G 271 fin.	-30	200	240	80	3	16 a - 25	37
2G 270 fin.	-30	200	240	40	2	16 a - 25	35

licenza general electric co.

U.S.A.

società generale semiconduttori s.p.a.

agrate milano italia

uffici di milano: via c. poma 61 - tel. 723.977

dott. ing. Alessandro Banfi

## Prospettive per il millenovecentosessantuno

*E' di prammatica, nel primo numero di ogni nuova annata, fare previsioni ed induzioni sui probabili sviluppi che si affacciano per l'anno che incomincia. E' stato detto che la sigla 1961 si presenta astrologicamente favorevole, anche per la singolare coincidenza che, capovolta, rimane inalterata come espressione numerica. La più prossima coincidenza del genere si era verificata solo nel 1881, e si verificherà solo nel lontanissimo 6009.*

*Ma a parte tali singolarità numeriche il 1961 si presenta nel nostro ambiente, molto ricco di promesse e di felici circostanze.*

*Infatti se il trascorso 1960 ci ha portato a toccare la quota di 2 milioni di abbonati alla TV sin dal mese di luglio ed il traguardo di fine d'anno è prossimo ai 2.300.000, e tutto ciò senza l'apporto di interesse del 2° programma, anzi se vogliamo, con un apporto negativo a causa della ridda di notizie contrastanti sull'effettiva data di inizio di tale programma, occorre tenere ben presente che il 1961 sarà proprio l'anno di grazia della televisione. E dicendo « anno di grazia » non voglio limitarmi alla sola circostanza dell'avvento del 2° programma TV, bensì ad un complesso di interessanti fattori tecnici, che introdotti nei televisori di nuova produzione, ne miglioreranno notevolmente le prestazioni generali. La tecnica circuitale del televisore va, via via, affinandosi sempre più e l'adozione di molte funzioni automatiche assicurano un funzionamento irrepressibile sotto ogni profilo di qualità dell'immagine, anche in condizioni di impiego molto precarie.*

*Una larga estensione dell'automatismo a molte funzioni circuitali, assicura poi la migliore resa del televisore anche in mani tecnicamente inesperte. La riduzione notevole delle dimensioni d'ingombro dei moderni televisori, nonché la migliorata tecnica costruttiva, li rendono inoltre accessibili e sicuri quanto un normale radioricevitore.*

*Il 1961 vedrà inoltre diffondersi ed entrare nell'uso pratico anche i televisori portatili a « transistori » con tubo da 8 pollici con un'immagine delle dimensioni di una normale cartolina illustrata.*

*Nel campo dei radioricevitori, il nuovo anno ci porterà ad una più estesa applicazione dei transistori anche negli apparecchi da tavolo non propriamente portatili. Il radioricevitore domestico a transistori privo di alimentazione, facilmente spostabile senza vincoli e prese di corrente, con potenza e qualità sonore identiche al classico tipo a valvole, costituirà una vera e propria evoluzione pratica nel campo delle radio, anche sotto un profilo economico per l'usabilità e l'indistruttibilità dei transistori e per il minor costo delle batterie di pile a secco nei rispetti dell'energia elettrica.*

*Il radioricevitore a transistori inoltre, diffusosi inizialmente con la sola gamma delle onde medie, si è ora completato, in modo analogo ai normali ricevitori a valvole, delle gamme ad onde corte, cortissime e modulazione di frequenza, soddisfacendo pertanto ad ogni esigenza di ricezione. Comunque, tutta la tecnica radio-televisiva trarrà indubbiamente grandi vantaggi dagli eccezionali sviluppi della ognor più vasta tecnica elettronica. Anche la TV a colori inizierà in Inghilterra e forse anche in Francia delle trasmissioni sperimentali a titolo di preparazione per i futuri sviluppi pratici dei televisori a colori, ma su questo argomento ritorneremo fra breve, dato il palese interesse dei nostri tecnici.*

*Non ci rimane quindi, dopo questo rapido sguardo ai prevedibili eventi che più ci potranno interessare, che esternare l'augurio di un anno prospero, apportatore di felicità, soddisfazioni e soprattutto pace e serenità sotto ogni profilo.*

A



dott. ing. Paolo Quercia

# Amplificatore parametrico a fascio elettronico

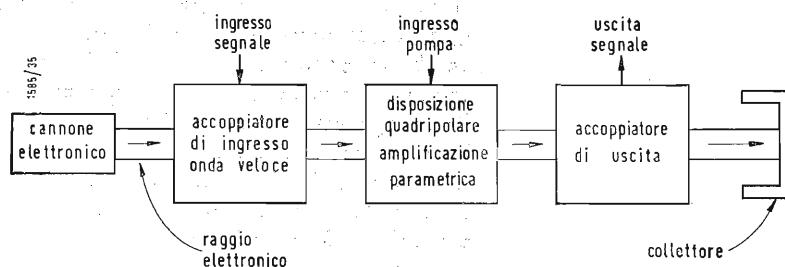
(parte prima di due parti)

*Attualmente siamo in un periodo di pieno sviluppo degli amplificatori così detti a « stato solido » che, con il progredire dei procedimenti tecnologici e l'elaborazione di nuove teorie acquisitano un sempre più vasto campo di applicazione.*

*Non bisogna però pensare che la tecnica dei tubi a vuoto non abbia subito ultimamente una altrettanto rapida evoluzione. Accanto ad una produzione di tubi tecnologicamente sempre più perfetti e con ottime prestazioni, sono stati ideati nuovi tipi, basati su principi di funzionamento completamente diversi da quelli classici.*

*Recentemente è stato realizzato un nuovo tubo a vuoto che presenta ottime prestazioni nel campo delle amplificazioni a bassissimo rumore che, fino a poco tempo fa, era dominio incontrastato dei maser e dei varactor.*

Fig. 1 - Schema a blocchi dell'amplificatore parametrico a fascio elettronico.



## 1. - PRINCIPIO DI FUNZIONAMENTO

Quando un fascio elettronico viene modulato con un segnale avente una certa frequenza, come ad esempio nei tubi a modulazione di velocità, per effetto di un campo di carica spaziale o nei tubi a campo trasversale, per effetto di un campo focalizzatore, vengono generate due onde, cosiddette « onda lenta » ed « onda veloce ».

Le velocità di fase sono rispettivamente

$$v_f = \frac{u_0}{1 - \omega_c / \omega} \quad \text{onda veloce}$$

$$v_s = \frac{u_0}{1 + \omega_c / \omega} \quad \text{onda lenta}$$

$u_0$  = velocità del raggio in direzione assiale;

$\omega$  = frequenza angolare del segnale;

$\omega_c = \eta B$  frequenza di ciclotrone <sup>(1)</sup>;

$\eta$  = rapporto carica/massa dell'elettrone;

$B$  = induzione magnetica <sup>(2)</sup>.

I normali tubi ad onda viaggiante sfruttano l'onda lenta, con tale disposizione si può ottenere amplificazione, ma non si può eliminare il rumore <sup>(3)</sup>.

Si può ottenere invece la soppressione del rumore sfruttando l'onda veloce, con uno speciale dispositivo accoppiatore di ingresso ed uscita del tubo amplificatore. Con l'onda veloce non si può invece ottenere amplificazione. Riuscendo ad amplificare l'onda veloce si potrà avere un amplificatore a basso rumore. Questo è stato raggiunto nel dispositivo che descriveremo. [2] [3].

### 1.1. - Descrizione dell'amplificatore

Il nuovo amplificatore è del tipo parametrico e sfrutta l'amplificazione che subisce l'« onda veloce » che tra porta il segnale di ingresso impresso da uno speciale accoppiatore, per effetto di un campo elettrico esterno creato da un generatore detto « pompa ».

Dopo l'amplificazione, il segnale viene estratto da un altro accoppiatore ed uti-

(1) Si definisce frequenza angolare di ciclotrone la velocità angolare di un elettrone che si muove su di un'orbita elicoidale determinata dalla composizione del moto longitudinale e del moto circolare per effetto del campo magnetico  $B$ . (Vedi appendice).

(2) Per avere una idea intuitiva delle onde che si vengono a formare nel raggio elettronico, bisogna rammentare l'effetto Doppler.

Un generatore produce un'onda avente una frequenza angolare  $\omega$ , che si sposta con velocità  $u$ . Un osservatore stazionario vede una onda con frequenza  $\omega$ . Un osservatore mobile che si sposta con velocità  $u_E$ , vede invece la frequenza

$$\omega_A = \omega \left( 1 - \frac{u_E}{u} \right)$$

Il fascio elettronico è in movimento, e quindi vede il segnale modulante ad una frequenza diversa da quella che se si fosse in un caso stazionario. (Vedi appendice 2).

(3) I riferimenti bibliografici saranno riportati al termine della seconda parte di questo articolo (febbraio 1961, pag. 54).

lizzato. Il bassissimo rumore che accompagna l'amplificazione è dovuto agli speciali accoppiatori.

Lo schema a blocchi dell'intero amplificatore si vede in fig. 1.

Studiamo più in dettaglio lo schema. Un cannone produce un fascio di elettroni che attraversa successivamente l'accoppiatore di ingresso, la regione ove viene l'amplificazione e l'accoppiatore di uscita e viene raccolto dal collettore. (fig. 2).

Il fascio elettronico è immerso in un campo magnetico uniforme (non rappresentato nello schema) con le linee di forza parallele all'andamento del fascio elettronico. Un tale campo non ha effetto in assenza di modulazione sul moto dell'elettrone.

### 1.2. - Gli accoppiatori di ingresso e di uscita

Gli accoppiatori di ingresso e di uscita sono del tipo Cuccia (dal nome dell'inventore).

Per effetto del segnale modulante, che conferisce una componente trasversale alla velocità dell'elettrone, la traiettoria diventa una elica (Appendice). L'intensità del campo magnetico è tale che la frequenza di ciclotrone è uguale a quella di segnale. La elica raggiunge il massimo raggio all'uscita della prima cavità. Tutta l'energia del segnale è trasformata in energia cinetica.

Nell'accoppiatore di uscita, gli elettroni in orbita inducono correnti nella cavità e, se questa è caricata opportunamente, il campo risultante reagisce sulle spire dell'elica che vanno attenuandosi. (figura 3).

Con questo dispositivo non si ottiene amplificazione e non vi è scambio di energia tra il moto trasverso conferito al fascio dal segnale modulante ed il moto longitudinale degli elettroni mossi per effetto del campo del collettore. Gli accoppiatori hanno anche la proprietà di sopprimere il rumore come vedremo in seguito. Ulteriori dettagli sugli accoppiatori di Cuccia sono riportati nell'appendice 3.

Tra l'accoppiatore di ingresso e di uscita vi è disposto il sistema amplificante.

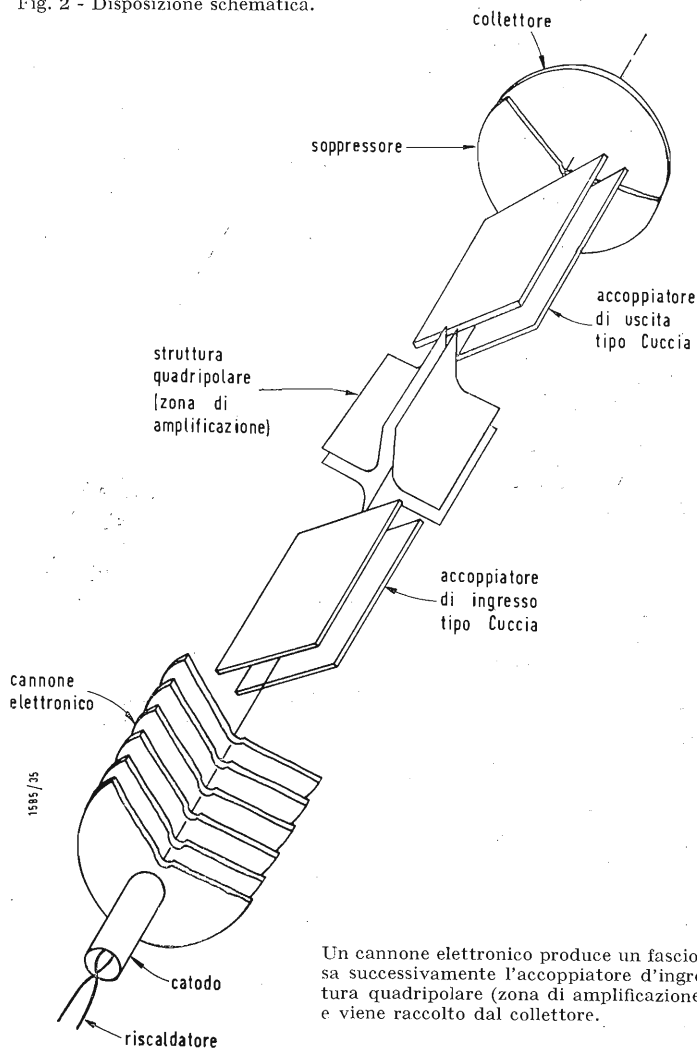
### 1.3. - Il sistema di amplificazione [4]

Passiamo ora alla descrizione del sistema di amplificazione. Tale gruppo complessivamente viene chiamato «pompa», e frequenza di pompaggio è la frequenza che alimenta il dispositivo, come vedremo in seguito.

Si è notato che tutta l'energia del segnale modulante si è trasformata in energia cinetica di rotazione. Il problema di ottenere una amplificazione consiste nel trovare un sistema di aumentare il raggio di rotazione cui corrisponde un aumento di energia cinetica.

Questo si può ottenere facendo agire una forza trasversale al movimento dell'elettrone nella stessa direzione con-

Fig. 2 - Disposizione schematica.



Un cannone elettronico produce un fascio di elettroni che attraversa successivamente l'accoppiatore d'ingresso tipo Cuccia, la struttura quadripolare (zona di amplificazione), l'accoppiatore di uscita e viene raccolto dal collettore.

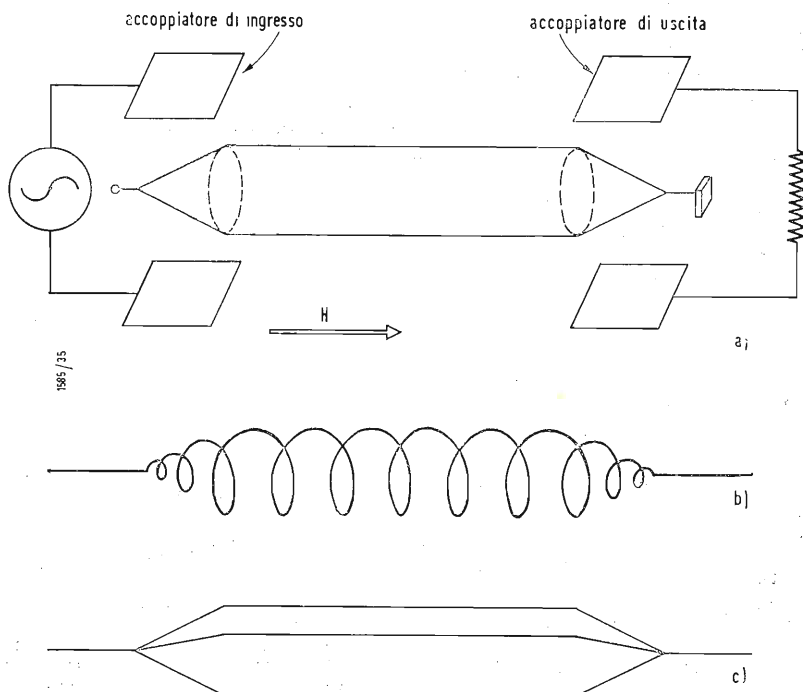


Fig. 3 - a) Moto del raggio elettronico fra l'accoppiatore di ingresso e di uscita; b) il moto di un elettrone è una elica a raggio crescente nell'accoppiatore di ingresso; decrescente nell'accoppiatore di uscita; a raggio costante nella zona intermedia (in assenza di modulazione); c) il fascio elettronico è invece una retta.



ferita all'elettrone della modulante. Tale forza accelera l'elettrone e fa aumentare il raggio di curvatura dell'elica. Il fattore di cui aumenta il raggio dà la misura di amplificazione del tubo. L'intensità della forza tangenziale deve essere funzione della posizione dell'elettrone. Un elettrone, in assenza del segnale modulante, si muove solamente in direzione assiale e mancando ogni componente trasversale non si ha moto elicoidale.

Affinchè l'amplificazione risulti lineare, un elettrone che per effetto di un campo modulante debole, ruota su di una piccola circonferenza, deve essere sollecitato da una piccola forza tangenziale da parte del dispositivo amplificatore.

Se il segnale modulante è più intenso, maggiore deve essere l'intensità della forza tangenziale esercitata dall'amplificatore.

In fig. 4 è rappresentata la disposizione teorica del dispositivo amplificatore. Quattro placchette alimentate opportunamente creano il campo che soddisfa alle condizioni accennate. La polarità dei quattro elettrodi sono riferite allo istante in cui gli elettrodi superiore ed inferiore sono al massimo potenziale positivo e quindi quelli laterali al massimo negativo. Il raggio elettronico è diretto verso l'osservatore e la rotazione dell'elica antioraria. Le linee tratteggiate rappresentano le linee di forza del campo elettrico intorno alle placchette. Un elettrone che si trova sulla destra (circoletto pieno), avendo una carica negativa, viene contemporaneamente respinto dalla placca di destra a potenziale negativo ed attratto dalla placchetta in alto positiva. L'andamento delle forze in giuoco è visualizzato nella figura.

L'elettrone risulta accelerato al massimo e si ha la massima amplificazione. L'elettrone nella posizione indicata da un circoletto vuoto subisce invece una decelerazione.

Tutti gli elettroni disposti sulla linea equipotenziale che passa da destra in alto a sinistra in basso hanno una posizione (fase) tale che subiranno la massima accelerazione. Quelli disposti sulla linea equipotenziale che passa da sinistra in alto a destra in basso, subiranno la massima decelerazione.

Si deve notare che con la disposizione descritta il campo è nullo al centro e che il campo aumenta di intensità con il raggio a partire dal centro. Poichè la forza a cui è soggetto ogni elettrone è proporzionale al raggio del cerchio su cui si muove risulta che il raggio aumenta esponenzialmente e l'amplificazione risulta lineare. Analogamente gli elettroni in decelerazione sono soggetti invece ad un decremento esponenziale del raggio.

In fig. 5 si può vedere la superficie inviluppo delle traiettorie elettroniche con fase che porta all'amplificazione e quelle con fase che porta allo smorzamento.

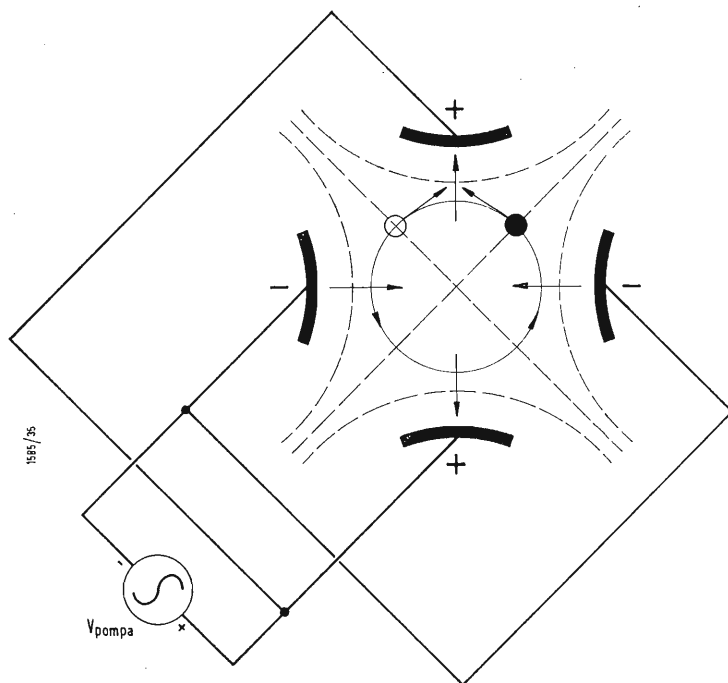


Fig. 4 - Sezione della struttura quadripolare di amplificazione. Quattro placchette alimentate opportunamente creano il campo entro il quale si muove il fascio elettronico.

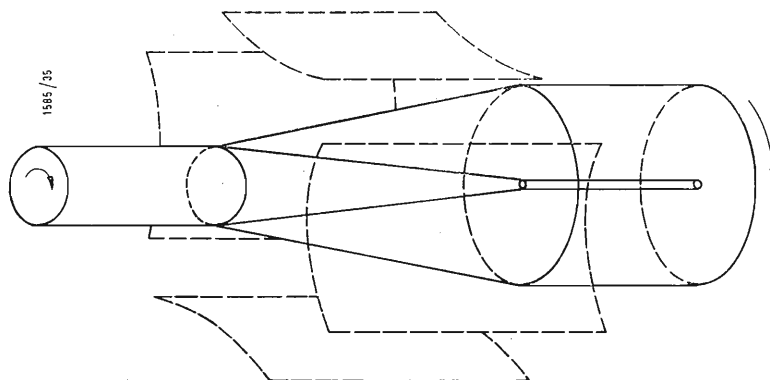


Fig. 5 - Superficie generate dal moto elettronico con fase adatta all'amplificazione e fase che porta allo smorzamento.

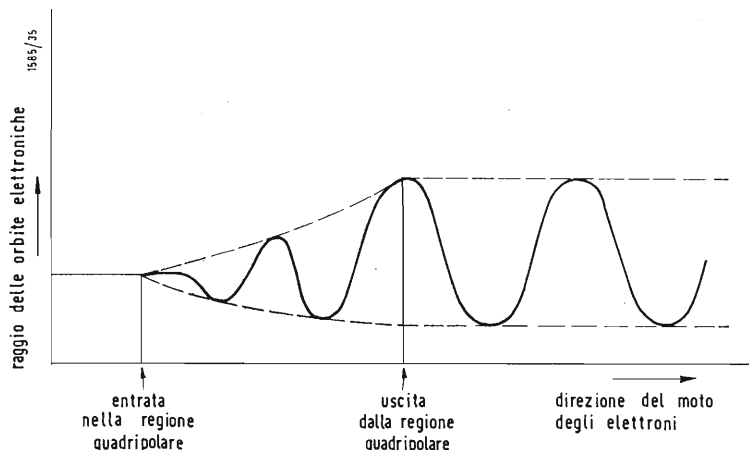


Fig. 6 - Moto dell'elettrone al variare della frequenza d'ingresso. Mediamente il segnale di ingresso risulta più ampio di quello di uscita, perchè l'aumento esponenziale del raggio risulta maggiore della sua diminuzione.

Il campo elettronico creato dalle quattro placchette dell'amplificatore è un campo rotante e si può studiare con un sistema analogo a quello usuale per le macchine elettriche. Il campo viene considerato come formato da due campi rotanti intenso opposto.

È utile ricordare la formula che dà il numero dei giri di una macchina elettrica avente  $p$  coppie di poli ed alimentata ad una frequenza  $f$ :

$$n = \frac{f}{p}$$

Nel nostro caso abbiamo quattro poli, cioè due coppie.

$$n = \frac{f}{2}$$

Cioè alimentando uno statore a quattro poli ad una frequenza  $f$  periodi al secondo, il rotore fa  $f/2$  giri al secondo. Poiché nel nostro caso lo statore (le quattro placchette) ha quattro poli, abbiamo un giro del rotore (il campo che sollecita gli elettroni) per ogni due alternanze della pompa.

Se gli elettroni sono in fase tale da avere amplificazione, l'involuppo delle traiettorie è rappresentato dalla superficie esterna di fig. 5, mentre se la fase è tale da portare allo smorzamento, la superficie è quella interna.

La fig. 5 serve anche ad illustrare il movimento dell'intero fascio elettronico.

Consideriamo il caso in cui la frequenza della pompa sia esattamente il doppio della frequenza di ciclotrone, e la frequenza di ciclotrone sia uguale alla frequenza di segnale.

La fase iniziale, ad esempio tale da portare alla massima amplificazione, si mantiene costante. La superficie esterna di fig. 5 è la figura di rivoluzione formata dal pennello elettronico in movimento.

Se la fase è tale da portare allo smorzamento, la superficie interna della stessa figura è quella di rivoluzione formata dal pennello.

Bisogna notare che quando

$$f = f_c = 1/2 f_p$$

$f$  = frequenza angolare del segnale,

$f_c$  = frequenza di ciclotrone,

$f_p$  = frequenza di pompaggio,

la velocità di fase diventa infinita ed il fascio elettronico è una retta che ruota intorno all'asse  $z$  (fig. 3c), con velocità  $\omega_c = \omega$ .

Spostando la frequenza di ingresso, le condizioni di massimo guadagno e di smorzamento si susseguono alternativamente. L'elettrone salta alternativamente dalla superficie esterna corrispondente alla massima amplificazione alla superficie interna corrispondente alla attenuazione (fig. 6).

Si può vedere che, mediamente, il segnale di ingresso risulta più ampio di quello di uscita, perchè l'aumento esponenziale del raggio risulta maggiore della sua diminuzione. Il segnale di

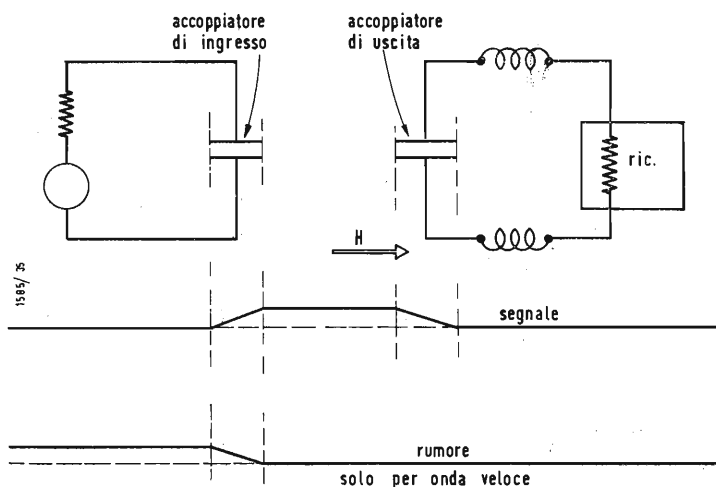


Fig. 7 - Livello del segnale e del rumore del tubo. L'accoppiatore d'ingresso estrae il rumore dal raggio lasciandolo completamente in quiescenza.

uscita contiene un battimento spurio, avente due componenti sinusoidali una alla frequenza di segnale utile, e l'altra alla frequenza «idler» (differenza fra la frequenza di pompaggio e quella di segnale), spuria.

Dalle considerazioni precedenti risulta che l'amplificazione non è variabile con la larghezza di banda. La larghezza di banda è determinata dagli accoppiatori di ingresso e di uscita e risulta notevole, essendo molto ampia quella loro propria.

#### 1.4. - Rumore

Si è visto che l'accoppiatore di uscita, se convenientemente caricato, estrae il segnale dal fascio elettronico, e per effetto delle correnti indotte nella cavità vi è uno smorzamento, sulle spirali, del moto elettronico.

Il fascio elettronico uscente dal canone presenta, a causa del rumore, una certa

modulazione; allora la prima cavità (accoppiatore di ingresso) agli effetti della modulazione di rumore, come la seconda (accoppiatore di uscita) agli effetti del segnale estrae il rumore dal raggio, lasciandolo completamente in quiescenza. La disposizione schematica è quella di fig. 7.

Nel tratto fra i due accoppiatori non è indicato il dispositivo di amplificazione (pompa); gli accoppiatori presentano all'ingresso e all'uscita impedenze in variabili puramente resistive se la frequenza di segnale coincide con quella di ciclotrone, in tutta la banda di frequenza del segnale, l'inserzione o meno della frequenza di pompaggio non influenza affatto queste impedenze.

Per avere le migliori figure di rumore, occorre che il r.o.s. fra antenna ed il circuito di ingresso sia inferiore a 1,5. L'adattamento del circuito di uscita non ha influenza né sul guadagno né sulla stabilità. L'andamento del segnale

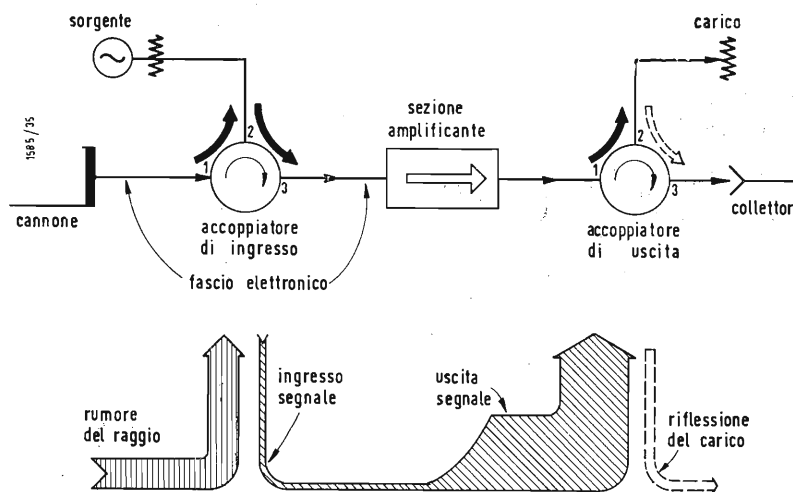


Fig. 8 - Andamento del segnale e del rumore nell'intero gruppo. La rappresentazione schematica illustra chiaramente il meccanismo di funzionamento del tubo ad amplificazione parametrica.



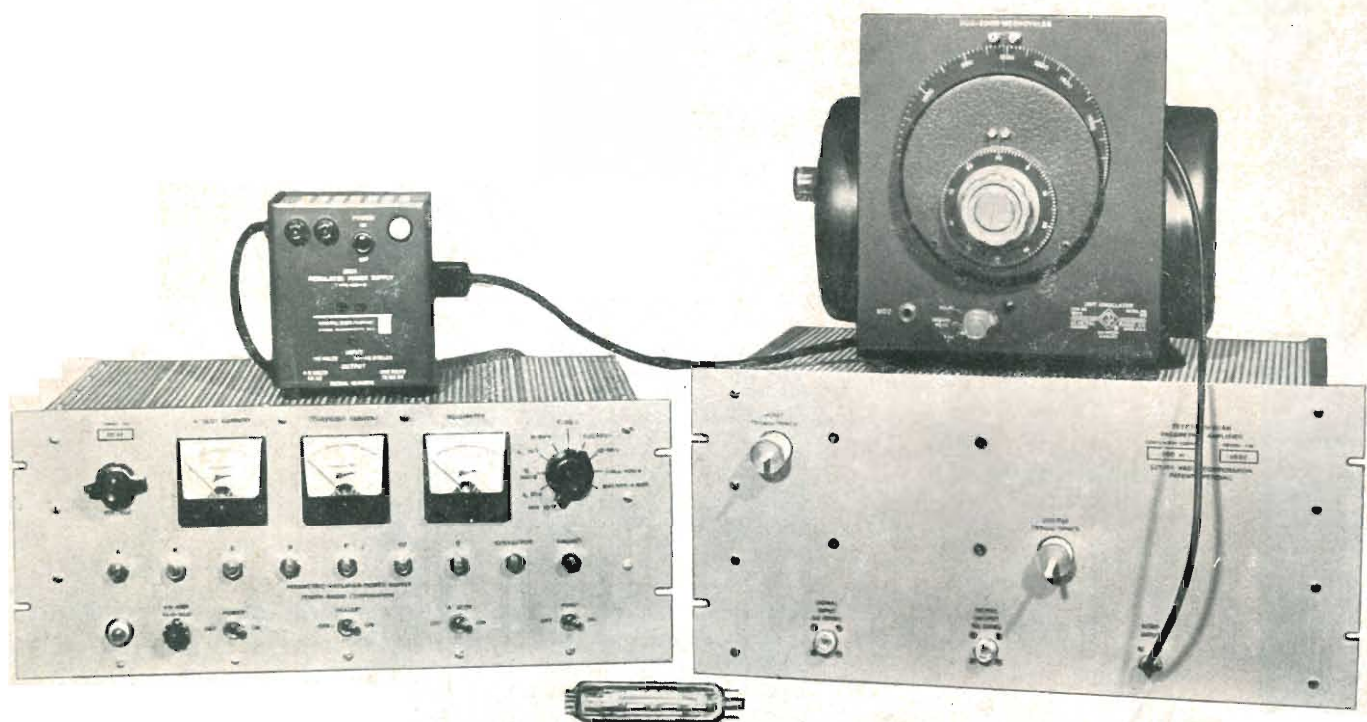


Fig. 9a - Amplificatore parametrico completo. A sinistra l'alimentatore, sopra il generatore della frequenza di pompaggio.

e del rumore nell'interno dell'intero gruppo è visibile in fig. 8.

## 2. - REALIZZAZIONI PRATICHE

Riportiamo i dati di listino e le caratteristiche dell'amplificatore parametrico realizzato dalla ZENIT Co. americana.

- 1) Stabilità assoluta fra ingresso ed uscita.
- 2) Alto guadagno, con assenza totale di effetti rigenerativi.
- 3) Ampia larghezza di banda, indipendentemente dal guadagno, senza necessità di accordo.
- 4) amplificazione con totale assenza di controreazione interne.
- 5) Insensibilità ai sovraccarichi, senza timore di deterioramenti.
- 6) Breve tempo di ripristino, caratteristica degli apparecchi a raggio elettronico.

Banda di frequenza di funzionamento  $400 \div 1000$  MHz; Larghezza di banda  $40 \div 45$  MHz (indipendentemente dal guadagno); Guadagno 30 dB (regolabile); Figura di rumore<sup>(4)</sup>  $1,2 \div 1,7$  dB; Potenza di pompaggio  $50 \div 100$  mW; Frequenza di pompaggio circa metà di quella di segnale<sup>(5)</sup>; Ingresso 50  $\Omega$  tipo N coassiale; Uscita 50  $\Omega$  tipo N coassiale; R.o.s. ingresso: minimo 1,5.

In fig. 9a, si vede l'intero complesso di alimentazione, amplificazione, pompaggio.

In fig. 9b è visibile il tubo a vuoto amplificatore.

Esaminiamo più dettagliatamente le prestazioni dell'amplificatore.

### 2.2. - Stabilità

L'amplificatore è assolutamente stabile in qualsiasi condizione di funzionamento. Questo è dovuto al movimento unilaterale degli elettroni ed alla mancanza di controreazione interne per la speciale disposizione di iniezione ed estrazione del segnale.

L'amplificazione è indipendente dallo adattamento con l'antenna.

### 2.3. - Larghezza di banda

L'amplificatore a raggio presenta una notevole larghezza di banda, e l'amplificazione è funzione della potenza di pompaggio. (fig. 10). La larghezza di

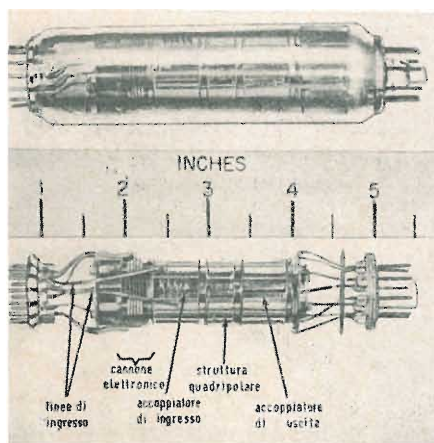


Fig. 9b - Fotografia di un tubo amplificatore e sua struttura.

(4) Misurata con una sorgente di rumore a larga banda.

(5) La frequenza di pompaggio deve essere regolata in modo che la frequenza idler cada nella banda passante di  $40 \div 45$  MHz di entrata a cui è accordato il segnale di ingresso.

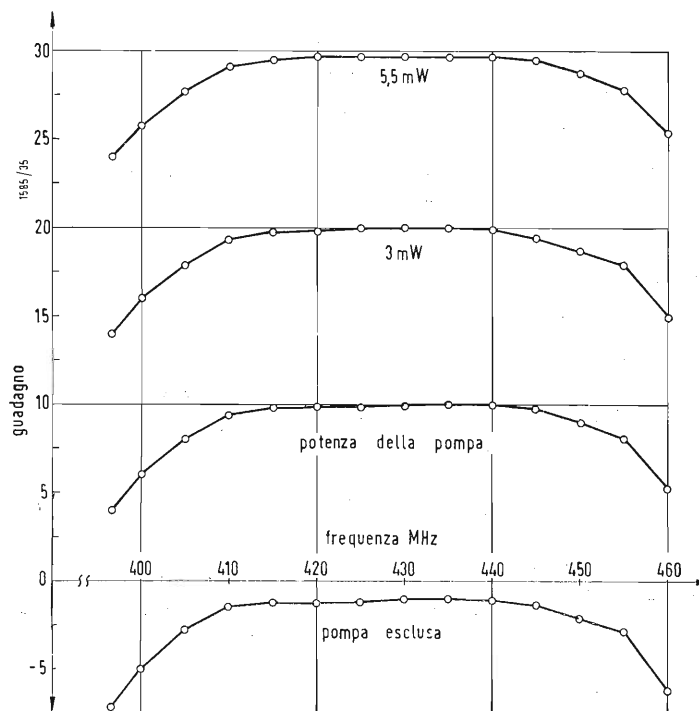


Fig. 10 - Caratteristiche di guadagno larghezza di banda di amplificatore parametrico a raggio elettronico con potenza di pompaggio come parametro

banda per i tubi funzionanti nel campo delle U.H.F. è di  $40 \div 50$  MHz. A frequenze superiori è facilmente ottenibile una larghezza di banda del 10%.

È interessante esaminare quali elementi influiscono sulla larghezza di banda. Si è visto che il sistema di amplificazione è indipendente dalla larghezza di banda.

Gli elementi che determinano tale fattore sono i due accoppiatori di Cuccia. Il raggio elettronico uscente dal cannone viaggia in un campo magnetico di intensità appropriata, tale che la frequenza di ciclotrone sia coincidente con il centro banda della frequenza di segnale. L'accoppiatore ha una azione somigliante a quella prodotta dalle placchette di deviazione di un tubo a raggi catodici. Quando viene applicato il segnale, il raggio viene deviato a ruota. Il movimento del raggio eccita, nella accoppiatore, correnti indotte e si ha un comportamento analogo a quello che si ha con un carico resistivo. Aumentando o diminuendo la frequenza, con corrispondenti ritardi o anticipi di fase da parte del raggio, vengono indotte correnti aventi componenti induttive o capacitive.

Si può rappresentare il carico presentato dall'accoppiatore al raggio elettronico con un circuito equivalente e precisamente un circuito in serie (figura 11a).

La frequenza di risonanza di tale cir-

cuito corrisponde alla frequenza di ciclotrone, la resistenza è funzione della intensità di corrente del raggio, della tensione e della distanza compresa fra i due accoppiatori.

Il  $Q$  del circuito è funzione della permanenza dell'elettrone nell'accoppiatore ed è uguale approssimativamente al numero delle orbite percorse dall'elettrone, che si ottiene dividendo il tempo di transito per il periodo di ciclotrone.

La capacità formata dalle due placchette dell'accoppiatore è posta in parallelo al circuito in serie (fig. 11b). Per bilanciare la capacità di uscita dell'accoppiatore si dispone una induttanza (fig. 11c), ottenendo un circuito simile alla metà di un filtro passa banda a  $K$  costante.

L'accoppiatore di Cuccia presenta un carico bilanciato. Per ottenere le uscite in coassiale occorre evidentemente un

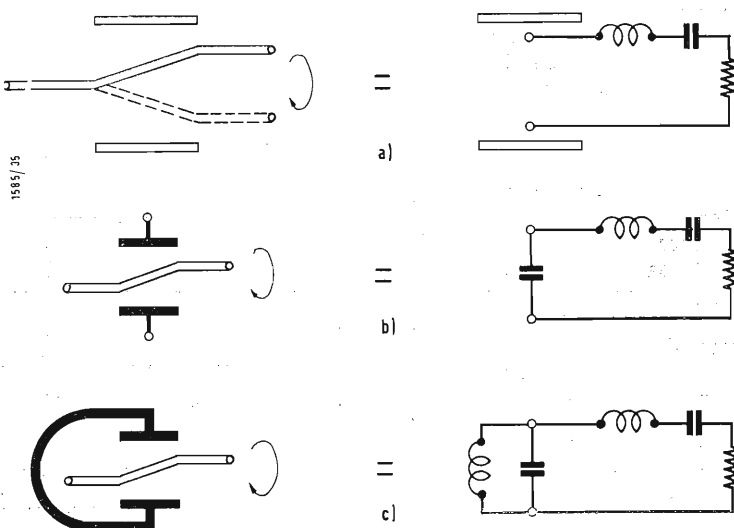


Fig. 11 - Circuiti equivalenti, per lo studio dell'accoppiatore di Cuccia.



balun. Questo si può facilmente realizzare con un circuito antirisonante. È opportuno d'altra parte completare il circuito di fig. 11c con elementi in serie per ottenere il filtro passa banda necessario per una buona risposta di frequenza. La trasformazione da circuito antirisonante a risonante viene effettuata ricorrendo ad una linea trasformatrice in  $\lambda/4$  che fa vedere, inserendo ai morsetti di ingresso il circuito antirisonante, all'uscita il circuito risonante cercato.

In fig. 12 d, e si vede la disposizione circuitale. Due stub verticali formano il circuito antirisonante alla frequenza di segnale, con ingresso sbilanciato ed uscita bilanciata. La linea in  $\lambda/4$  collega il balun disposto esternamente al tubo con l'accoppiatore di Cuccia posto nello interno. In fig. 13 è visibile tutta la disposizione di ingresso ed il circuito equivalente, costituito da un trasformatore ideale bilanciato-sbilanciato seguito dal filtro passa banda chiuso sul carico resistivo del raggio elettronico. In un filtro a  $k$  costante la larghezza di banda  $\Delta f/f_0$  è proporzionale alla radice quadrata del rapporto delle reattanze in parallelo con le reattanze in serie. Tale valore è uguale riferendoci al circuito equivalente alla radice del rapporto della capacità del raggio elettronico e la capacità delle due placche di accoppiatore. Tale valore con opportune trasformazioni risulta proporzionale alla radice quadrata del rapporto fra corrente del fascio e il prodotto della larghezza delle placchette per la loro distanza. Questo prodotto rappresenta un'area che per un raggio elettronico di un dato diametro deve essere superiore ad un valore minimo. La distanza fra le placchette deve essere sufficientemente ampia da permettere l'estrazione del segnale senza che si abbia il fenomeno di intercettazione del segnale (vedi oltre) e la larghezza deve essere sufficientemente ampia da produrre un campo tale da avere una buona deviazione in tutte le sezioni del raggio.

Al numeratore del rapporto sotto radice cui è proporzionale la larghezza di banda compare la corrente del fascio elettronico. Tale corrente divisa per la sezione del fascetto fornisce la densità di corrente. Si può concludere che la larghezza di banda che si può ottenere con un accoppiatore di Cuccia è proporzionale alla densità di corrente del fascio, poichè il fattore a denominatore che rappresenta un'area (larghezza delle placchette-distanza placchette) deve avere un valore minimo per ogni sezione del raggio, sotto al quale non è opportuno scendere. La trattazione analitica di tali considerazioni è svolta nella appendice.

Alle basse frequenze la densità di corrente è limitata dalla capacità del campo magnetico a tenere riunito il raggio, alle alte frequenze tale limite è probabilmente costituito dalla capacità emissiva del catodo.

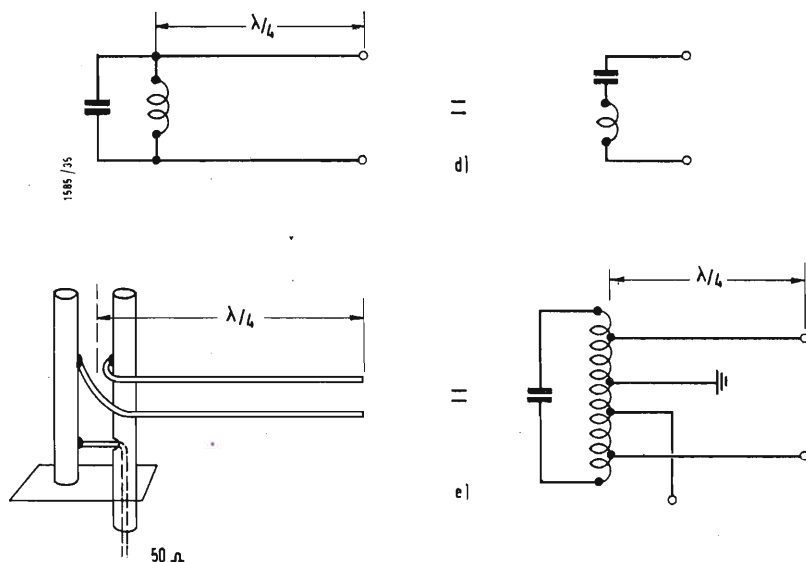


Fig. 12 - La trasformazione da circuito antirisonante a risonante viene effettuata ricorrendo ad una linea di trasformazione in  $\lambda/4$ .

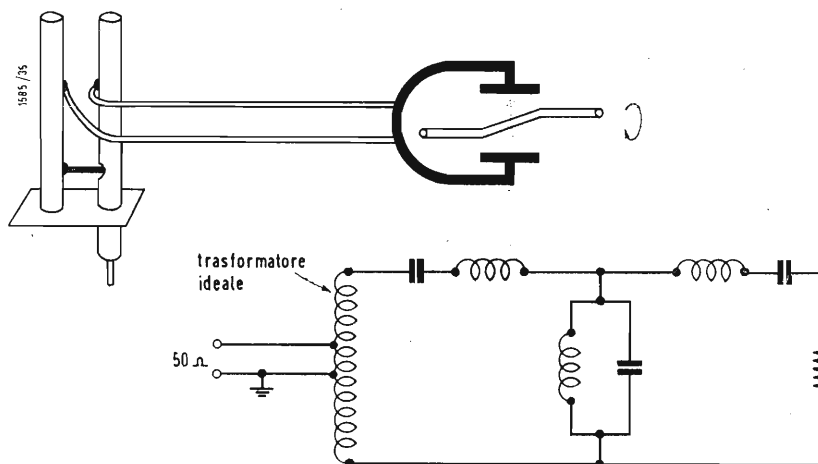


Fig. 13 - Disposizione d'ingresso e circuito equivalente, costituito da un trasformatore ideale bilanciato-sbilanciato seguito dal filtro passa banda chiuso sul carico resistivo del raggio elettronico.

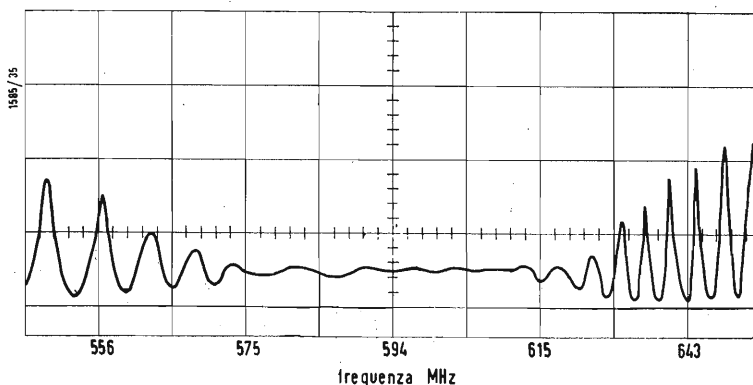


Fig. 14 - Adattamento d'ingresso, in funzione della frequenza. La posizione di migliore adattamento si cerca spostando la connessione mobile del balun.

In fig. 14 si vedono i risultati ottenuti con tale sistema di adattamento nella banda 400-900 MHz, ed è rappresentato l'andamento della tensione prelevata da un rivelatore connesso al lato trasmettente della linea di alimentazione dell'amplificatore [5]. L'oscillatore di alimentazione è svippato; per una larghezza di banda di 40 MHz, l'adattamento risulta molto buono, e la potenza riflessa molto piccola, cui corrisponde una retta sull'oscillogramma. Nella zona di disadattamento, fuori dalla banda passante del filtro, si hanno ampie oscillazioni. Praticamente la posizione di migliore adattamento si cerca spostando la connessione mobile del balun.

#### 2.4. - Linearità

Notevoli sono le caratteristiche di linearità del tubo riportate in fig. 15 si vede che le caratteristiche sono perfettamente lineari fino ad un determinato valore della potenza di ingresso, oltre al quale si ha un fenomeno di sovraccarico. Questo punto si sposta verso le potenze minori in funzione del guadagno. Il fenomeno è dovuto al fatto che il raggio elettronico viene intercettato dall'accoppiatore di uscita.

In assenza di pompaggio il raggio elettronico, per una certa frequenza di ciclotrone e quindi per un certo valore del campo  $B$ , è funzione della potenza di modulazione. Aumentando questa, il raggio andrà aumentando, e ad un certo punto comincerà a rasentare la cavità di uscita finché per un ulteriore aumento si avrà l'intercettazione del raggio.

Quando è inserita la pompa, il fenomeno è ancora più complesso. Per un guadagno superiore a 10 dB, l'uscita comprende due componenti di uguale intensità alla frequenza di segnale e di ingresso. Risulta che il picco di potenza di uscita è circa doppio di quello di segnale solo. Gli elettroni cominciano già a rasentare la cavità di uscita quando il raggio elettronico ha una ampiezza corrispondente ad una potenza di 6 dB inferiore a quella del caso di guadagno unitario.

Per un tubo funzionante a 425 MHz, il punto di sovraccarico è circa a -20 dB, e dal livello di rumore a questo valore la amplificazione è lineare. Per un guadagno di 20 dB la zona di linearità si stende da -90 dBm a -20 dBm. Come diretta conseguenza della linearità è la mancanza di effetti di modulazione incrociata ed intermodulazione. Il funzionamento con un segnale molto debole non è disturbato dalla presenza in banda di un altro segnale indesiderato ad un'altra frequenza, a meno che questo non sia tale da portare il tubo in sovraccarico. Non si hanno prodotti di intermodulazione per somma o differenza e non si nota influenza sul rumore.

La caratteristica di intermodulazione

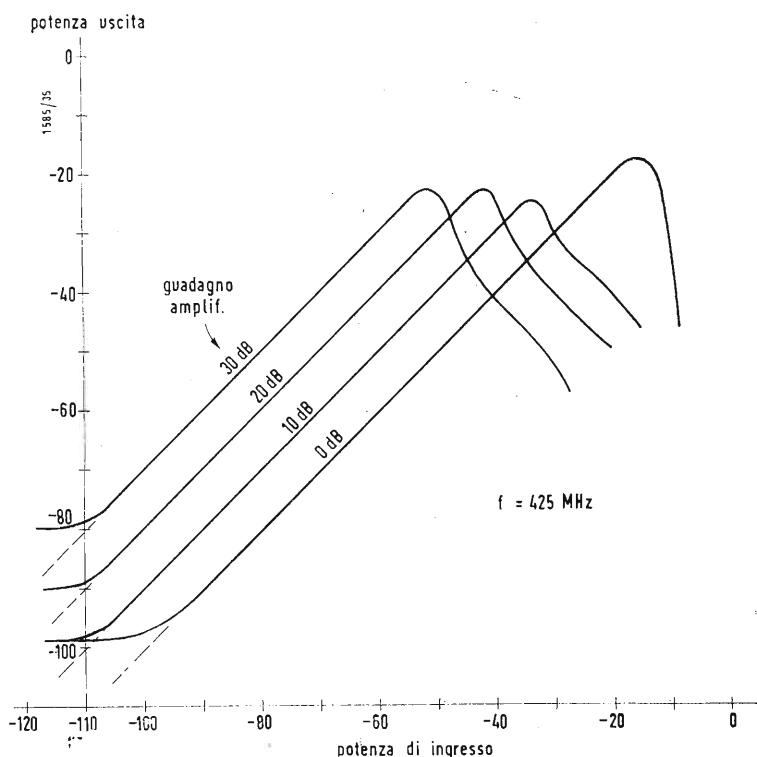


Fig. 15 - Caratteristiche di linearità del tubo, in funzione della potenza d'ingresso espressa in dBm, per diversi valori di amplificazione.

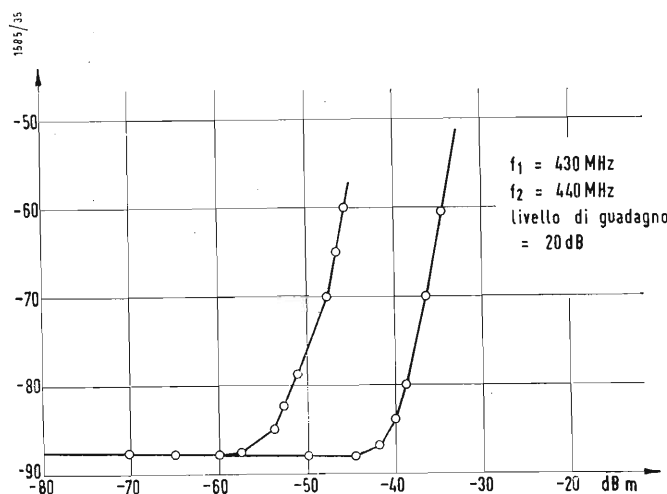
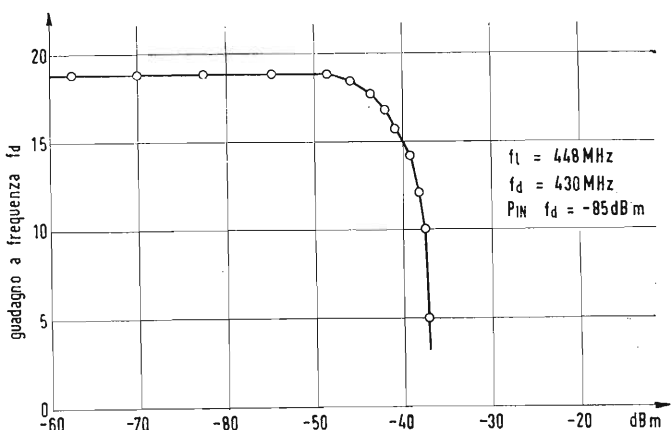


Fig. 16 - Caratteristiche di desensibilizzazione e di intermodulazione; a) un segnale spurio  $f_1$  riduce il guadagno del segnale desiderato  $f_d$ ; b) due segnali interferenti  $f_1$  e  $f_2$  producono il segnale spurio  $2f_2 - f_1$ .



per un tubo funzionante alla frequenza di 425 MHz è riportata in fig. 16.

La rotazione di fase fra ingresso ed uscita è funzione della differenza fra la frequenza di segnale e quella di ciclotrone. Se le due frequenze sono coincidenti, la rotazione è nulla; si ha variazione lineare con la differenza di frequenza fra la frequenza del segnale e quella di ciclotrone.

La relazione che governa il fenomeno è:

$$\Phi = 2\pi N \left( \frac{\omega}{\omega_c} - 1 \right) \quad \text{dove:}$$

$\omega$  = frequenza del segnale;

$\omega_c$  = frequenza di ciclotrone;

$N$  = numero delle orbite descritte dall'elettrone nel tratto compreso fra la uscita dall'accoppiamento di ingresso all'entrata di quello di uscita.

Nel tubo considerato,  $N = 10$ .

In casi particolari in cui è importante non avere rotazioni relative in due canali di amplificazione, queste si possono eliminare regolando il campo  $B$  mediante la corrente di eccitazione. La rotazione di fase è indipendente dal guadagno.

Per una larghezza di banda del 10%; la rotazione di fase varia linearmente da  $-\pi$  a  $+\pi$ .

## 2.5. - La frequenza idler

Uno degli inconvenienti caratteristici di tutti gli amplificatori parametrici è la presenza all'uscita della così detta frequenza idler.

Alla frequenza idler possono entrare

segnali spuri ed ulteriori rumori, e alla uscita è presente un segnale, non solo alla frequenza utile, ma anche alla frequenza idler, avente una intensità circa uguale al primo. In molte applicazioni però, ove sono particolarmente sentite le necessità di bassissimo rumore, la presenza del segnale spurio non produce inconvenienti (radioastronomia). In altri casi la presenza del segnale idler è assolutamente intollerabile. Si ottiene l'eliminazione del segnale spurio scegliendo opportunamente la frequenza di pompaggio. Si sono ottenuti buoni risultati con frequenze di pompaggio anche fino a cinque volte più alte di quelle di segnale.

## 2.6. - Considerazioni sul rumore

a) Particolare interesse presenta la figura di rumore dell'amplificatore e l'esame degli elementi che influiscono su questo fattore.

Il tubo descritto precedentemente, nella banda di funzionamento 400-1000 MHz, presenta un rumore residuo nel fascio di 70°K che per effetto di rumori presenti nell'accoppiatore di uscita risulta aumentata a 100 °K.

La figura di rumore per un funzionamento nella banda 400 ÷ 440 MHz è visibile in fig. 17. La frequenza idler è fonte di rumore. Dal punto di vista di riduzione del rumore, è conveniente scegliere la frequenza di pompaggio in modo tale che la frequenza di idler cada entro la banda passante degli accoppiatori.

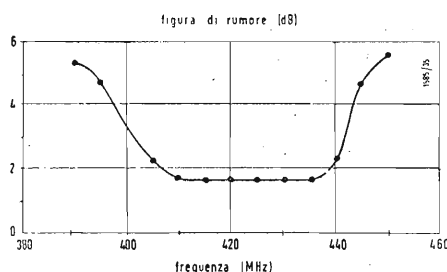


Fig. 17 - Figura di rumore per un funzionamento nella banda 400 ÷ 440 MHz.

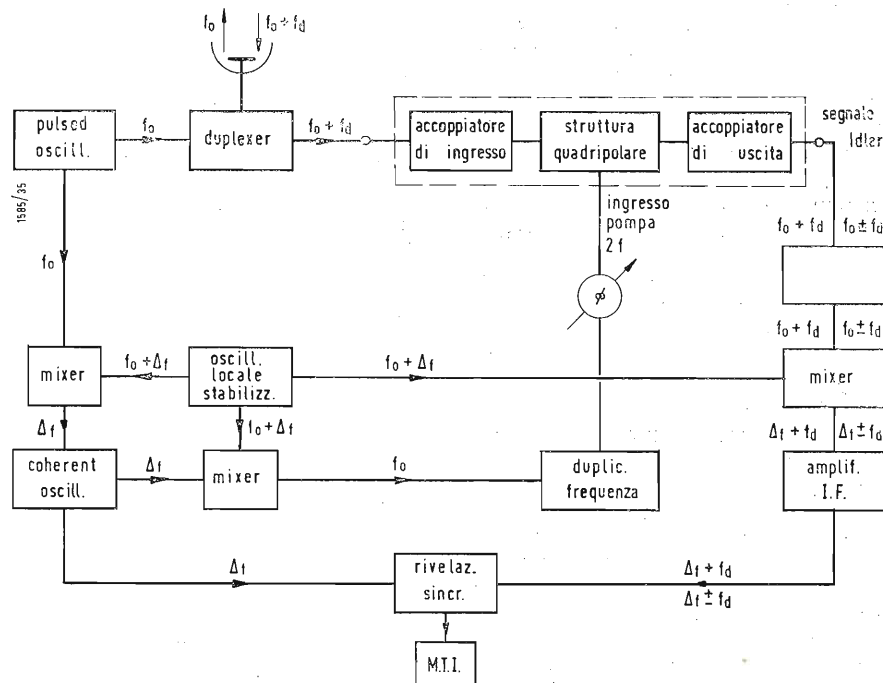


Fig. 18 - Diagramma a blocchi per ottenere il pompaggio sincrono di un amplificatore per un radar M.T.I.

Questo si ottiene scegliendo la frequenza di pompaggio  $f_p = 2f_s + \Delta$ . Il valore  $\Delta$  deve essere tale che:

$$\begin{aligned} f_i &= f_p - f_s \\ f_i &= 2f_s + \Delta - f_s = f_s + \Delta \\ f_i &= \text{frequenza idler} \\ f_p &= \text{frequenza pompaggio} \\ f_s &= \text{frequenza segnale} \end{aligned}$$

cioè che  $f_i = f_s + \Delta$  cada entro la banda passante dell'accoppiatore. Quando questo si verifica, l'accoppiatore riesce ad estrarre il rumore introdotto dal segnale idler.

La figura di rumore di fig. 17 è riferita a questo caso, cioè al caso in cui il segnale desiderato è ricevuto su ambedue i canali: utile e spurio (idler). Questo si verifica quando si ricevono segnali provenienti dallo spazio (radioastronomia), in cui il segnale ha essenzialmente l'aspetto di un rumore, ed ambedue i canali contribuiscono alla ricezione.

Come si è detto, molti sono anche i casi in cui il segnale a frequenza idler deve essere eliminato.

A seconda delle varie applicazioni sono stati escogitati diversi sistemi per ottenere il minor rumore possibile.

b) Un sistema detto «pompaggio sincrono», adoperato nei radar M.T.I. o nei sistemi A.M. a doppia banda laterale; esso consiste nella sincronizzazione della frequenza di pompaggio con la seconda armonica del segnale. Allora si ha:

$$f_i = f_p - f_s = 2f_s - f_s = f_s$$

La frequenza idler coincide con quella di segnale, ed ambedue i canali contribuiscono all'uscita.

La figura di rumore è ancora quella di fig. 17. La disposizione schematica è quella di fig. 18.

c) Una disposizione che dà una figura di rumore simile a quella a larga banda è quella di fig. 19. Tale schema dà buoni risultati quando si riceve in segnale direttamente dallo spazio. I disturbi entrano nel canale idler provengono da una sorgente a bassa temperatura (lo spazio e l'antenna). Un esempio si ha nella ricezione dei segnali provenienti da un satellite artificiale con una antenna direttiva.

d) Quando il segnale e la frequenza di idler sono distanziati da parecchi MHz, si può inserire un filtro che elimini la frequenza di idler e lasci passare il segnale. L'accoppiatore estrae il rumore dal raggio. Occorre predisporre un carico ben adattato in modo che il rumore di idler estratto non rimanga riflesso di nuovo nel raggio. Occorre perciò inserire un nuovo filtro per ottenere l'adattamento cercato, come si vede in fig. 20. Il carico per il canale di idler è costituito da una resistenza di basso valore; tale resistenza deve essere mantenuta a temperatura più bassa possibile. La figura di rumore per questo sistema di ricezione a canale singolo (il canale idler cade fuori) risulta peggiorata rispetto a quella di fig. 17. Tale andamento è funzione della temperatura di rumore

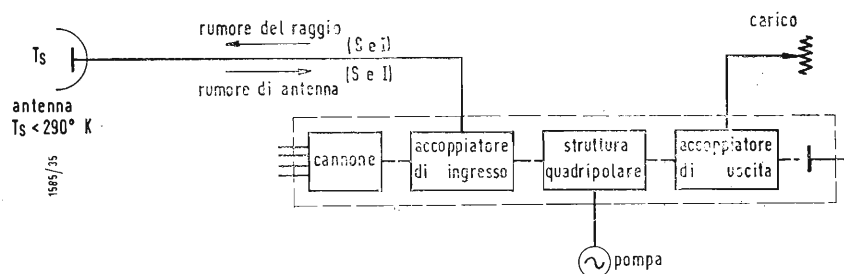


Fig. 19 - Disposizione per ricezione di segnali provenienti da un satellite artificiale.

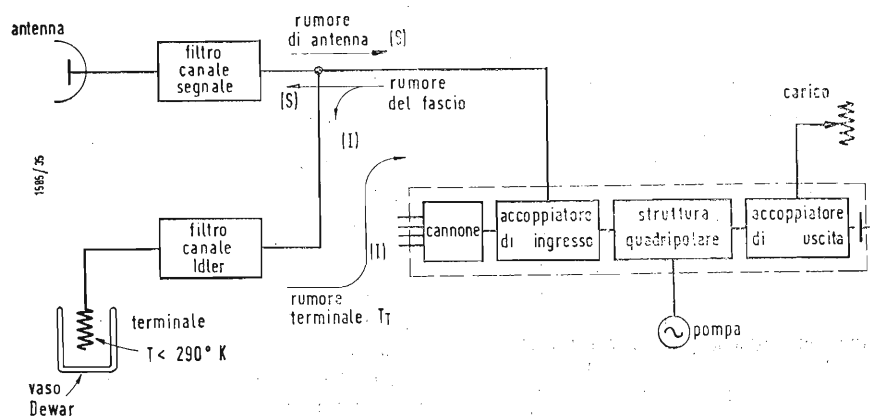


Fig. 20 - Altra disposizione con filtro per frequenza idler.

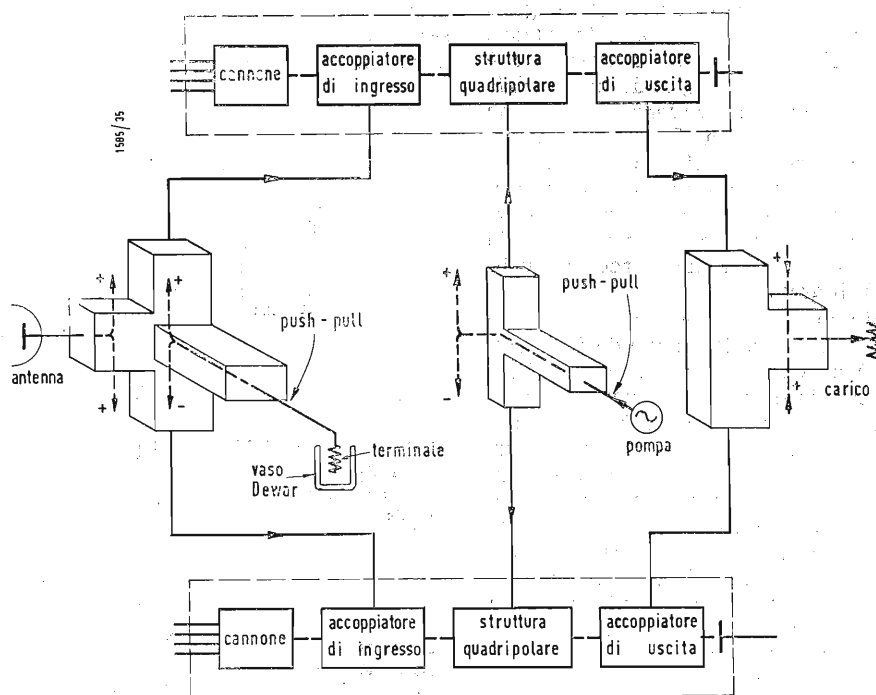


Fig. 22 - Eliminazione del canale di idler mediante la combinazione push-pull, single-ended di due amplificatori.



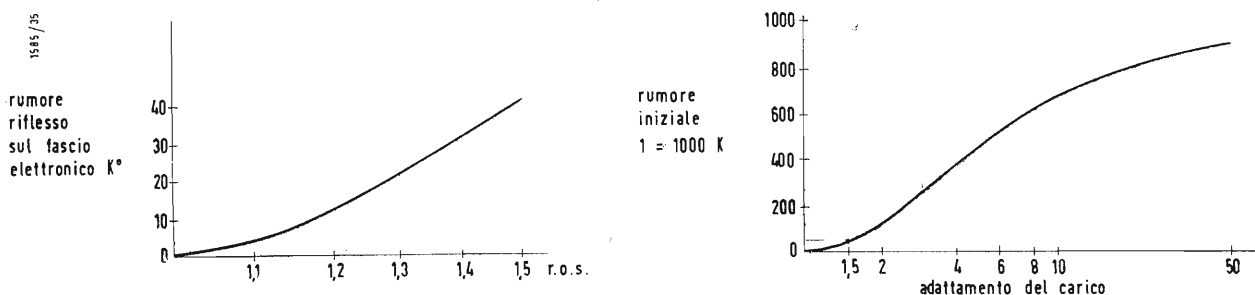


Fig. 22 - Valori di rumore riflessi a causa del disadattamento in funzione del rapporto di onde stazionarie.

del canale di idler. Mantenendo la resistenza di carico a temperatura di ambiente ( $290^{\circ}\text{K}$ ) il peggioramento della figura di rumore è di 3 dB; immergendola in azoto liquido ( $78^{\circ}\text{K}$ ), il peggioramento è di 1 dB.

e) Un altro sistema è quello di fig. 21. Sono necessari due amplificatori le cui uscite sono connesse in parallelo, mentre i due ingressi sono disposti in un circuito a due maglie che permette di separare l'entrata ad un segnale single-ended ed a uno in push-pull. Sullo schermo sono indicati tratti di guide d'onda ma questo non vincola il funzionamento anche ad altre frequenze ove tali elementi non sono usati. Il segnale di pompaggio arriva con uguale intensità ai due amplificatori. La fase del segnale di pompaggio non deve interferire con la fase del segnale di uscita e quindi il segnale utile esce dai tubi sul carico single ended in fase. I rumori e le spurie alla frequenza idler vengono convertiti nei due tubi alla frequenza di segnale, ma questa conversione è sensibile alla fase. Quindi un segnale single-ended alla frequenza idler viene cancellato all'uscita. I rumori alla frequenza idler che entrano nel circuito push-pull risultano in fase all'uscita. Questa componente di rumore viene attenuata mediante refrigerazione della resistenza inserita nel circuito push-pull di ingresso.

Il sistema descritto è più conveniente rispetto a quello di cui si è detto in (d), perchè si può sfruttare l'intera larghezza di banda di ogni tubo per il segnale utile, poichè non occorre più un margine notevole di distanza fra segnale ed idler, come nel caso del filtro, ed inoltre il circuito di ingresso risulta più semplice. Sono però necessari due amplificatori ed un alto grado di simmetria per ottenere l'optimum nelle prestazioni.

f) L'adattamento di impedenza delle varie parti del circuito ha pure una notevole influenza per ottenere una bassa figura di rumore.

Consideriamo la fig. 8 in cui è schematizzato l'andamento del segnale e del rumore. Il rumore insito nel raggio è

estratto nell'accoppiatore di ingresso e trasferito nella resistenza della sorgente; il segnale viene invece trasmesso. Se la resistenza della sorgente in cui viene trasferito il rumore non è ben adattata con l'accoppiatore, non tutto il rumore viene estratto e vi è una riflessione, e parte del rumore viene trasmesso nel raggio. In fig. 22 si leggono i valori di rumore riflessi a causa del disadattamento in funzione del rapporto di onde stazionarie.

Si hanno bassi valori di rumore riflesso per un r.o.s. compreso fra 1 e 1,5.

Per un rumore a  $1000^{\circ}\text{K}$  si ha un valore residuo di  $40^{\circ}\text{K}$ . Aumentando il disadattamento, si ha un notevole peggioramento della situazione.

Una disposizione che attenua l'effetto del disadattamento e che permette di ottenere figure di rumore molto buone, è quella di fig. 23. Fra il cannone elettronico ed il primo accoppiatore è inserito un ulteriore accoppiatore, avente il compito di effettuare una preestra-

zione del rumore dal raggio. La resistenza di carico per il rumore del primo accoppiatore, detto «pre-clearing», è posta a temperatura ambiente. Se la sorgente ha una temperatura di  $1000^{\circ}\text{K}$  questa viene ridotta a  $290^{\circ}\text{K}$ , ed è questo il rumore che si presenta al secondo accoppiatore, cioè a quello in cui viene iniettato il segnale. Questo ultimo accoppiatore estrae a sua volta il rumore dal raggio elettronico, ed il rumore residuo dipende dalla temperatura della sorgente. L'influenza di un eventuale disadattamento del circuito di ingresso del segnale è ridotta di circa 3-5 volte.

Il circuito di segnale estrae qualsiasi rumore di idler.

Si può ulteriormente abbassare il rumore raffreddando con azoto liquido le terminazioni di «pre-clearing».

Il circuito di ingresso estrae tutti i rumori a frequenza idler provenienti dal raggio elettronico, e li sostituisce con quelli della sorgente della frequenza idler, avente una temperatura  $\theta^{\circ}\text{K}$ . Per

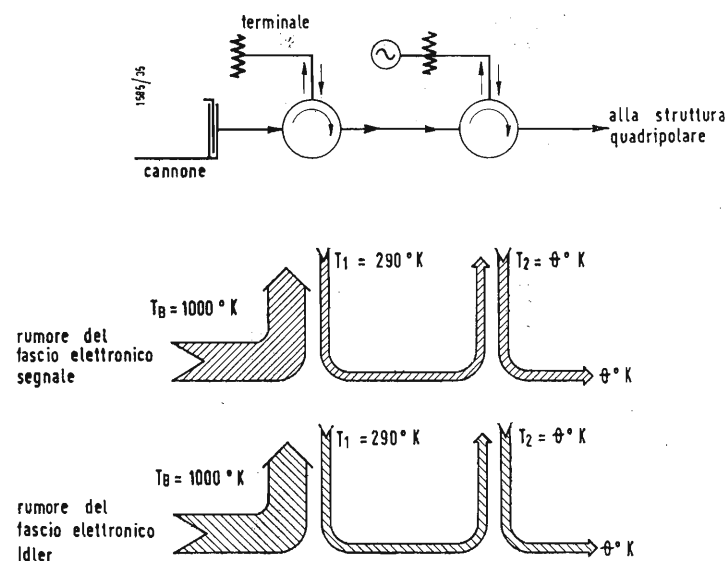


Fig. 23 - Disposizione che attenua l'effetto di disadattamento e che permette di ottenere figure di rumore molto buone.

evitare questo, si interpone un filtro eliminatore fra la sorgente del segnale e l'accoppiatore di ingresso (fig. 24). I rumori del raggio a frequenza di segnale ed a frequenza idler vengono eliminati dall'accoppiatore «pre-clearing» e sostituiti con un rumore di 78 °K. Questo basso rumore viene sostituito dal segnale nell'accoppiatore di ingresso, e si è già osservato la non eccessiva importanza di un adattamento molto spinto; i rumori del raggio a frequenza idler vengono a loro volta sostituiti con quelli provenienti fa 78 °K. Nell'accoppiatore di ingresso

questo rumore di 78 °K verrebbe ad essere sostituito con i rumori provenienti dalla sorgente del segnale a temperatura  $\Theta$  che risultano molto maggiori. Viene inserito un filtro che impedisce questo scambio alla frequenza idler e la temperatura di rumore rimane a 78 °C. Con questa disposizione si dovrebbe avere un peggioramento della figura di rumore di 1 dB rispetto a quella di fig. 17; in pratica per varie cause si hanno dei valori peggiori. Senza filtro di arresto e con l'accoppiatore «pre-clearing» a temperatura ambiente si hanno, in condizioni di larga

banda (due canali: utile ed idler), una figura di 1,5 dB. Aggiungendo il filtro nelle condizioni di canale singolo si ha una figura di 4,5 dB. Raffreddando i terminali del «pre-clearing» a 78 °K si ha un miglioramento che porta il rumore a 3,5 dB.

Il tubo amplificatore, come tutti i dispositivi a raggio elettronico, presenta grande resistenza ai sovraccarichi. Le uniche limitazioni sono dovute a perdite di isolamento o a scariche interne. Il tempo di ripristino dopo un sovraccarico è molto breve, dell'ordine delle decine di microsecondi. (continua)

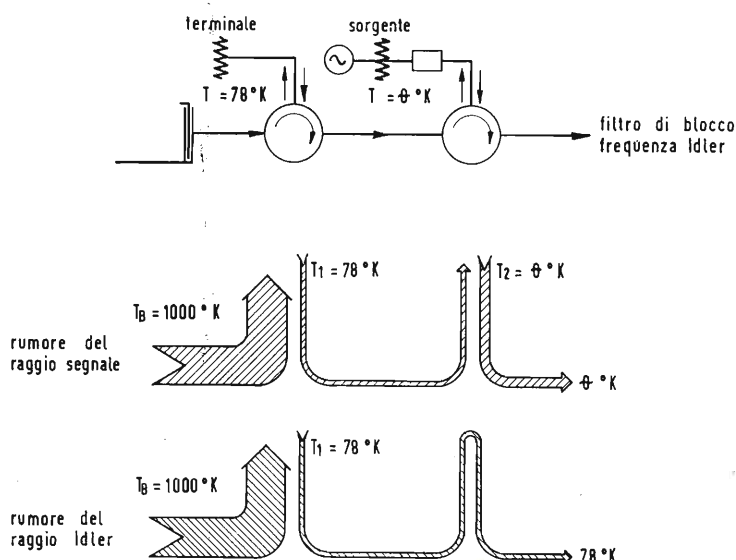


Fig. 24 - Per evitare che il circuito di ingresso, che estrae tutti i rumori a frequenza idler provenienti dal raggio elettronico, li sostituisca con quelli della sorgente della frequenza idler, si interpone un filtro fra la sorgente del segnale e l'accoppiatore d'ingresso.

### Un freno elettronico per regolare la reazione nucleare

La PIONEER SERVICE & ENGINEERING Co., che dirige i lavori per la costruzione della centrale elettronucleare commerciale di Sioux Falls (South Dakota), per conto della NORTHERN STATES POWER COMPANY, ha ordinato alla BENDIX CORPORATION un dispositivo a transistori per regolare il regime della reazione nucleare a catena, che può essere considerato un vero e proprio «freno» elettronico.

I tecnici della BENDIX affermano che l'apparecchio, denominato «impianto per la sicurezza e regolatore del flusso di un reattore», misurerà in continuazione il numero dei neutroni (ossia l'energia atomica sviluppata) nel reattore a partire dal momento in cui entra in funzione. Ogni qualvolta l'erogazione di energia supera livelli normali il dispositivo transistorizzato provvederà ad arrestare il reattore in una frazione di secondo.

Il dispositivo non solo avverte la quantità di energia prodotta, ma misura anche la velocità della reazione in ogni istante. Esso sente cioè il «polso» di un reattore nucleare, misurando i neutroni emessi nella fissione dei nuclei atomici.

Per semplificare la manutenzione del dispositivo elettronico di controllo per reattori, la BENDIX ha adottato la soluzione «modulare». L'apparecchio è stato adottato per il controllo dei reattori di potenza nel cacciatorpediniere «Bainbridge», nell'ampianto APPR di Fort Belvoir (Virginia) e in alcuni apparecchi nucleari realizzati all'Università di California.

(p.n.i.)



dott. ing. Franco Simonini

# Il metodo dell'analisi «per campioni» in un moderno oscilloscopio a 500 MHz\*

*Per la maggior parte dei lettori i 500 MHz sono cosa abbastanza lontana specie se costituiscono il limite superiore di banda di un oscilloscopio professionale. E' opportuno quindi ricordare i vantaggi che può permettere l'analisi oscilloscopica con queste prestazioni: analisi della forma d'onda di impulsi in circuiti a rapida frequenza di funzionamento; manutenzione e controllo radar; misura della massima ripidezza di fronte d'onda ottenibile con i transistori e della velocità di commutazione di elementi a diodo; misura del tempo di commutazione di elementi di circuiti di memoria. Si tratta di misure e controlli inerenti alla nuova pagina che si è aperta nell'elettronica con la tecnica degli impulsi impiegati principalmente nelle calcolatrici elettroniche e nei circuiti radar. In queste nuove tecniche la larghezza di banda si impone sia per la forma degli impulsi, che è ad alto contenuto armonico (e deve venir spesso rigorosamente mantenuta per garantire l'efficacia degli impulsi stessi), sia per il gran numero degli impulsi e delle ripetizioni nell'unità di tempo dei treni di impulsi.*

**I** PROCEDIMENTI di calcolo delle macchine calcolatrici elettroniche richiedono che si proceda il più delle volte per confronto tra un dato ed una serie di altri che variano progressivamente di una data fissa quantità ad ogni confronto.

Così la divisione di un numero  $A$  per un altro  $B$  si ottiene moltiplicando un numero  $X$  per  $B$  e maggiorando progressivamente  $X$  fino a tanto che il confronto di  $B$  e  $X$  risulti per uno dei progressivi confronti eguale ad  $A$ .

Il quoziente  $X$  risulta così determinato quando risultando al confronto  $B$   $X$  sufficientemente approssimato ad  $A$ , la macchina si ferma automaticamente. Questo procedimento di calcolo, che sfrutta la proprietà dei circuiti binari, richiede evidentemente il rapido ripetersi del passaggio dei treni di impulsi che in codice binario corrispondono alle varie cifre.

È così che analogamente a quanto avviene in TV (ove il prodotto del numero

delle linee per la frequenza del quadro e ancora per il numero di punti di definizione di una riga richiede ben 5 MHz circa di ampiezza di banda) si arriva ad aver bisogno di larghezze di banda di decine ed anche di centinaia di MHz per l'analisi oscillografica. Non solo, ma si debbono impiegare impulsi con un tempo di salita del fronte notevolmente ridotto, che a loro volta richiedono una adeguata capacità di analisi da parte dell'oscilloscopio con un tempo di salita decisamente inferiore.

Tutto questo vale anche per la tecnica della trasmissione a distanza di messaggi in telecomunicazione mediante invio su guida d'onda di radio frequenze a impulsi codificati.

Con questa trasmissione a codice l'unico nemico è l'eccesso di attenuazione del tratto di guida d'onda nell'intervallo di due stazioni amplificatrici. Ogni distorsione o alterazione nell'impulso ha un'importanza relativa poichè è solo la sequenza codificata degli impulsi che porta il segnale.

Naturalmente anche in questa tecnica gli impulsi sono numerosi, molto stretti (quindi con brevissimo tempo di salita) e danno luogo ad una banda di lavoro molto larga per la quale bisogna ricor-

rere a strumenti di tipo particolare come questo.

Con la tecnica normale si è finora arrivati fino ai 50 MHz circa e cioè con circuiti di amplificazione convenzionali con tubi ad elevatissima pendenza ecc. Esistono però due limitazioni fondamentali alla tecnica, diciamo convenzionale. Gli amplificatori di banda oltre un certo limite non possono dare una sufficiente amplificazione ed inoltre quando il fenomeno rappresentato richiede dei fronti d'onda di segnale molto ripido, il corrispondente rapidissimo spostamento del pennello elettronico provoca una fortissima diminuzione nella luminosità del tubo.

È per tale motivo che i tratti di salita e di discesa dell'andamento di una onda quadra sono di solito quasi invisibili all'esame oscillografico in confronto ai tratti orizzontali.

## 1. - L'ANALISI PER CAMPIONE

Spronati da questa limitazione si è quindi arrivati all'analisi del segnale «per campioni».

Per spiegare questa tecnica applicata all'esame oscilloscopico si può fare un paragone con l'osservazione stroboscopica dei fenomeni ciclici.

(\*) L'oscillografo mod. 185A, che consente una risoluzione fino a 500 MHz è costruito dalla HEWLETT-PACKARD Co., di cui è agente generale per l'Italia la Ditta Ing. M. VIANELLO, di Milano.

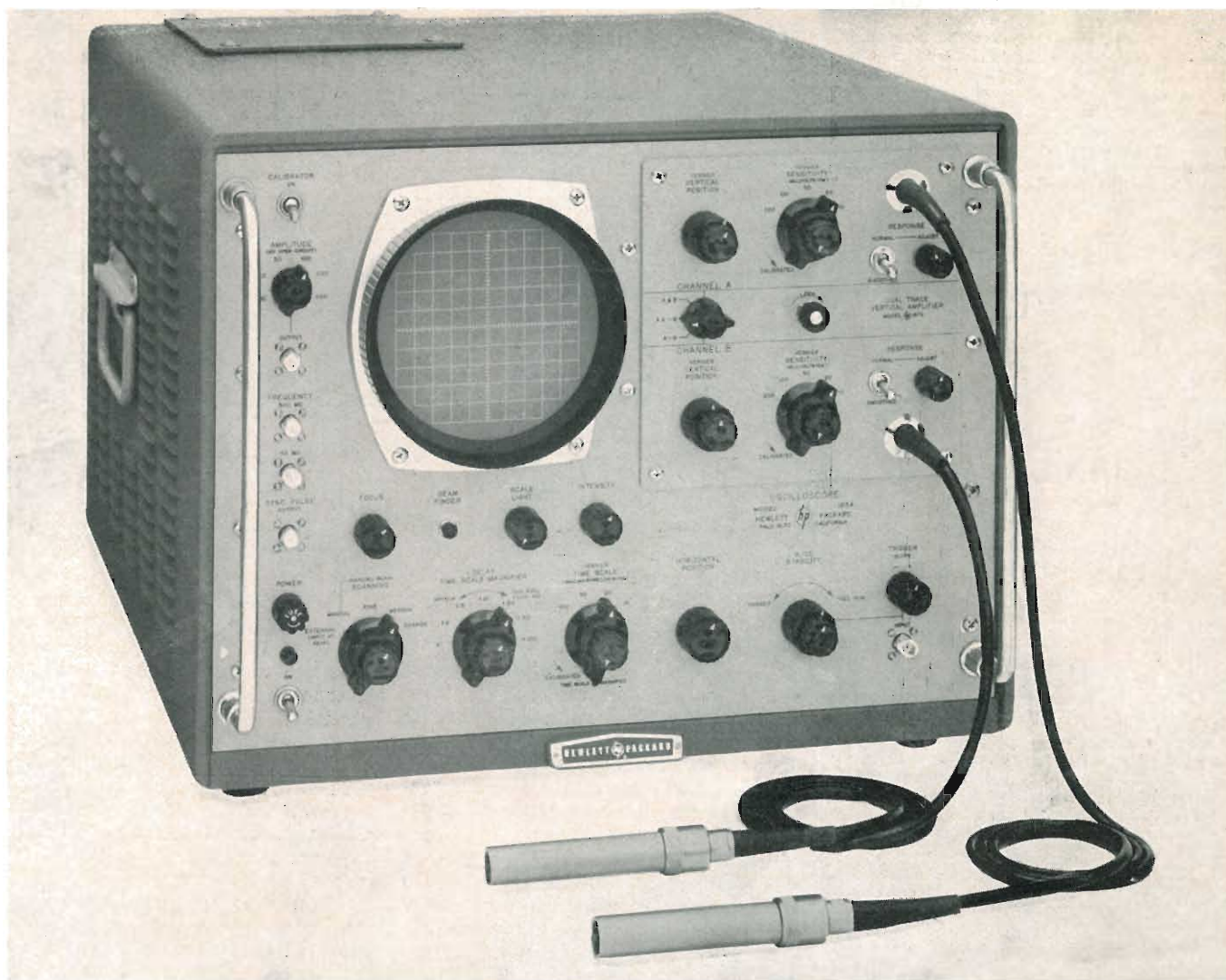


Fig. 1 - Fotografia dello strumento.

Nella visione stroboscopica una luce lampeggiante con una data frequenza illumina in istanti successivi il moto periodico dell'oggetto sotto esame.

Se la luce lampeggia con la stessa frequenza del moto dell'oggetto questo viene illuminato quando è sempre nella stessa posizione così che appare allo osservatore come fermo.

Se si aumenta leggermente la frequenza della luce lampeggiante l'oggetto invece sembra muoversi lentamente lungo tutto il ciclo del movimento che può venir così osservato con tutta comodità in dettaglio.

Ciò può avvenire naturalmente solo per il noto fenomeno della persistenza delle immagini sulla retina. Quanto al potere risolutivo di un simile sistema di analisi possiamo dire che più piccola è la porzione di moto illuminata, più breve cioè il lampo di luce e più minuti appaiono i dettagli di movimento che sarà possibile esaminare.

L'oscilloscopio 185 A fa uso di questo stesso principio di analisi « per campio-

ne ». Esso possiede un circuito di memoria analogo a quello del nostro occhio ed i tempi di analisi sono ridotti al minimo grazie all'impiego di circuiti, con transistori « a valanga », con essi il tempo stesso dell'impulso è limitato al tempo di saturazione del transistor, tempo che è legato come noto, ad un effetto di carattere cumulativo e quindi estremamente rapido.

Il circuito dell'oscilloscopio 185 A/187 A -hp-, consiste di una « porta » che si apre per un tempuscolo permettendo così la carica di un condensatore ad un livello proporzionale all'ampiezza istantanea del segnale. Questo livello si mantiene costante (ed in ciò sta il circuito di memoria) anche parecchio tempo (relativamente al tempo di prelievo del segnale) dopo che la « porta si è chiusa » e viene amplificato in modo da dar luogo ad una deflessione verticale nel tubo a raggi catodici.

La scansione procede così per punti in modo da esaminare tutto l'andamento del segnale. A tale scopo la « porta si

apre » ogni volta con un tempuscolo di anticipo sulla posizione precedente (figura 2). Naturalmente la tensione di scansione orizzontale del pennello catodico deve muoversi orizzontalmente con un movimento passo passo corrispondente all'apertura della porta e tale movimento viene ovviamente generato da una tensione di comando dell'asse X a gradini (fig. 4). La visione risultante della forma d'onda è quindi per punti (fig. 3). Solo che il numero di questi punti è tale che:

— la forma d'onda viene analizzata in dettaglio così come nel caso degli oscilloscopi convenzionali.

— La luminosità della traccia è molto migliore con il 185 A permettendo una ottima visione anche nei tempi più rapidi di analisi.

In fig. 5 è riportato l'andamento di un impulso di 2 millimicrosecondi di durata, sullo schermo di 5 pollici del 185 A. Ogni medaglia ha però il suo rovescio. Questa analisi a larga banda, come è



Fig. 2 - Illustrazione schematica del sistema di esame per «campioni». Allo strumento pervengono sia il segnale che un segnale di sincronismo che può venir ricavato direttamente dal segnale stesso. Basandosi su detti sincronismi il circuito «porta» viene aperto in istanti successivamente e progressivamente sfasati nel tempo rispetto al sincronismo in modo che i successivi prelievi di segnale permettono l'esame di tutta la forma d'onda.

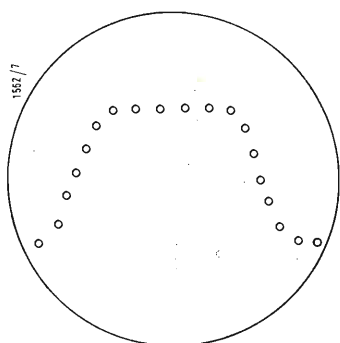
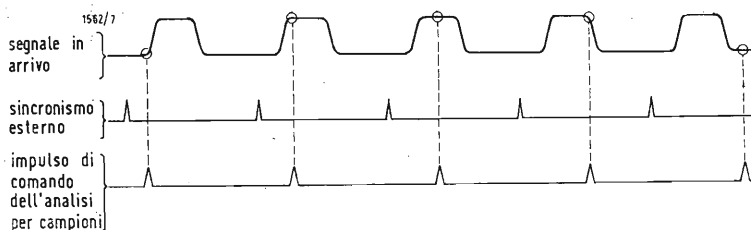


Fig. 3 - Ecco come i campioni di segnale progressivamente prelevati permettono la ricostruzione della forma d'onda. In pratica non si nota discontinuità nel segnale sullo schermo del tubo. Sono previste tre diverse densità di prelievo della campionatura in modo da permettere la visione nitida in tutta la gamma di frequenze esaminabili che si estende così dalla continua ai 1000 MHz.

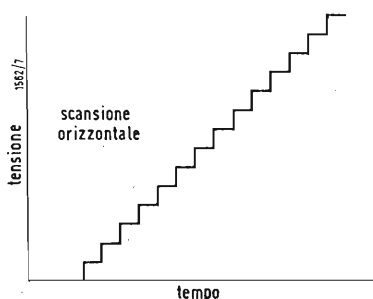


Fig. 4 - L'andamento del pennello elettronico sull'asse X è ottenuto con una tensione di deflessione che deve essere naturalmente a gradini in modo cioè da far deviare il pennello rapidamente da punto a punto dello schermo in corrispondenza del prelievo del «campione».

ovvio, è possibile esclusivamente nel caso di fenomeni periodici.

## 2. - STORIA DELL'ANALISI DI SEGNALI «PER CAMPIONI»

La tecnica «per campioni» fu impiegata molto tempo prima della realizzazione degli oscilloscopi magnetici di Blondel del 1893 e del tubo a raggi catodici di Braun nel 1897. La Lenz nel 1849 e poi Janbert nel 1880 determinarono infatti la forma d'onda degli alternatori con questa tecnica. Un voltmetro elettrostatico fu infatti connesso all'uscita dell'alternatore ad un contatto azionato dalle rotazioni dell'asse dell'alternatore. La scansione veniva naturalmente realizzata muovendo manualmente la posizione del contatto.

Nel 1898 Callendar migliorò il sistema con l'impiego di un motore sincrono per azionare il commutatore con il quale la misura poteva venir eseguita a distanza. Nel 1904 Hospitalier realizzò uno strumento analogo ma più pratico e rapido che fu chiamato *Ondograph*. Nel 1950 Jannsen realizzò un oscilloscopio capace di analisi con banda passante di 35 MHz. Il sistema «per campione» impiegato era però imperfetto e dava buoni risultati solo con segnali ad alta velocità di ripetizione. Fu Mac Queen che realizzò il primo oscilloscopio «a campione» per il mercato degli strumenti nel 1952.

Questo strumento aveva la rispettabile gamma di lavoro di 300 MHz. Nel 1957 Sugarnam impiegando un diodo per microonde come interruttore del circuito di prelievo del campione raggiungeva i 600 MHz di banda.

Nello stesso anno Chaplin descrisse un oscilloscopio impegnante «transistori a valanga» per il circuito di generazione dei rapidissimi impulsi di comando della «porta».

Il complesso di Chaplin completamente transistorizzato fu costruito con banda di 350 MHz come elemento aggiuntivo di un normale oscilloscopio.

Nel dopo guerra oscilloscopi a campione sono stati realizzati da Lumatron in USA e Mullard in Inghilterra. La banda più estesa finora realizzata è di 1 kmHz e la si deve a Goodall dei laboratori della BELL TELEPHONE.

## 3. - LE CARATTERISTICHE DELL'OSCILLOSCOPIO 185-A 187-B

### 3.1. - Asse verticale (doppio canale)

— Larghezza di banda: superiore a 800 MHz per i 3 dB di attenuazione con meno di 0,45  $\mu\text{sec}$  di tempo di salita.  
— «Overshoot» o «undeshoot»: inferiore al 5%.

— Sensibilità: campi di lavoro calibrati al  $\pm 5\%$  dai 10 ai 200 mV/cm; il controllo di sensibilità a verniero permette di apprezzare i 3 mV/cm e interpola tra gli scatti decadici di sensibilità.

— Calibratore di tensione: da 10 a 500 mV  $\pm 3\%$  di precisione.

Calibratore di tempi: generatore incorporato con due frequenze con forme d'onda smorzata da 50 a 500 MHz.

— Ingresso: realizzato con una testina (probe) per ogni canale.

— Rumore di fondo: inferiore a 2 mV picco-picco che si riducono a circa un terzo nella posizione di compensazione del rumore di fondo del commutatore di ingresso.

— Impedenza di ingresso 100 k $\Omega$  con 3 pF di capacità in parallelo.

### 3.2. - Asse orizzontale

— Velocità di scansione: da 0,1  $\mu\text{sec}$  a 100  $\mu\text{sec/cm}$   $\pm 5\%$  del massimo di scansione.

— Scale tempi: 4 campi da 10, 20, 50, e 100  $\mu\text{sec/cm}$  con verniero tra gli scatti di scala.

— Espansione scala tempi:  $\times 2$ ,  $\times 5$ ,  $\times 10$ ,  $\times 20$ ,  $\times 50$ ,  $\times 100$  impiegabile con tutte le scale.

— Slittamento max per la scansione orizzontale inferiore a 0,05  $\mu\text{sec}$  picco-picco. Può venir ridotto nel rapporto di circa 3 a 1 nella posizione SMOOTH del commutatore di ingresso dell'asse verticale.

— Densità della campionatura: alta (circa 1000 campioni per traccia), media (200 campioni per traccia), bassa (circa 50 campioni per traccia).

— Comando manuale di scansione: mediante apposite commutazioni si può predisporre lo strumento in modo che sia possibile comandare con una manopola lo spostamento della traccia in senso orizzontale più o meno rapidamente a piacere; in tal modo è possibile

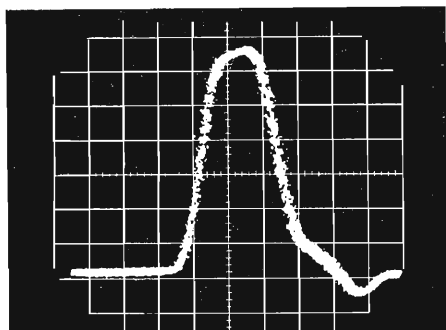


Fig. 5 - Questa foto si presenta come un'assoluta novità. È infatti la riproduzione della traccia dell'oscilloscopio 185/187 A relativa ad un impulso di soli 2 nanosecondi (2  $\mu\text{sec}$ ) di ampiezza. Solo con la tecnica di analisi « per campioni » si possono ottenere simili risultati.

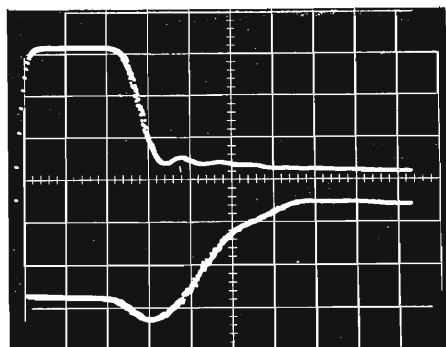


Fig. 6 - Rappresentazione in doppia traccia sullo schermo dell'oscilloscopio 185A. La traccia superiore è l'impulso applicato a un transistor mesa 2N1385. La traccia inferiore la risposta di commutazione del transistor. La scala dei tempi è di un millimicrosecondo per divisione.

comandare, mediante i collegamenti pre disposti nello strumento, un apparato scrivente a penna con registrazione di asse X e Y.

— Ritardo minimo tra segnale e sincronismo: 120  $\mu\text{sec}$ .

— Campo di regolazione del ritardo tra segnale e sincronismo: dieci volte il valore della scala tempi prescelta meno il tempo di ritardo minimo.

Con questo comando è così possibile esplorare a piacere tutto l'andamento della forma d'onda in esame.

— Sincronismo esterno:  $\pm 50$  mV per i 20 nanosec  $\pm 0,5$  V per 1 nanosec e precedenza di 120 nanosec sul segnale in esame.

— Rapporto di ripetizione della campionatura: al max 100 kHz.

— Campo di frequenza del sincronismo esterno: dai 50 Hz ai 100 MHz.

— Impedenza di ingresso del sincronismo esterno: oltre 500  $\Omega$  con la testina di collegamento; 50  $\Omega$  all'ingresso prevista sul pannello frontale; accoppiamento capacitivo.

— Uscita impulsi di sincronismo:

a) ampiezza 2,5 V al minimo su 50  $\Omega$ , polarità positiva;

b) tempo di salita: inferiore a 1 o 0,5  $\mu\text{sec}$ ;

c) ampiezza: superiore a 1  $\mu\text{sec}$ ;

d) sincronismo: circa 20 nanosecondi dall'inizio della traccia;

e) ricorrenza: un impulso per campionatura.

#### 4. - DATI GENERALI

— Possibilità di operazione in unione ad un registratore a penna scrivente con comando manuale a scansione.

Sensibilità di esplorazione: da 0 a 12 V su 20.000  $\Omega$  di ingresso in corrispondenza del tubo da sinistra a destra sull'asse Y, da  $-1$  a  $+1$  V su 10.000  $\Omega$  di ingresso per l'esplorazione di tutto il tubo dal basso all'alto.

— Controllo del pennello catodico: facilita la localizzazione dello « spot » sullo schermo del tubo.

— Tubo a raggi catodici: di tipo 5AQP da 5 pollici.

— Deflessione utile 10  $\times$  10 cm.

— Alimentazione: 115-230 V  $\pm 10\%$ , 50-60 Hz, 250 W.

— Accessori forniti: Un *probe* di sincronizzazione 185A-21A. Due divisori di tensione (10 a 1), uno per ogni ingresso 187A-76A.

— Accessori disponibili: Adattatore a N: 187A-76D.

Divisore 10 a 1: 187-A76C.

Condensatore di blocco: 187A-76D.

Connettore a T da 50  $\Omega$ : 187A-76E.

Carico a 50  $\Omega$ : 908 A.

Linea di ritardo da 120  $\mu\text{sec}$  AC 16 V.

Attenuatore da 6 dB 185A-76A.

Unità di sincronismo che permette di ottenere il segnale di sincronismo per segnali di frequenza superiore ai 100 MHz.

Caratteristiche del divisore di tensione 187A-76A.

Attenuazione: 10 a 1  $\pm 5\%$  nella banda passante del 187A.

— Impedenza di ingresso: 1 M $\Omega$  con 3 pF in parallelo.

— Effetto sul tempo di salita del 187A: trascurabile.

— Massima tensione applicabile 500 V.

#### 5. - APPLICAZIONI DELLO STRUMENTO

— Analisi di impulsi dell'ordine dei nanosecondi.

— Analisi degli impulsi da circuiti a rapido tempo di commutazione.

— Controllo e manutenzione di apparati radar.

— Misura del tempo di transito di transistori e della velocità di blocco dei diodi.

— Misura del tempo di accesso e di utilizzazione di complessi di memoria.

— Comparazione di tempi dell'ordine dei nanosecondi.

— Analisi di forme d'onda di segnali ricorrenti dai 10 ai 1000 MHz con traccia di luminosità costante ed espansione della scansione orizzontale fino a 1 nanosecondo/cm.

#### 6. - SCHEMA ELETTRICO

L'analisi oscilloscopica per campioni è ormai indispensabile per il campo delle UHF. Basti pensare al fatto che si ha un limite di frequenza dell'onda analizzata dovuta al tempo di transito del fascio di elettroni tra le placchette di deflessione. Se infatti la frequenza del segnale applicato fa sì che nel passaggio degli elettroni del pennello catodico tra le placchette si compia un periodo, evidentemente l'effetto di deflessione è nullo. Vi è quindi un punto di deflessione zero nel funzionamento dell'oscilloscopio che limita la banda di lavoro solo a qualche centinaio di megahertz. Con queste nuove tecniche alla analisi convenzionale con deflessione progressiva sull'asse X si sostituisce l'analisi con comando a coordinate. La deflessione orizzontale è infatti realizzata con una tensione a gradini.

Ciò premesso esaminiamo lo schema semplificato di fig. 2. Manteniamo le diciture in inglese perchè le diciture dello schema corrispondono in gran parte a quelle sul frontale dello strumento.

Come si vede il segnale può venir applicato (SIGNAL IN) a due distinti ingressi ad alta impedenza (100 k $\Omega$ ) realizzati in *probe* che contengono il circuito porta relativo al prelievo dei « campioni » successivi di segnale.

Questi *probe* sono alimentati mediante cavo coassiale anche dai circuiti che inviano gli impulsi di comando di apertura della « porta ». Si tratta ovviamente di impulsi molto rapidi in quanto, quanto più ridotto è il tempo di apertura della porta e tanto maggiore è il limite superiore di definizione della nuova tecnica oscillografica.

È chiaro che nel tempuscolo di apertura la tensione prelevata non è che la media



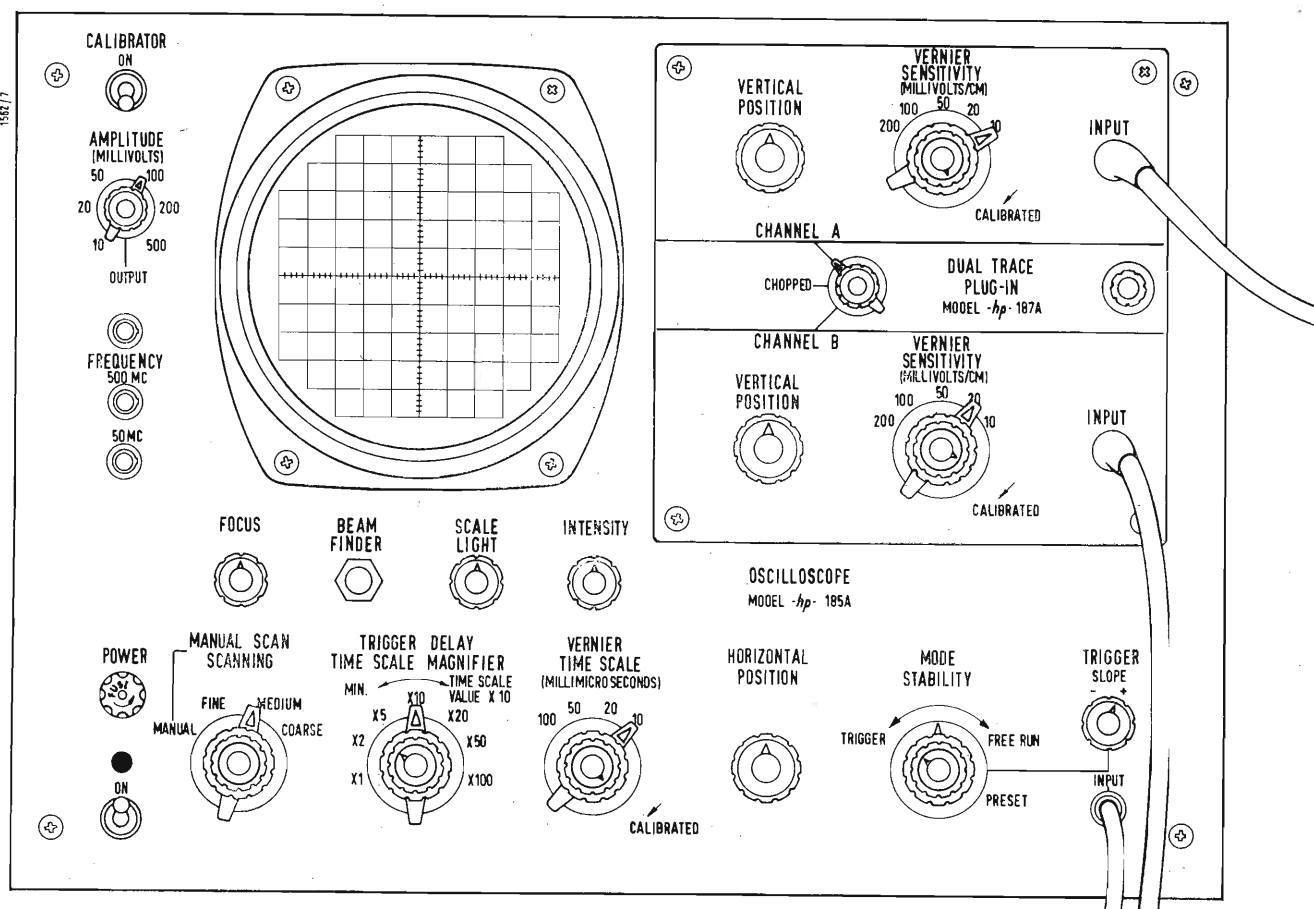


Fig. 7 - Vista frontale dei comandi dell'oscilloscopio 185A.

di quelle che si verificano in questo intervallo di tempo per quanto piccolo esso sia.

Ne viene quindi che la larghezza di banda dell'oscilloscopio dipende dalla durata dell'impulso di campionatura.

Gli impulsi comunque hanno una durata brevissima e per di più ne viene utilizzata solo la parte terminale al vertice il che riduce ancor più il tempo di lavoro. In pratica la « porta » si apre per una frazione di nanosecondo.

Il probe alimenta un comando di amplificazione accoppiato come controreazione all'amplificatore della tensione di campione. A questa unità è pure collegato oltre al comando SENSITIVITY il RESPONSE. Questo comando corregge il funzionamento della « porta » in modo che il condensatore di entrata si carica sempre al valore massimo in esame e non dà un valore inferiore dovuto al tempo di carica del condensatore di entrata. Ciò permette di tener conto di brusche variazioni di livello nel segnale.

Le due uscite relative ai due amplificatori vengono applicate ad un « chopper » che permette la visione dei due canali. Viene derivata anche un'uscita A e B verso l'eventuale tracciatore di curve per coordinate. Il chopper alimenta lo amplificatore verticale di tipo conven-

zionale che tramite le placchette orizzontali del tubo permette la visione. Il complesso comunque più importante è quello relativo alla generazione dei tempi per l'asse X (TIME BASE CIRCUITS). Esaminiamolo da vicino con lo schema semplificato a blocchi di fig. 3. I due segnali che vengono forniti all'oscilloscopio e cioè il segnale da analizzare e quello di sincronismo seguono due strade separate. Il primo va al probe come abbiamo già visto ed il secondo va allo ingresso dei sincronismi.

Sono previsti due distinti ingressi: su 50  $\Omega$  di cavo coassiale con un minimo di 50 mV di segnale e a mezzo di probe con circa 1000  $\Omega$  di impedenza di ingresso e circa mezzo volt di segnale per uno stabile sincronismo.

Questi segnali di sincronismo vengono amplificati da un amplificatore — separatore e passati ad un oscillatore bloccato di tipo convenzionale. Fino ad una frequenza massima di 100 kHz ad ogni impulso si ha una campionatura. Per frequenze superiori il circuito di guardia impedisce che si superi questa frequenza. Questo circuito di guardia che comanda quindi il prelievo dei segnali di sincronismo viene ad agire fino ai 100 MHz. Per frequenze superiori il trigger deve venir demoltiplicato in

rapporto 1 a 10. In tal modo l'oscilloscopio permette la visione di segnali di frequenza fino a 1000 MHz.

L'oscillatore bloccato di tipo convenzionale dà luogo ad una forma d'onda a denti di sega che viene inviata ad un circuito a coincidenza in cui il segnale proveniente dal generatore di tensione a gradini viene confrontata con quella proveniente dal segnale del generatore a denti di sega. Ogni volta che si verifica la coincidenza dei due valori parte un impulso di sincronismo che va ad aprire la porta del probe. Le cose sono fatte funzionare in modo che gli impulsi di campionatura si sfalsano progressivamente nel tempo rispetto al segnale di sincronismo così come indicato in figura 4. Questo continuo sfalsarsi viene ottenuto semplicemente sovrapponendo della tensione continua progressivamente crescente al segnale di scansione a denti di sega.

Il succedersi dei « gradini » di tensione è provocato a catena dal comparatore che una volta effettuata la comparazione tra il dente di sega ed il gradino appena ricevuto dà l'avvio ad un impulso rapido per la « porta » e nello stesso tempo provoca la formazione di un altro gradino di tensione per l'asse X.

I comandi di questo complesso sono: il TIME SCALE che regola la pendenza del dente di sega generato dall'oscillatore bloccato. Si hanno così 4 scatti da 10-

20-50-100 millimicrosecondi. Il comando MAGNIFIER regola la tensione continua di riferimento relativa al dente di sega in modo che è possibile realizzare un'espansione in rapporto 1 a 100. L'asse tempi più veloce arriva così ai 30  $\mu\text{sec}/\text{mc}$  ( $30 \cdot 10^{-12} \text{ sec}/\text{cm}$ ), vale a dire alla velocità della luce.

Il comando DELAY regola esso pure la tensione continua sommata all'asse tempi come dente di sega. È così possibile esplorare una porzione qualsiasi dell'asse tempi a disposizione comunque esso venga espanso.

Il comando SCANNING infine determina il numero di campionatura per scansione. Si possono così avere o 1000 o 200 o 50 campionature per scansione. Ciò è utilissimo per adattare lo strumento alle varie velocità di ripetizione degli impulsi da analizzare. Ad una bassa velocità di ripetizione deve infatti corrispondere un basso numero di campionature. Se infatti con una frequenza di 1000 Hz si conservassero ad esempio 1000 campionature per scansione la traccia impiegherebbe circa un secondo per venir percorsa. Con 50 campionature invece si hanno 50 tracce in un secondo.

Il comando SCANNING prevede anche una posizione MANUAL con il quale il movimento del pannello elettrico sull'asse X viene comandato normalmente. Ciò permette il tracciamento automatico

delle curve e l'analisi anche del variare nel tempo della tensione di un punto lungo la forma d'onda in esame.

Il segnale di sincronismo viene inviato oltre che al generatore di coordinate (non si può più parlare di base tempi) anche ad un calibratore di ampiezza e tempo. Si ha un'uscita calibrata a 50 e 500 MHz oltre al segnale di sincronismo relativo. È previsto sia un interruttore per l'inserzione o meno del calibratore ed un regolatore di livello a scatti per 10-20-50-100-200-500 mV. Si può così controllare l'amplificazione dei due assi come è pure possibile controllare gli assi tempi come velocità di scansione con le due frequenze di 50 e 500 MHz (con precisione  $\pm 1\%$ ).

Le due frequenze sono ottenute molto semplicemente a mezzo di un oscillatore bloccato di frequenza, evidentemente molto elevata, che fornisce dei picchi di tensione a due circuiti risonanti da 50 e 500 MHz.

È infatti possibile vedere nell'oscilloscopio il classico andamento ad onda smorzata delle due frequenze. La possibilità di alimentare uno dei probe con una delle frequenze a piacere permette così un'accurata misura di frequenza dell'onda in esame. L'oscilloscopio è inoltre dotato dei seguenti comandi relativi all'emissione da parte del tubo oscillografico e cioè:

Focus = regolazione del fuoco.

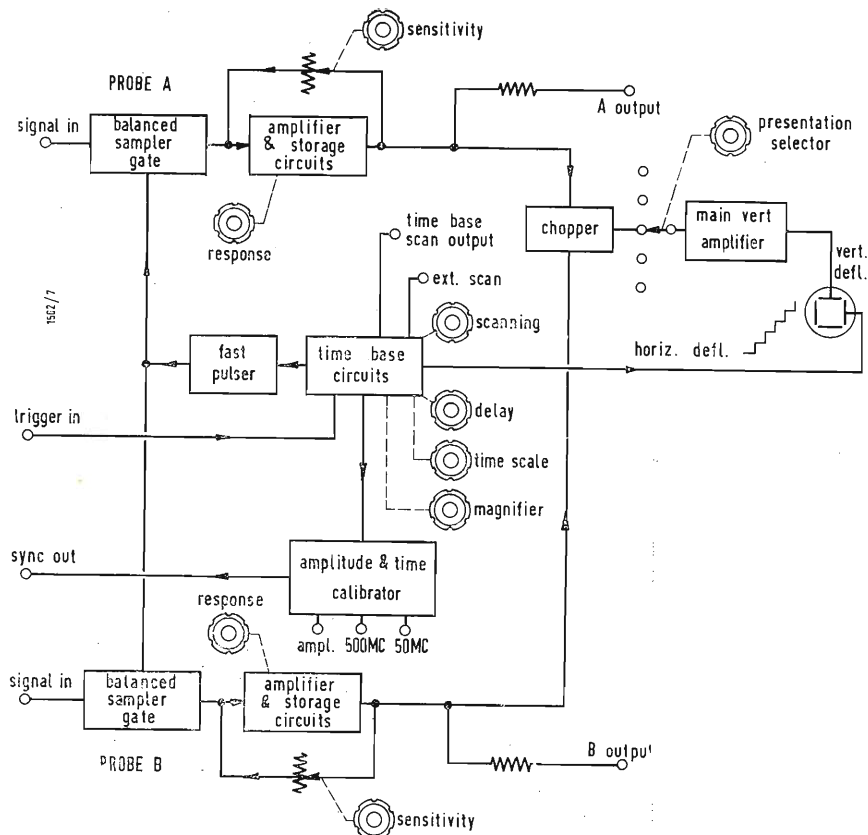


Fig. 8 - Schema semplificato a blocchi dell'oscilloscopio 185A.



Fig. 9 - Schema semplificato a blocchi del circuito base per la generazione dei tempi.

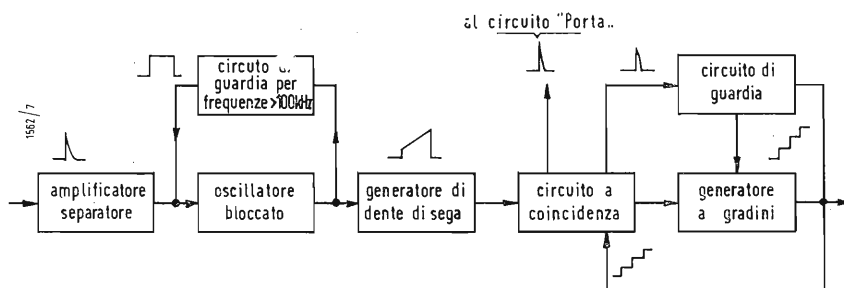


Fig. 10 - Schema del progressivo sfasamento tra impulsi di sincronismo e gli impulsi di campionatura.

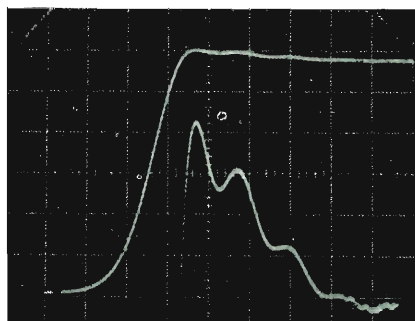
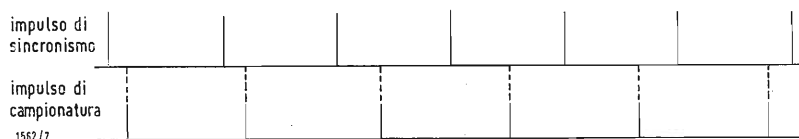


Fig. 11 - L'oscilloscopio 185A possiede una insolita capacità di sopportare i sovraccarichi. La traccia inferiore è identica alla superiore, salvo una amplificazione venti volte superiore.

INTENSITY = Intensità di luminosità della traccia.

SCALE LIGHT = Regolazione della luminosità del reticolo trasparente di cui è munito il tubo.

BEAM FINDER = Tasto a pressione che permette, riducendo l'amplificazione di asse X ed Y, di vedere subito la posizione dello spot luminoso senza che si debba procedere per tentativi per riportarlo entro i limiti dello schermo del tubo.

I sincronismi sono dotati di un doppio comando concentrico. Il primo denominato MODE (evidentemente MODE OF OPERATION) regola la sensibilità al TRIGGER dal FREE RUN ad un massimo (TRIGGER). Il FREE RUN corrisponde ad una frequenza di ripetizione libera dell'asse orizzontale di 100 kHz.

L'altro controllo STABILITY regola il funzionamento dei circuiti di guardia che limitano a 100 kHz i segnali di sincronismo in arrivo. Un altro comando permette di agganciare come sincronismo il lato positivo a quello negativo dell'impulso relativo.

Il commutatore relativo all'asse y permette il funzionamento del solo canale A, del solo canale B (che fanno capo ai relativi probe) e di entrambi.

## 7. - MODALITA' DI COLLEGAMENTO DEI SINCRONISMI

Un oscilloscopio a campionamento richiede, come si è già detto, una sincronizzazione esterna a parte, non fosse che per il fatto che i segnali applicabili allo strumento sono due.

Occorre però che il segnale di sincronismo pervenga allo strumento con un certo anticipo sul segnale in modo da poter preparare i circuiti di scansione così da accogliere opportunamente il segnale. Se il sincronismo viene direttamente prelevato dal segnale occorre introdurre sul percorso di quest'ultimo una linea di ritardo di 120 millimicrosecondi. Questa linea di ritardo viene fornita a parte come accessorio (AC-16 V) della -hp-. Si tratta di una specie di piano base con delle sedi per disporvi sopra l'oscilloscopio, con due attacchi per cavo coassiale dal lato frontale.

## 8. - PREGI E DIFETTI DELLO OSCILLOSCOPIO PER CAMPIONI

L'analisi per campioni richiede che il segnale da analizzare sia ricorrente. Si hanno inoltre delle limitazioni per l'analisi delle frequenze più basse sotto il kHz.

D'altra parte questo strumento è adatto prevalentemente all'analisi delle forme d'onda di frequenza dell'ordine di 1 kHz.

Per concludere possiamo dire che l'oscilloscopio ha queste basilari limitazioni:

1°) Il segnale deve essere ricorrente.

Però non occorre che sia periodico.

2°) La velocità di ripetizione è ridotta da un fattore uguale al numero di punti per scansione. Per velocità di ripetizione sopra circa 1 kHz ciò non dà alcun fastidio.

In cambio di queste limitazioni l'oscilloscopio offre i seguenti vantaggi:

1°) Può rappresentare segnali il cui spettro si estende fino alla regione dei kHz.

2°) Ottiene questa larghezza di banda a sensibilità di pochi mV/cm.

3°) Dà una traccia a piena luminosità anche per segnali di bassa ripetizione, e per fronti d'onda molto ripidi.

4°) Permette la presentazione a doppia traccia.

5°) Permette l'ingresso ad alta imprudenza.

6°) Permette registrazione automatica di segnali usando registratore X-Y. Si può registrare ogni canale in funzione del tempo o un canale in funzione dello altro.

7°) Fornisce una replica del segnale di ingresso trasformato nel tempo, così da rendere possibili analisi armoniche.

8°) Ed infine giacché il punto luminoso può essere portato ad ogni predeterminata posizione sull'impulso, l'oscilloscopio «sampling» può essere usato come componente di equipaggiamento automatico di prova. Se la scansione è fermata in una posizione, ciò che può essere fatto o manualmente o con una tensione esterna applicata all'ingresso posteriore, si ottiene una tensione continua in uscita proporzionale all'ampiezza dell'impulso in quell'istante.

È nostra opinione che l'oscilloscopio qui descritto rappresenti di più che soltanto un oscilloscopio. È un nuovo mezzo rivoluzionario per tutti i lavori nel campo degli impulsi rapidi, un mezzo che ognuno desidererà avere a propria disposizione ed imparare ad usare.

A.

### Ricerca scientifica e istruzione delle maestranze fondamento dell'automazione

Nei giorni dal 22 al 27 novembre u.s., ha avuto luogo a Milano, nel Padiglione della S.A.E.N., compreso nel recinto della Fiera di Milano, il 5° Convegno-Mostra della automazione e strumentazione, sotto il patronato del Consiglio Nazionale delle Ricerche.

Il Convegno è stato organizzato dalla Federazione delle Società scientifiche e tecniche di Milano e la Mostra dalla Rivista «Automazione e strumentazione». Il Comitato organizzativo del Convegno era composto come segue. Presidente: Dott. Luigi Morandi, Presidente della Federazione delle Società scientifiche e tecniche di Milano. Componenti: Prof. Dott. Piero Caldirola, Presidente della Società lombarda della Società italiana di fisica; Prof. Ing. Felice De Carli, Presidente dell'Associazione italiana di metallurgia; Dott. Mario Fasciano, Presidente della Sezione di Milano dell'Associazione meccanica italiana; Dott. Ing. Leonardo Maggi, Presidente della Sezione di Milano dell'Associazione elettrotecnica italiana; Dott. Luigi Morandi, Presidente della Sezione lombarda della Società chimica italiana; Dott. Ing. Bruno Pontremoli, Presidente della Sezione lombarda della Associazione termotecnica italiana. Prof. Dott. Antonio Todisco, Presidente della Sezione lombarda dell'Associazione nazionale italiana per l'automazione.

I Segretari del Convegno erano il Dott. Giovanni Lo Pinto e il Dott. Luigi Satta, Segretari della Federazione delle Società scientifiche e tecniche di Milano.

Coordinatori scientifici erano il Prof. Ing. Gino Bozza, Presidente generale della Associazione termotecnica italiana e il Prof. Ing. Carlo Costadoni. Incaricato di servomeccanismi ed elettronica industriale presso il Politecnico di Milano.

I lavori del Convegno erano articolati sui seguenti temi: Teoria dell'automazione (relatore Dott. Sergio Barabaschi); Fisica nucleare (relatore Dott. Ing. Vincenzo Gervasio); Elettrotecnica (relatore Dott. Ing. Antonio Tescari); Termotecnica (relatore Dott. Ing. Bruno Chierego); Chimica (relatore Dott. Ing. Guido Greco); Metallurgia (relatore Dott. Ing. Bartolomeo Macor); Automazione negli uffici (relatore Dott. Ing. Ottorino Beltrami); Meccanica (relatore Dott. Ing. Ernesto Zollinger).

Al termine del Convegno, la SORIN ha organizzato un Simposio sulle applicazioni industriali dei radioisotopi che ha avuto per oggetto i seguenti temi: Misure di livello, densità, spessore; Gammagrafia industriale; Applicazioni di traccianti radioattivi; Aspetti economici dell'utilizzazione industriale dei radioisotopi. (i.s.)

### Dichiarazioni del Prof. G. Polvani sulla ricerca scientifica al Convegno dell'automazione

Il Presidente del Consiglio Nazionale delle Ricerche, Prof. Giovanni Polvani, è intervenuto la mattina del 24 novembre u.s., ai lavori del 5° Convegno Mostra della Automazione e Strumentazione che hanno avuto luogo, sotto il patronato del C.N.R., a Milano dal 22 al 27 novembre 1960.

Il Presidente del Comitato organizzativo del Convegno, Dott. Luigi Morandi, ha presentato ai Congressisti presenti il Prof. Polvani e dopo averlo ringraziato del suo intervento, ha formulato delle dichiarazioni sulle finalità del Convegno, sui fattori che è necessario sviluppare in Italia per avere una completa valorizzazione dell'automazione sia negli strumenti sia negli uomini ed infine sulle necessità della ricerca scientifica, affermando al riguardo che «Un Paese può progredire se la ricerca tecnica e scientifica è veramente funzionale».

Successivamente il Prof. Polvani ha preso la parola per ringraziare il Dott. Morandi e porgere il saluto suo e del C.N.R. ai partecipanti ai lavori del Convegno, esprimendo loro l'augurio per il miglior successo del Convegno stesso.

Quanto all'automazione, il Prof. Polvani ha affermato che essa costituisce oggi una delle grosse attività di ricerca e di applicazione che dominano la vita di un Paese, in quanto che i vantaggi che l'applicazione estensiva e intensiva dell'automazione può dare sono grandissimi. Ha ricordato che il Consiglio Nazionale delle Ricerche è stato uno dei primi interpreti di questa modernissima manifestazione tecnica e scientifica, organizzando fra l'altro, alcuni anni fa, proprio in Milano, il primo Congresso internazionale sui problemi dell'automazione. Oggi, il C.N.R. ritiene di dover porre l'automazione tra le attività di primo piano cui dedicare, nell'ambito delle sue possibilità, ogni interessamento.

Il Prof. Polvani ha colto l'occasione del suo intervento per formulare alcune dichiarazioni sulla ricerca scientifica in generale. Egli ha esplicitamente dichiarato che il progresso di un Paese è essenzialmente legato a quello della ricerca scientifica, e che, pertanto, se un Paese non organizza le sue attività, anzi — si può dire di più — se non le concepisce, le pensa, le attua in termini di ricerca scientifica, esso rischia di andare in fondo, dopo tutti gli altri, nella competizione internazionale. E pertanto una delle cose più importanti che un Paese deve pensare di attuare su larga e profonda scala è la ricerca collegata alle attività industriali. A tal proposito il Prof. Polvani, illustrando i programmi del C.N.R., ha ricordato l'esistenza ed i progressi già realizzati dalla Commissione per la ricerca industriale del C.N.R., presieduta dal Dott. Luigi Morandi, rivolta soprattutto ad assistere in questo settore la media e la piccola industria ed ha affermato che sarà compito gra-



A bordo del piroscafo Oriana che ha compiuto il viaggio inaugurale tra Southampton e l'Australia la MARCONI's WIR. TEL. Co. ha installato un completo e modernissimo impianto di televisione a circuito chiuso. Ecco la cabina di controllo.



dito del C.N.R. cercare non solo di dare a tutti coloro che nel settore industriale ne abbiano la necessità l'indicazione di enti, mezzi e persone che siano in grado di compiere le ricerche che a loro occorrono, ma addirittura di concorrere anche alle spese che le ricerche stesse comportano.

Il Prof. Polvani —concludendo il suo intervento — ha infine chiesto la solidarietà di tutti gli italiani al raggiungimento di un obiettivo ormai improcrastinabile: dare al Paese i mezzi perchè la ricerca scientifica sia portata a quell'alto livello che esso giustamente attende per il suo ulteriore e necessario sviluppo e progresso.

(i. s.)

### Una scoperta della General Electric contribuisce a fare luce sul fenomeno elettronico del «tunneling» e superconduttività

Una scoperta che dà adito a nuovi concetti scientifici e che può rendere attuabile una nuova gamma di dispositivi elettronici è stata annunciata dalla GENERAL ELECTRIC COMPANY (USA). Un fenomeno elettronico chiamato *tunneling* che in precedenza era risultato utile nella preparazione di materiali semiconduttori, è stato osservato per la prima volta con dispositivi aventi configurazione più semplice. Questi dispositivi consistono in due sottilissime lamiere metalliche separate tra loro da un sottile strato isolante, con uno o entrambi i lamierini in stato di superconduttività, cioè che non offrono alcuna resistenza al passaggio di una corrente elettronica.

Secondo l'opinione del Dr. Guy Suits, Vice-presidente e Direttore del Settore Ricerche della GENERAL ELECTRIC, la scoperta fatta da Ivar Giaever del Laboratorio Ricerche della G.E. è recentissima e quindi le sue conseguenze non sono ancora del tutto determinate. «Tuttavia — dice — essa aggiunge già qualcosa alla conoscenza fondamentale del fenomeno del *tunneling* e della superconduttività, e potrebbe rendere attuabili innovazioni nella costruzione di componenti elettronici aventi le caratteristiche di grande versatilità e dimensioni piccolissime. Per esempio, potrebbe essere possibile realizzare un semplice dispositivo, basato su un sistema completamente nuovo, che servirebbe come interruttore, diodo, diodo a resistenza negativa, triodo, resistore o condensatore.

Il *tunneling* elettronico è stato oggetto di studio in relazione al diodo semiconduttore. Tuttavia, il *tunneling* si verifica non solo nei semiconduttori ma anche in altri materiali. Nel caso specifico scoperto da Giaever, il *tunneling* si verifica attraverso una semplice barriera costituita da un sottile strato isolante, anziché attraverso la regione di «esaurimento» di carica di un semiconduttore, come nel caso di diodo tunnel. Il fenomeno del *tunneling* di elettroni attraverso due sottili strati isolanti può essere capito pensando agli elettroni carichi di elettricità non in quanto particelle ma in quanto onde. Allorché queste onde urtano una barriera (come nel caso di un isolante) quasi tutte vengono respinte indietro. Esiste tuttavia una probabilità che una piccola parte di onde passi attraverso la barriera, se questa è sufficientemente sottile. Se un conduttore è presente dall'altra parte, la presenza di queste onde che anziché tornare indietro penetrano attraverso la barriera (effetto *tunneling*) possono essere riconosciute sotto forma di corrente. Nonostante la scarsa probabilità che esiste per le onde di «penetrare» anziché venire respinte, il numero di queste onde «penetranti» (*tunneling*) è così elevato che può verificarsi un notevole passaggio di corrente dovuto a questo fenomeno.

Perché il *tunneling* sia notevole, devono esistere talune particolari condizioni. Se due lamiere metalliche vengono separate da un buon isolante, esse formano un condensatore. La corrente non passa attraverso l'isolante, anche se ha uno spessore limitato a un millesimo di centimetro. Tuttavia, se l'isolante è ancora più sottile, avente cioè uno spessore di un'infinitesima parte di centimetro, la probabilità che gli elettroni oltrepassino la barriera diviene sufficiente per creare un passaggio di corrente. Con tensioni relativamente basse la corrente che viene indotta dal *tunneling* è proporzionale alla tensione, proprio come se l'isolante fosse un comune elemento di resistenza. In breve, più grande è la tensione, maggiore è la corrente.

Sperimentando il *tunneling* attraverso una lamiera isolante ultra-sottile, Giaever riscontrò un effetto inatteso allorché la lamiera conduttrice era costituita da un superconduttore. Anziché ottenere un grafico a linea retta indicante che la corrente aumentava proporzionalmente all'aumento della tensione, il grafico indicava una curva a S dimostrando che veniva prodotto un effetto simile a quello riscontrato nel diodo tunnel. Giaever in base a tale traccia, scoprì che una zona di «resistenza negativa» — in cui la corrente diminuisce con l'aumento della tensione — si verificava se entrambe le lamiere metalliche erano costituite da superconduttori. Questo fenomeno deriva dal fatto che taluni livelli di energia (potenza) in un superconduttore sono «proibiti» agli elettroni. Qualunque elettrone in una lamiera metallica avente energie uguali a quelle «proibite» dell'altra lamiera metallica non può penetrare attraverso la interposta barriera isolante. Di conseguenza queste «interruzioni» dovute a energia «proibita» nei superconduttori hanno una profonda influenza sulle correnti che si ottengono per l'effetto del *tunneling* e da ciò derivò il grafico indicante lo strano comportamento scoperto da Giaever. Simili zone di «resistenza negativa» furono in precedenza osservate nei diodi tunnel.



Le piccolissime dimensioni del dispositivo che potrebbe essere realizzato traendo vantaggio dalle recenti scoperte sulla superconduttività e sull'effetto del tunneling possono essere osservate su questa foto. Due piccolissime striscie metalliche sono disposte su una lastrina di vetro. La parte operante è solo l'incrocio.



Giaever regola un dispositivo che sfrutta il «tunneling». Sullo sfondo lo strumento registratore traccia la curva corrente-tensione. Si noti il tratto a pendenza negativa.

La scoperta di questo fenomeno ha importanti conseguenze per quanto si riferisce alle teorie sulla superconduttività e sul *tunneling*. Dal punto di vista pratico, la scoperta può acquisire grande importanza se sarà possibile realizzare un nuovo tipo di dispositivi unici nel loro genere perchè incredibilmente minuscoli e versatili. Gli esperimenti di Giaever furono fatti con lamierine in alluminio, zinco, stagno e indium; tutte divennero dei superconduttori a temperature vicine a quelle dello elio liquido. Uno svariato numero di altri metalli si suppone presentino uguale effetto. In quasi tutti gli esperimenti, l'isolante usato era ossido d'alluminio, sebbene Giaever avesse anche osservato l'effetto *tunneling* anche usando ossido di nickel, di tantalio e di niobio.

Uno dei principali vantaggi derivanti da un dispositivo che utilizzi il fenomeno scoperto da Giaever è costituito dalla possibilità di cambiare le caratteristiche del dispositivo a mezzo del campo magnetico. Questo si può ottenere in base ad una ben nota proprietà dei superconduttori: essi possono essere portati al loro stato normale, cioè di non-superconduttori sottoponendoli ad un campo magnetico sufficientemente forte. Ne consegue che variando la potenza del campo magnetico, una o tutte e due le lamiere dei superconduttori possono essere riportate allo stato di non-superconduttività, con conseguente cambiamento delle caratteristiche nel flusso di corrente dal dispositivo. Di qui la versatilità del dispositivo stesso che potrebbe fungere da interruttore, da diodo, da diodo a resistenza negativa, da triodo, da resistore o condensatore.

Altri vantaggi potenziali, basati sull'effetto scoperto, sarebbero: le dimensioni estremamente piccole del dispositivo, le scarse esigenze di energia e l'economicità nella fabbricazione. Poichè i dispositivi sarebbero realizzati depositando strati di metallo e di isolante su un adatto substrato, potrebbe essere possibile riunire in un solo dispositivo circuiti complessi che comportano un centinaio di componenti. Da ciò deriverebbe una notevole riduzione nel costo, rispetto ai sistemi attuali di fabbricazione e montaggio di circuiti complessi, e renderebbe possibile anche una riduzione delle dimensioni. La perdita di potenza estremamente bassa, — e con generazione di poco calore — rende possibile la riunione di elementi piccolissimi, con densità assai superiore a quella ora possibile con gli attuali semiconduttori.

Sarà necessario condurre studi e ricerche per poter realizzare dispositivi basati sul nuovo concetto sopradescritto. Inoltre, la necessità di temperature criogeniche per i componenti potrebbe costituire un problema, ma per molti usi si prevede che esso non sia grave. Piccoli refrigeratori per elio liquido sono disponibili sul mercato e la scarsa perdita di potenza consentita dai nuovi dispositivi potrà rendere le esigenze relative al raffreddamento meno critiche rispetto a quelle necessarie per i grandi insiemi di componenti attualmente realizzabili. In generale è noto che la tecnologia criogenica sta compiendo grandi passi avanti e sta perfezionandosi continuamente.

La scoperta degli effetti sopradescritti, precedentemente insospettati, apporta un notevole contributo alla conoscenza scientifica fondamentale sia della superconduttività che del *tunneling*. Uno dei problemi basilari della superconduttività è: perchè alcuni materiali sono superconduttori ed altri non lo sono. Gli esperimenti di Giaever, rappresentano un apporto di dati che potrebbe essere assai utile alla soluzione di questo problema. Inoltre, i fisici ritengono necessario sviluppare ulteriormente la teoria del tunneling degli elettroni, cioè andare oltre all'attuale stato di conoscenza, (sufficiente a spiegare i diodi tunnel) al fine di poter trovare una completa spiegazione relativa a questi nuovi risultati. (ipra)

### Un ponte Wheatstone a commutatori rotanti

Ai laboratori delle industrie chimiche, agli Istituti di Chimica-Fisica delle Università risulterà particolarmente interessante per utilità e prezzo un ponte di Wheatstone a commutatori rotanti, con galvanometro incorporato di fabbricazione della GEBR. RUHSTRAT di Goettingen.

Trattasi di uno strumento assai pregevole, adatto per misure, a grande precisione, di resistenza da  $0,1 \Omega$  a  $10 M\Omega$ , contenente le resistenze dei rami del ponte in suddivisione decadica, la resistenza di paragone, due pulsanti per il tasteggio della batteria e del galvanometro, i morsetti per l'allacciamento alla batteria, alla resistenza incognita e ad un eventuale galvanometro (qualora si richiedesse una sensibilità maggiore di quella consentita dal galvanometro incorporato), ed infine il relativo interruttore di commutazione. Le decadi di confronto del ponte sono:  $10 \times (1 + 10 + 100 + 1000 + 10.000) \Omega$ .

Il fattore di moltiplicazione è  $1000 - 100 - 10 - 1 - 0,1 - 0,01$ .

Con il galvanometro incorporato, che ha una sensibilità di  $6,8 \times 10^{-7}$  A/suddivisione, e con una tensione della batteria di 4 V, una resistenza di  $200 \Omega$  circa può venir misurata con una precisione di  $\pm 0,1\%$ . La medesima precisione rimarrà per valori superiori, impiegando una batteria di 30 ed anche 100 V, ed un galvanometro a specchio a raggio luminoso separato, pure di fabbricazione RUHSTRAT, dalla costante amperometrica di  $7,6 \times 10^{-8}$  A/mm e dalla costante voltmetrica di  $8 \times 10^{-5}$  V/mm. Questi valori si riferiscono ad una distanza della scala di lettura del galvanometro di 250 mm. (s.s.b.)



# Selettore di canali VHF Philips a bobine stampate modello PK 95233\*

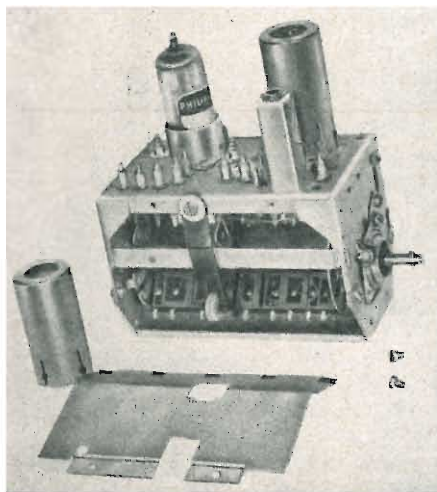


Fig. 1 - Selettore di canali a bobine stampate PK 95233.

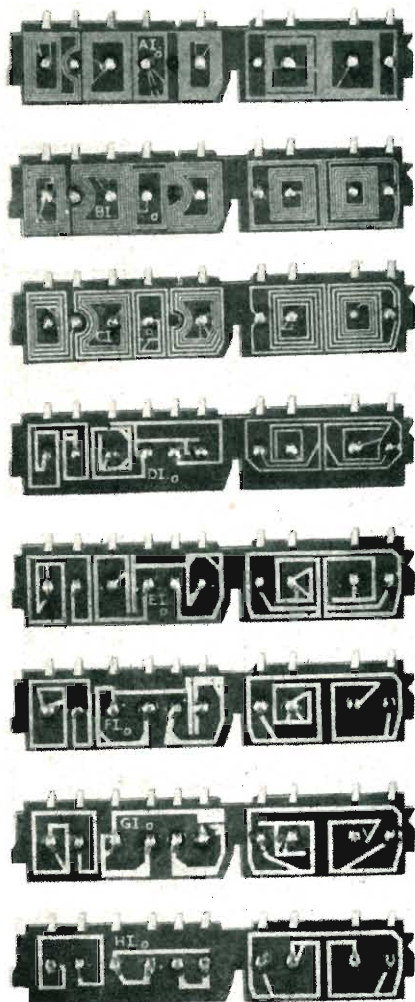


Fig. 5 - Bobine stampate per gli otto canali italiani.

IL SELETTORE di canali PK95233 del tipo a tamburo è provvisto di bobine stampate ed è destinato alla ricezione dei programmi televisivi nelle bande I e III (VHF). In fig. 5 sono rappresentate le bobine stampate. Il selettore ha 12 posizioni di cui 8 occupate per i canali italiani (A ..... H) e 4 di riserva.

La sintonia fine è ottenuta con il condensatore ceramico variabile ( $C_{23}$ ).

## 1. - CIRCUITO

Il selettore è equipaggiato con il doppio triodo PCC88 a basso fruscio in un circuito cascode e con il triodo-pentodo PCF80 oscillatore-convertitore. In figura 2 è indicato lo schema elettrico.

Il trasformatore di adattamento tra l'ingresso bilanciato del selettore (300  $\Omega$ ) ed il circuito d'ingresso della valvola ha un nucleo in « Ferroplana » onde consentire un più elevato rapporto di reiezione dei segnali sbilanciati indesiderati ed un più basso livello di fruscio. La simmetrizzazione del circuito di ingresso rispetto massa è realizzata per mezzo di un circuito a ponte, ottenuto inserendo i condensatori  $C_8$  e  $C_7$ , i quali tra l'altro, neutralizzano la reazione anodica.

In questo selettore le induttanze di accordo dei vari canali sono formate da una parte fissa sullo chassis del selettore collegata in serie alla parte variabile da canale a canale realizzata su circuito stampato, e disposta sul rotore. Per i canali della banda I l'induttanza di quest'ultima ha un valore piuttosto elevato, mentre per quelli della banda III ha un valore più basso. Le varie piastre, fra di loro intercambiabili portano, stampate, le bobine del circuito RF e dell'oscillatore relative ai vari canali. Le induttanze fisse sono normali bobine a filo, regolabili per mezzo di nuclei di ottone. In questo selettore, data la grande costanza delle bobine stampate, anziché tarare le singole bobine di ciascun canale, si effettua la taratura solo per le due bande. Per far ciò sono disponibili due possibilità di regolazione, e cioè il nucleo della bobina fissa in serie montata sullo chassis ed il compensatore in parallelo. Il compensatore viene regolato per un'ottima ricezione del canale C, il nucleo per la ricezione del canale H. Tra il circuito d'uscita FI del selettore ( $L_{12}$ ) e il circuito d'ingresso FI del ricevitore ( $L'_{12}$ ) l'accoppiamento è capacitivo per corrente (figura 3). La capacità di accoppiamento è formata da quella del cavo di collegamento all'amplificatore FI e da quella del condensatore aggiuntivo montato ai terminali d'uscita del selettore. La ca-

pacità totale richiesta dipende ovviamente dal coefficiente di accoppiamento desiderato. Per avere una curva piatta della banda passante del primo filtro di FI essa deve essere di 68 pF, per una larghezza di banda di circa 6 MHz a 3 dB. È stato scelto questo tipo di accoppiamento per ridurre al minimo l'irradiazione del selettore, dato che con altri sistemi risulta oltre modo difficile o addirittura impossibile rispettare le norme severe circa l'irradiazione vigenti in molti paesi. Il condensatore di accoppiamento disposto sui terminali di uscita forma un cortocircuito per le armoniche dell'oscillatore presenti nel segnale; si deve fare attenzione che esso sia montato più vicino possibile al telaio del selettore in modo da non formare un circuito risonante, che potrebbe fare da antenna.

La tensione di alimentazione dell'oscillatore proviene da una cinnesione separata ed è più bassa di quella dello stadio « cascode », per cui risulta più costante e più filtrata.

## 2. - DATI TECNICI

### Valvole:

PCC88, doppio triodo con griglia a quadro, amplificatore RF in un circuito « cascode ».

PCF80, triodo-pentodo convertitore.

### Dati di funzionamento:

Cascode e stadio convertitore:  $V_b = 180$  V;  $I_a \approx 23$  mA con  $V_{CRG} = 0$  V;  $I_a \approx 5,5$  mA con  $V_{CAG} = -5$  V (PCC 88 all'interdizione).

Stadio oscillatore:  $V_b = 140$  V;  $I_a \approx 8,5$  mA.

Tensione di accensione:  $V_f \approx 15,3$  V.

Corrente di accensione:  $I_f = 300$  mA.

I filamenti delle valvole del selettore vanno conclusi nella catena dei filamenti delle valvole del ricevitore in modo che il punto  $f_2$  sia elettricamente più vicino al telaio di  $f_1$ . Per evitare modulazione da ronzio, la tensione alternata tra  $f_2$  e telaio non deve superare i 40 V<sub>eff</sub>. Tutte le misure e i dati sono riferiti alle tensioni di funzionamento sopra indicate. Per misurare il guadagno e la cifra di fruscio l'ingresso del CAG deve essere corto-circuitato ( $V_{CAG} = 0$  V).

La larghezza di banda RF e le curve totali sono misurate e regolate per  $V_{CAG} = -1,6$  V.

### Media frequenza:

Portante video 45,9 MHz.

Portante audio 40,4 MHz.

La frequenza dell'oscillatore è superiore a quella del canale ricevuto.

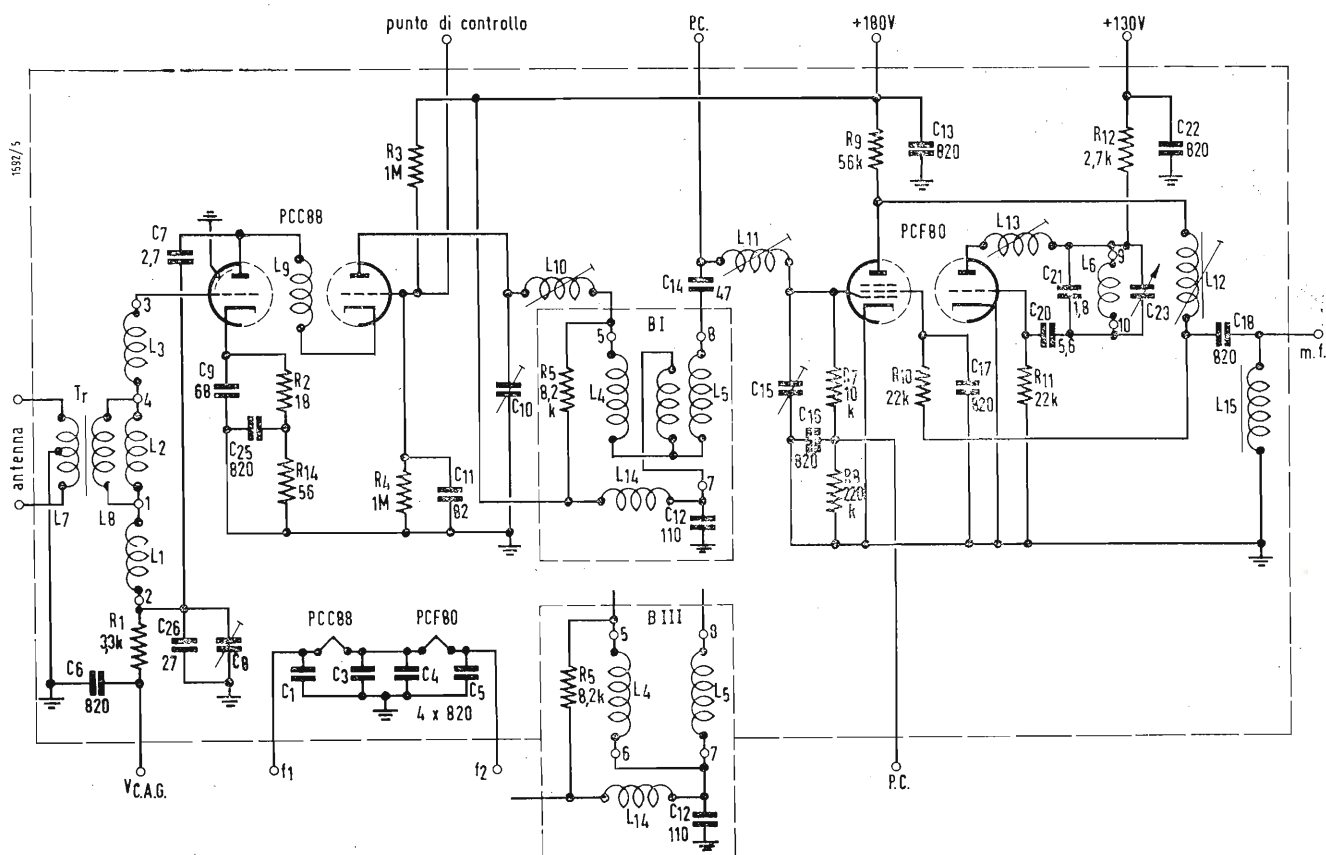


Fig. 2 - Schema elettrico del selettore di canali VHF a bobine stampate, mod. PK 95233 della PHILIPS.

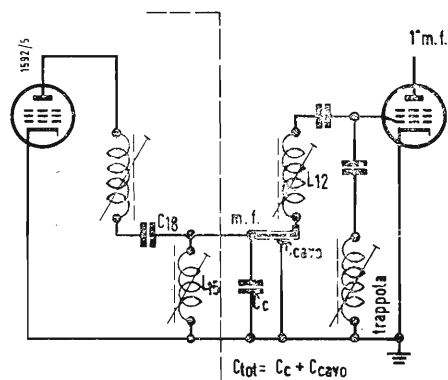


Fig. 3 - Circuito di accoppiamento tra uscita del selettore e ingresso dell'amplificatore di FI.

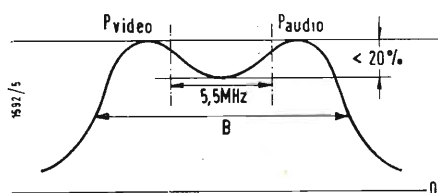


Fig. 4 - Curva di risposta di RF.

#### Larghezza di banda RF.

Banda I  $B = 8 \text{ MHz}$  a  $3 \text{ dB}$ ;

Banda III  $B = 10 \text{ MHz}$  a  $3 \text{ dB}$ .

La larghezza di banda RF viene misurata sul punto «P.C.» nel circuito di griglia della convertitrice mentre lo oscillatore è in funzione  $V_{CAG} = -1,6 \text{ V}$  (fig. 4).

#### Guadagno.

40 x, calcolato come rapporto tra la f.e.m. presente ai morsetti di antenna e quella sulla griglia del primo stadio di FI (Secondario del filtro passa banda di FI smorzato con  $8,2 \text{ k}\Omega$ , larghezza di banda  $6 \text{ MHz}$  a  $3 \text{ dB}$ ).

#### Impedenza d'ingresso d'antenna.

$R_{ant} = 300 \Omega$  (simmetrica).

#### Cifra di fruscio:

banda I  $F = 3,2 \text{ kT}_0$ .

banda III  $F = 5 \text{ kT}_0$ .

#### Escursione della sintonia fine:

banda I  $\Delta f = 1,8 \div 4 \text{ MHz}$ .

banda III  $\Delta f = 2,5 \div 6 \text{ MHz}$ .

L'azione della sintonia fine è tale che in qualunque canale si può far scorrere la portante video lungo il tratto in pendenza della curva di risposta di FI per almeno  $1 \text{ MHz}$  in salita (per la ricezione di un segnale debole) in entrambe le bande. In discesa l'azione della sintonia

fine è circa  $0,5 \text{ MHz}$  nella banda III e  $0,3 \text{ MHz}$  nella banda I.

#### Tensione dell'oscillatore:

Il valore della tensione media oscillante raddrizzata sulla griglia della convertitrice, misurata al punto «P.C.», deve essere superiore a  $1,8 \text{ V}$ .

#### Stabilità dell'oscillatore:

a) Deriva dell'oscillatore per variazioni della tensione di rete;

$\Delta f_{osc} = \pm 160 \text{ kHz}$  quando  $\Delta V_{b\text{ osc}} = \pm 10\%$  nella banda I

$\Delta f_{osc} = \pm 200 \text{ kHz}$  quando  $\Delta V_{b\text{ osc}} = \pm 10\%$  nella banda II

(la corrente di accensione dei filamenti può variare da  $+7\%$  a  $-7\%$ ).

b) Deriva dell'oscillatore per variazioni di temperatura:

dopo  $2'$  dall'accensione e fino a  $60'$  e con contemporaneo aumento di temperatura ambiente  $\Delta t = 35^\circ\text{C}$ .  $\Delta f_{osc} = 250 \text{ kHz}$ .

Questi dati si riferiscono a tutti i canali.

#### Reiezione della media frequenza:

nella banda I  $250 \text{ x}$

nella banda III  $1000 \text{ x}$ .

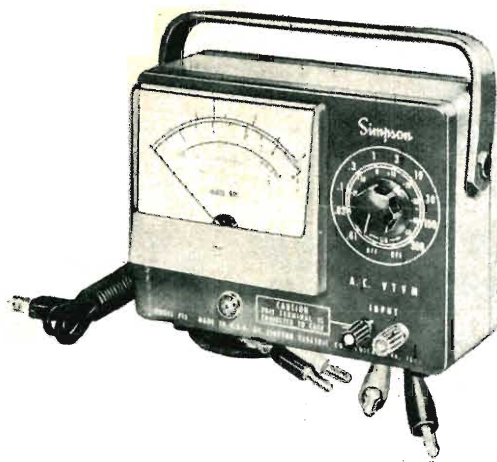
#### Reiezione della frequenza immagine:

nella banda I  $55 \text{ dB}$

nella banda III  $60 \text{ dB}$ .

A.





La SIMPSON EL. Co. ha recentemente presentato un nuovo voltmetro elettronico capace di misurare tensioni sinusoidali da 0,2 mV a 300 V efficaci tra 10 Hz a 400 kHz. L'impedenza d'ingresso è almeno 1 MΩ a 1000 Hz. L'incertezza di misura è del  $\pm 5\%$ . È il mod. 715.

## Un programma di ricerche per realizzare la pila a combustione

Ha avuto inizio presso l'Istituto Battelle, a Columbus (Ohio), un programma di ricerche a lungo termine per lo sviluppo della tecnologia delle pile a combustibile. Il programma è finanziato congiuntamente da 25 grandi Società americane ed europee del settore del petrolio, della chimica, delle costruzioni meccaniche e dei trasporti.

Questa ricerca, di carattere fondamentale, la cui durata è per ora prevista in 5 anni, è destinata a completare gli studi in corso, sia nei laboratori industriali come in quelli universitari, sulla tecnica delle pile a combustibile. Secondo quanto ha dichiarato il Dott. John McCallum, direttore del programma, « sarà necessario compiere tutta una serie di invenzioni e di innovazioni e superare numerosi ostacoli, prima di giungere a concretare le possibilità della pila a combustibile come sorgente di energia per le auto, il riscaldamento e la refrigerazione degli immobili e per i procedimenti industriali. L'Istituto Battelle spera di poter apportare il suo contributo a questo lavoro di scoperta grazie alle molteplici competenze dei suoi collaboratori scientifici ».

La pila a combustione (apparecchio elettro-chimico ideato per convertire direttamente l'energia chimica in energia elettrica) è stato spesso comparato a un accumulatore o ad una pila a secco. La pila a combustione produce, come un accumulatore nel senso che la pila funziona come un motore e continua a produrre elettricità per tutto il tempo in cui si aggiunge del combustibile. Un accumulatore convenzionale, che dipende unicamente da alcune reazioni chimiche, deve essere ricaricato dall'elettricità, perché si esaurisce.

La pila a combustibile funziona senza interruzione. Ma questo non è che uno dei numerosi vantaggi di questa nuova forma di energia. Il vantaggio maggiore è il considerevole rendimento che si ottiene dalla trasformazione del combustibile in energia. È stato registrato, per pile a combustione sperimentali, un rendimento del 75% contro il 40% delle turbine a vapore, il 35% dei Diesel ed il 25% dei motori ad esplosione. La pila a combustibile presenta, inoltre, un rapporto tra energia e peso molto interessante. Dato che essa non contiene elementi mobili, non comporta nemmeno complicazioni nel concetto costruttivo e può essere concepita in modo da poter rispondere a condizioni molto diverse di forma e di ingombro. Le spese di manutenzione sono minime. La pila a combustione funziona senza rumore e non presenta problemi importanti per quanto riguarda i residui della combustione.

Fino ad ora l'attenzione è stata concentrata su pile nelle quali si utilizza l'idrogeno come combustibile, ma i ricercatori sono convinti che si possono costruire delle pile funzionanti con altri combustibili e particolarmente con i prodotti del petrolio. Secondo il Dott. McCallum, « i vantaggi della pila a combustibile come sorgente di energia sono divenuti molto evidenti ed incoraggianti, sia per gli scienziati che per gli industriali ». In questi ultimi anni sono stati compiuti, in diversi Paesi, grandi sforzi di ricerca in questo campo. Numerose personalità sono convinte che nei prossimi dieci anni verranno introdotte delle piccole pile a combustibile destinate a scopi speciali, particolarmente di carattere militare. Tuttavia, sarà necessario compiere ulteriori progressi e rispondere a un certo numero di questioni complesse prima di avere una realizzazione su vasta scala di questa invenzione rivoluzionaria. I lavori dell'Istituto Battelle sulla pila a combustibile sono destinati, per la maggior parte, ad approfondire le conoscenze sulle proprietà dei materiali richiesti per la costruzione di questa pila ed a ottenere dei materiali per così dire ideali.

Una possibilità di migliorare i materiali della pila a combustibile che l'Istituto Battelle ha intenzione di studiare, deve scaturire dallo studio delle strutture elettroniche interne delle leghe. I ricercatori pensano di poter ottenere da questi studi risultati tali da metterli in condizione di realizzare una nuova lega per elettrodi di pila, « dotati di proprietà elettriche ed elettrochimiche uniche ».

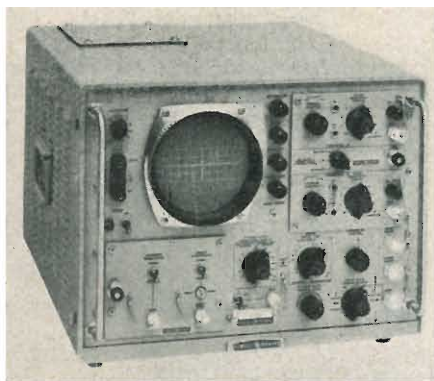
Un'altra ricerca che sarà compiuta dall'Istituto Battelle è quella dello studio dei sottili film metallici, in quanto è stato rilevato che lo spessore dei film influenza in considerevole misura le loro proprietà. Ora, una migliore conoscenza di queste proprietà potrebbe essere un fattore preponderante nella scelta della combinazione di materiali che permetterà di costruire la più efficace pila a combustibile.

Altre fasi di questo programma di ricerca prevedono lo studio di elettroni di carbone attivo rivestiti di una superficie di metallo e l'utilizzazione di tecniche nuove di placcatura per applicare superfici metalliche porose agli elettrodi « elettroformati ».

Contemporaneamente allo svolgimento di questo lavoro sperimentale, l'Istituto Battelle si propone di riunire e di analizzare man mano i nuovi dati sulle pile a combustibile, allo scopo di farne beneficiare le Società associate al programma di ricerca.

Questo programma sulle pile a combustibile porrà in attività tutta la competenza e l'esperienza di chimici, di ingegneri-chimici, di costruttori, di matematici, di studiosi di metallurgia e di fisici dell'Istituto.

(i.s.)



Per esigenze militari la HEWLETT-PACKARD ha posto in commercio un nuovo oscilloscopio (mod. 170A): esso soddisfa le norme MIL-E-16400 ed altre specifiche militari, per quanto riguarda resistenza ad urti, vibrazioni, umidità e temperatura.

# Uno sguardo alla tecnica TV tedesca

*Panorama del processo costruttivo dei televisori NORDMENDE nel quadro della produzione tedesca, in un rapido consuntivo dell'annata testè conclusa.*

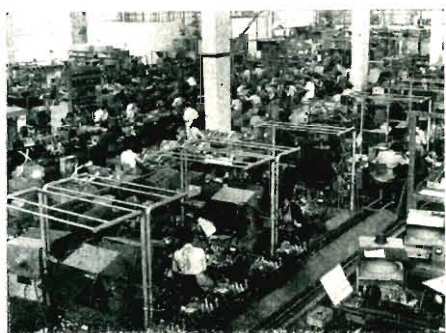


Fig. 1 - In primo piano i posti di collaudo dei pannelli unità a circuiti stampati.



Fig. 2 - Controllo e verifica dei telai senza tubi elettronici in una delle fabbriche della NORDMENDE.



Fig. 3 - Collaudo dei gruppi a radio frequenza per VHF.

**È** MOLTO interessante esaminare, sotto il profilo delle svariate esigenze tecnico-commerciali imposte dal mercato comune europeo, le caratteristiche dell'attuale produzione TV nella Germania Occidentale.

Un aspetto molto singolare di questa produzione è costituito da una continua ricerca di perfezionamenti tecnici che pongono oggi il televisore tedesco fra i più raffinati del mondo.

Alcuni di tali perfezionamenti rappresentano un reale progresso apportato all'uso corrente del televisore da parte del teleutente facilitandone grandemente l'uso ed assicurando automaticamente la migliore qualità visiva e sonora. Tal'altro invece rappresenta forse un motivo di propaganda commerciale, pur essendo sempre utile se non proprio necessario ad una buona e confortevole ricezione televisiva.

Fra i vari perfezionamenti tecnici sopracennati, spiccano alcuni dispositivi circuitati atti ad assicurare automaticamente:

- a) la sintonizzazione precisa video-audio sia nella gamma VHF (1° programma) che nella gamma UHF (2° programma)
  - b) la stabilizzazione delle dimensioni orizzontale e verticale del quadro-immagine, al variare della tensione d'alimentazione;
  - c) la stabilizzazione della frequenza degli oscillatori di riga e di quadro;
  - d) l'adattamento del contrasto e luminosità dell'immagine al variare delle condizioni di illuminazione ambientale.
- Inoltre, a prescindere dai progressi tecnici ora accennati, l'attuale produzione tedesca è caratterizzata da un forte aumento del numero dei televisori costruiti giornalmente sino a raggiungere cifre veramente impressionanti.

Per renderci esatto conto di questa interessante situazione, abbiamo effettuato in questi giorni una visita ad una delle maggiori fabbriche Radio TV, la NORDMENDE.

Le due fabbriche della NORDMENDE sorgono nei pressi della storica città anseatica di Brema, su una superficie di circa 70.000 metri quadrati. In una di tali fabbriche si riproducono i radioricevitori a valvole ed a transistori, com-

plexi radiofonografici, registratori e strumenti di misura: ospita inoltre un complesso di laboratori industriali e di ricerca veramente cospicuo. La seconda fabbrica di più recente costruzione è interamente dedicata alla produzione dei televisori. Trattasi di un immenso fabbricato ad un solo piano, con copertura a *shed*, delle dimensioni di 200 × 60 metri.

In esso, su 3 linee di montaggio si svolge tutto il processo costruttivo dei televisori NORDMENDE sino all'ultima fase dell'imballo, immagazzinaggio e spedizione.

I vari pannelli dei circuiti stampati che compongono gli chassis dei vari tipi di televisori vengono dopo la confezione e saldatura ed immersione, trasferiti in modo continuo per tramite di una vasta rete di trasporti meccanici aerei agli operai lungo le linee di montaggio.

Prima di tale trasferimento al montaggio, tutti i pannellini a circuito stampato però passano singolarmente attraverso i vari posti di controllo taratura e collaudo.

Lungo le linee di montaggio gli chassis si completano via via di tutti gli elementi componenti, e dopo essere stati sottoposti a varie prove elettriche circuitali, vengono muniti di valvole, per passare poi ai collaudi totali elettrici e di qualità. Tutti i televisori prodotti sono già completi per la ricezione del 3° programma TV in UHF. Il ritmo di produzione di questo imponente complesso industriale è veramente impressionante: basti pensare che la produzione giornaliera attuale è di 1300 televisori e 2500 radioricevitori (60% a valvole e 40% a transistori).

Nel complesso dei due stabilimenti NORDMENDE lavorano circa 4500 persone. Prima di concludere questa rapida visita di una delle maggiori industrie tedesche del settore Radio TV, sarà bene conoscere alcune cifre relative alla produzione tedesca in tale settore nello scorso anno 1960. Sono stati prodotti oltre 2 milioni di televisori e più di 3 milioni di radioricevitori: circa il 20% in più del 1959.

Il consumo interno assorbe il 60 ÷ 65% della produzione: il 35 ÷ 40% viene esportato all'estero.

A.

dott. ing. Alberto Ricciardi

# Nota sull'impiego dei raddrizzatori al silicio

*Questa nota ha lo scopo di riunire alcune osservazioni relative al corretto impiego dei diodi al silicio, e presentare dei diagrammi che possano facilitare il compito del progettista nel dimensionamento circuitale.*

*Verrà esaminato il caso di rettificatore a singolo diodo, potendosi estendere facilmente la trattazione, e l'uso delle curve al caso di circuiti a più diodi.*

*Verrà riportato il grafico della corrente raddrizzata in funzione dell'angolo di circolazione, o del « duty cycle » alle temperature di 50° 75° 100° C relative al diodo al silicio SGS classe 1S1690 (equivalente alla analoga classe General Electric Co. 1N1690). Verrà anche indicato il procedimento di verifica per due casi pratici di sollecitazione del diodo.*

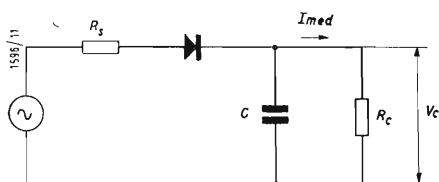


Fig. 1 - Schema di impiego del raddrizzatore.

## 1. - FORME D'ONDA SPERIMENTALI NEI CIRCUITI A RADDRIZZATORE SINGOLO

Prima di procedere all'analisi matematica delle grandezze elettriche, è necessario premettere alcune considerazioni.

Lo schema di impiego del raddrizzatore (fig. 1) comporta quasi sempre la presenza dei due componenti  $R_s$  e  $C$ .  $R_s$  è una resistenza che ha il compito di limitare la corrente di picco all'atto della chiusura del circuito, quando il condensatore  $C$  è scarico; inizialmente il condensatore si comporta come un corto circuito. Ne risulta che la corrente circolante nel diodo è limitata dalla sola  $R_s$  nella ipotesi che il generatore c.a. abbia impedenza nulla.

La funzione del condensatore è ovviamente quella di ridurre il ripple sul carico.

Esaminando all'oscilloscopio le varie forme d'onda (fig. 2) si vede che per una frazione molto piccola del periodo (angolo  $2\alpha$ ) la tensione ai capi del diodo è tale da permettere il passaggio di corrente, la cui forma a tipo di guizzo è limitata perciò all'angolo  $2\alpha$  con un valore di cresta che dipende dal valore di picco della tensione alternata, dal valore di carico  $R_c$  dal valore di  $R_s$  e dal valore di  $C$ .

Va notato ancora una volta l'effetto limitatore della  $R_s$  sul valore della corrente di picco ricorrente.

## 2. - ANALISI TEORICA DELLE FORME D'ONDA

Per poter svolgere una trattazione sen-

za eccessive complicazioni di calcolo si è fatta la ipotesi che la capacità  $C$  sia infinita e la caduta diretta del diodo uguale a zero. In tali ipotesi (fig. 3) il ripple sul carico è zero (la tensione c.c. è costante); il valore di picco della tensione alternata meno la tensione sul carico  $V_c$  diviso la  $R_s$  dà il valore della corrente di picco nel diodo; la forma di onda della corrente è quella di una porzione di cosinusoide ristretta all'angolo  $-\alpha + \alpha$ , meno un valore costante pari all'altezza della cosinusoide in corrispondenza dell'angolo  $\alpha$ ; il valore medio della corrente è quello circolante nel carico pari alla tensione  $V_c$  diviso  $R_c$ . Con questi dati è possibile svolgere una trattazione analitica e ricavare due curve. La prima (fig. 4), relativa alla espressione

$$\operatorname{tg} \alpha - \alpha = \rho = \frac{R_s}{R_c}$$

dà l'angolo di circolazione  $2\alpha$  in funzione del rapporto  $R_s/R_c$ .

La seconda (fig. 5) relativa alla espressione

$$\frac{(1 - \cos \alpha) \pi}{\sin \alpha - \alpha \cos \alpha} = j = \frac{I_p}{I_{med}}$$

dà il rapporto tra la corrente di picco e la corrente media in funzione dell'angolo di circolazione  $2\alpha$ .

Va notato che volendo verificare sperimentalmente le curve, è necessario compendiare nella  $R_s$  anche la resistenza eventuale del generatore c.a. nonché la resistenza differenziale diretta del diodo (generalmente trascurabile). Come verrà dimostrato in seguito, la caratteristica del diodo si può

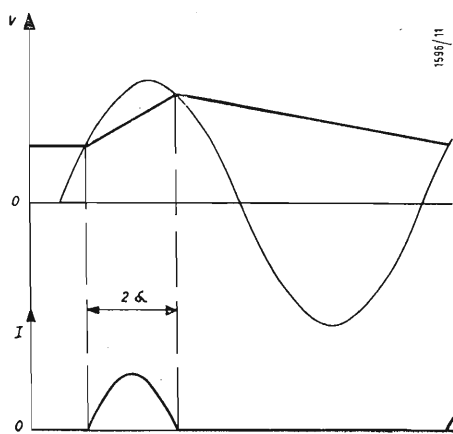


Fig. 2 - Esame delle forme d'onda.



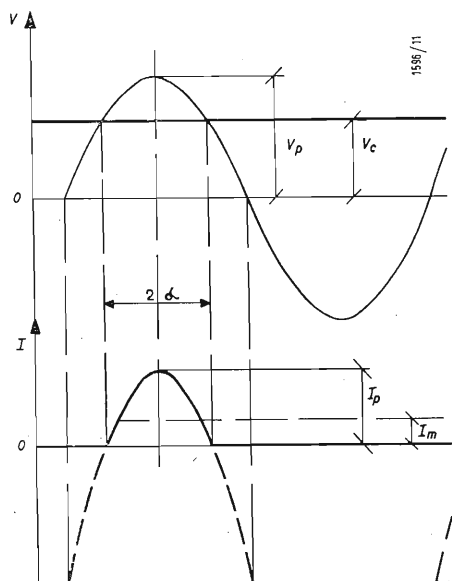


Fig. 3 - Analisi teorica delle forme d'onda con varie ipotesi semplificative.

assimilare ad una spezzata tipica di un utilizzatore di f.c.e.m.  $V_o$  e resistenza interna  $R_d$ . La f.c.e.m.  $V_o$  andrebbe dedotta dalla  $V_c$  sul carico. Essendo però alcuni percento della  $V_o$  può essere trascurata senza errore apprezzabile.

Si è verificato sperimentalmente che la posizione di capacità infinita è molto meno restrittiva di quanto sembri a prima vista; infatti purché la capacità sia superiore ad un valore minimo (condizione rispettata praticamente per contenere il ripple) l'angolo di circolazione e il valore di picco non variano al crescere di  $C$ .

### 3. - POTENZA DISSIPATA NEI DIODI

Appurato l'andamento della f.d.o. della corrente è necessario approssimare la caratteristica del diodo per poter calcolare la dissipazione in esso. È chiaro che la dissipazione costituisce una caratteristica di impiego dato che l'innalzamento di temperatura conseguente deve venire contenuto per non avere alterazioni nella struttura del diodo. Per le pratiche applicazioni prenderemo in esame la sola potenza media, ritenendo non nocive le oscillazioni perio-

diche della temperatura del diodo dovute alla f.d.o. della corrente.

Come risulta dal grafico fig. 6, prendendo in esame la caratteristica tipica di un diodo al silicio, si vede che entro un certo campo tale caratteristica è sufficientemente approssimata a quella di una spezzata. Precisamente si può scrivere che la caduta in diretta è la somma di un termine costante e di un termine proporzionale alla corrente.

Chiameremo  $V_o$  la parte costante e  $R_d$  il fattore moltiplicativo della corrente. Allo scopo di eseguire utili confronti ricaveremo dapprima il valore della dissipazione nel caso di carico puramente resistivo quando la f.d.o. della corrente è a forma di semisinusoide e il valore della dissipazione nel caso che la f.d.o. della corrente sia di forma im-

pulsiva con un duty cycle  $\frac{\tau}{T}$ .

Per il caso di carico puramente resistivo avremo (fig. 7):

$$P_d = V_o I_{med} + R_d \frac{\pi^2}{4} I_{med}^2$$

Per il caso di f.d.o. impulsiva (fig. 8):

$$P_d = V_o I_{med} + \frac{T}{\tau} R_d I_{med}^2$$

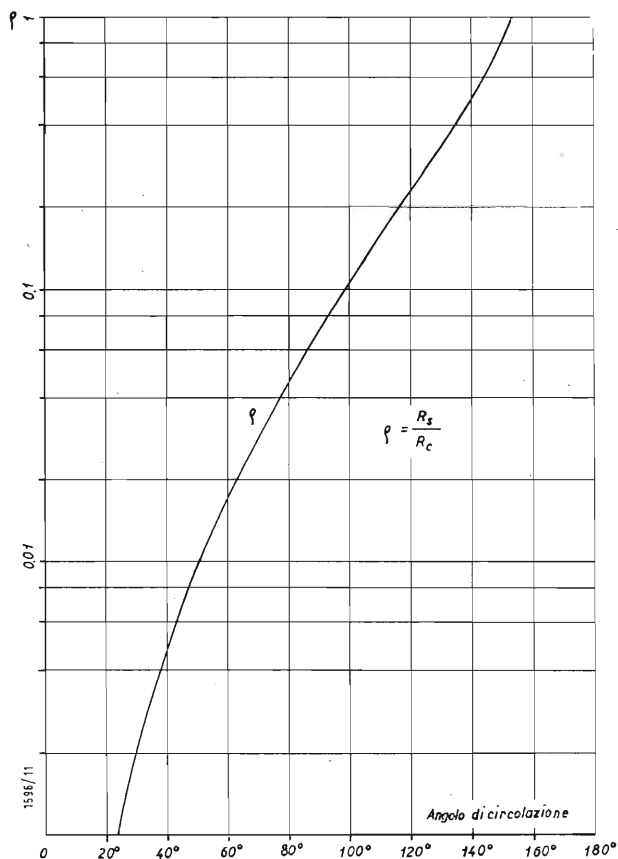


Fig. 4 - Angolo di circolazione in funzione del rapporto  $R_s/R_c$ .

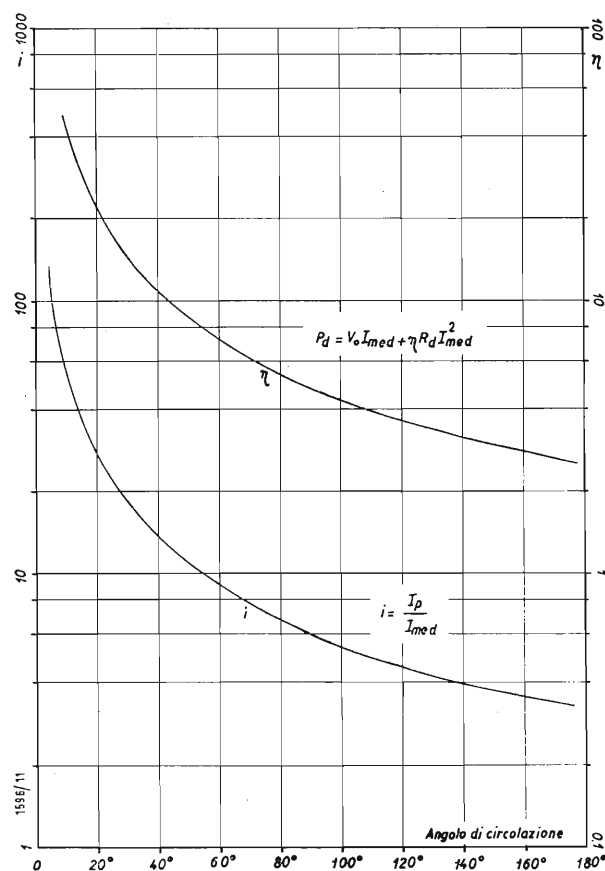


Fig. 5 - Rapporto tra corrente di picco e corrente media in funzione dell'angolo di circolazione.

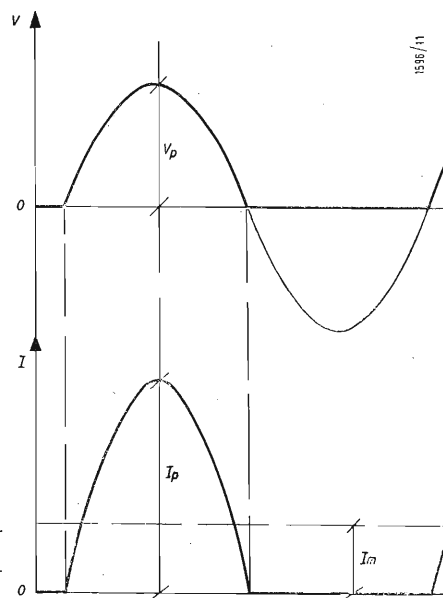
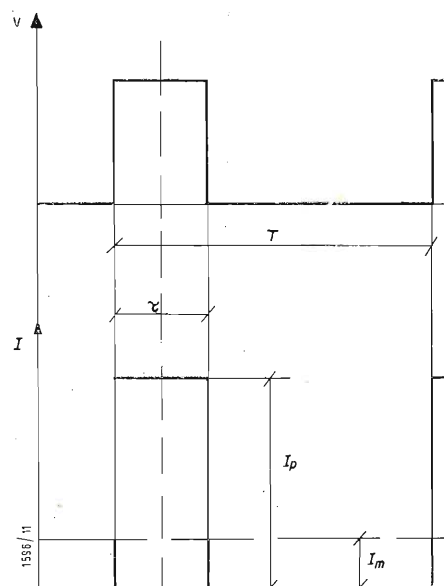


Fig. 7 - Forme d'onda per il caso di carico puramente resistivo.

Fig. 8 - Forme d'onda per il caso di regime impulsivo con un duty cycle  $\tau/T$ .



Per il caso di capacità infinita e angolo di circolazione  $2\alpha$  (fig. 3):

$$P_d = V_o I_{med} +$$

$$R_d I_{med}^2 \frac{\pi}{2} \frac{3(a - \operatorname{tg} \alpha) + a \operatorname{tg}^2 \alpha}{(a - \operatorname{tg} \alpha)^2}$$

In ogni espressione  $P_d$  è la potenza dissipata media e  $I_{med}$  la corrente media entrambe riferite al periodo.

Come si nota la dissipazione è costituita sempre da due termini, uno  $V_o \cdot I_{med}$  proporzionale alla  $I_{med}$  (per solito preponderante) ed un altro  $R_d I_{med}^2 \eta$  proporzionale alla  $I_{med}^2$  in cui  $\eta$  a seconda dei casi è

$$\frac{\pi^2}{4}, \frac{T}{\tau}, \text{ oppure}$$

$$\frac{\pi}{2} \frac{3(a - \operatorname{tg} \alpha) + a \operatorname{tg}^2 \alpha}{(a - \operatorname{tg} \alpha)^2}$$

Va notato che  $\eta$  del terzo caso tende a

$$\frac{\pi^2}{4} \text{ al tendere di } \alpha \text{ a } 90^\circ \text{ (angolo di cir-}$$

colazione  $180^\circ$ ).

Alle curve precedenti si può aggiungere un'altra curva  $\eta$  in funzione dell'angolo di circolazione, che dà il fattore moltiplicativo del termine  $I_{med}^2 R_d$  della dissipazione (fig. 5).

Si noti che essendo l'espressione del secondo termine dissipativo del tutto generale, è possibile con la stessa formula e lo stesso valore di  $\eta$  calcolare la dissipazione in  $R_s$  purché ad  $R_d$  si sostituisca  $R_s$ .

#### 4. - ESEMPI DI IMPIEGO

Per chiarire il modo di impiego delle curve, ripartiamo il calcolo delle grandezze elettriche in un circuito impiccante un diodo al silicio SGS della classe 1690 equivalente alla classe G.E.Co. 1N1690 per cui (fig. 6) vale la seguente approssimazione nel campo da 1 a 7 A:

$$V_o = 0,86 \text{ V}$$

$$R_d = 0,69 \Omega$$

Sia dato il circuito di impiego con i valori delle grandezze elettriche riportati (fig. 9). Il rapporto  $R_s/R_c$  risulta 0,036. L'angolo di circolazione teorico è  $75^\circ$  e il rapporto  $j = 7,2$  da cui  $I_p = 3,25 \text{ A}$ . I valori misurati dall'oscilloscopio dan-

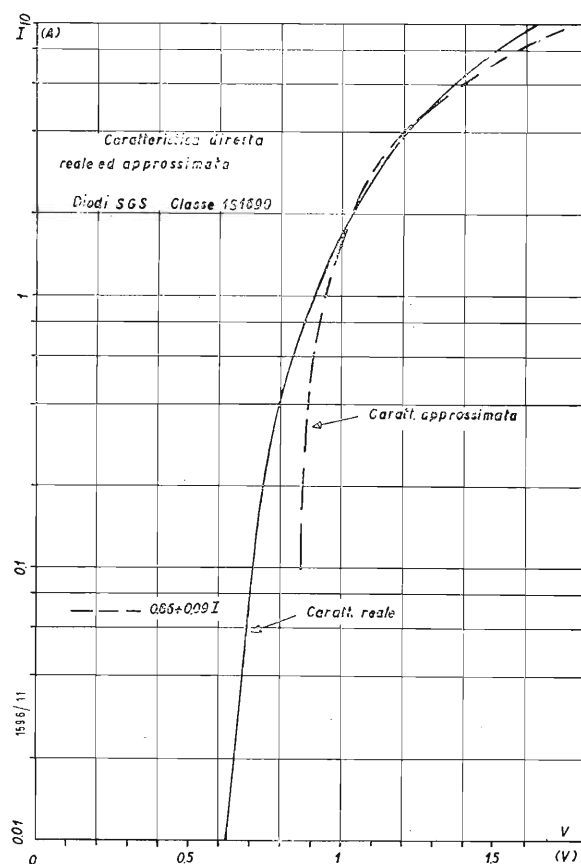


Fig. 6 - Caratteristica tipica reale ed approssimata di un diodo al silicio.

Nella pagina 31, da sinistra a destra:

Fig. 10 - Corrente raddrizzata in un diodo al silicio in funzione dell'angolo di circolazione.

Fig. 11 - Corrente raddrizzata in un diodo al silicio in funzione del duty cycle.

Tab. 1. - Caratteristiche di un gruppo di raddrizzatori al silicio SGS.

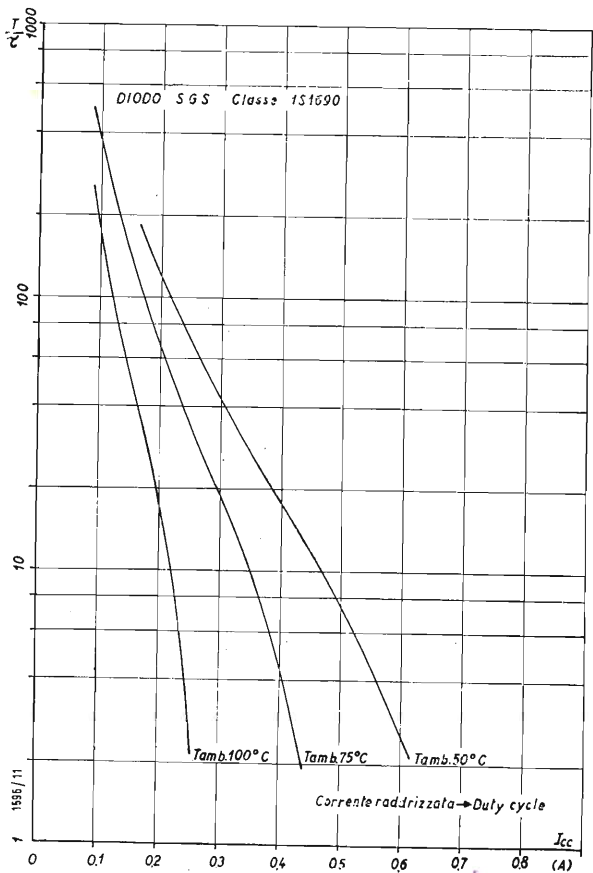
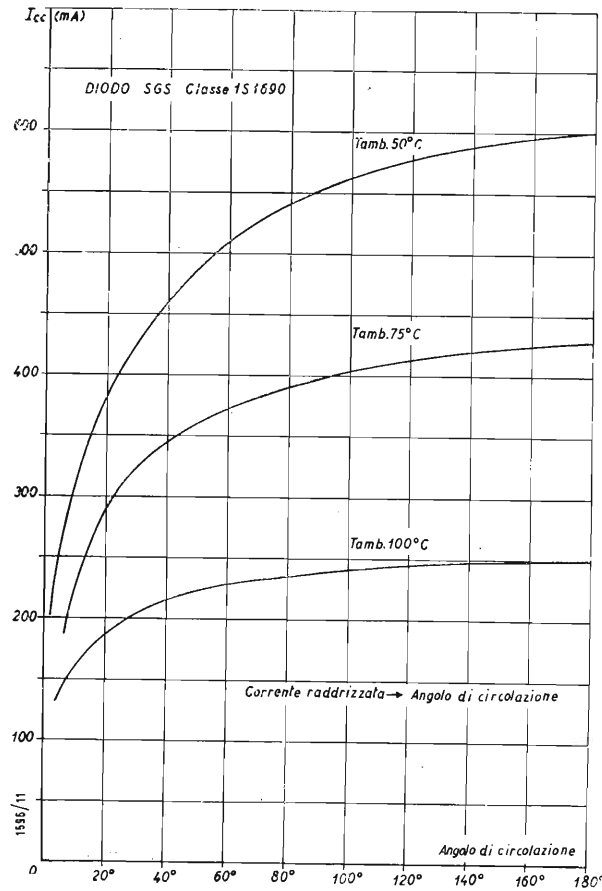
		1S1691	1S1692	1S1693	1S1694	1S1695	1S1696	1S1697	1S1699	1S1700	
tensione inversa di picco	$-V_{EM}$	50	100	200	300	400	500	600	800	1000	V
corrente raddrizzata a 50 °C	$I_D$	600	600	600	600	600	600	600	450	450	mA
corrente raddrizzata a 100 °C	$I_D$	250	250	250	250	250	250	250	200	200	mA
corrente di picco	$I_{DM}$	2	2	2	2	2	2	2	2	2	A
corrente istantanea (1 ciclo)	$I_{JS}$	20	20	20	20	20	20	20	20	20	A
temperatura di funzionamento	$T_a$	115	115	115	115	115	115	115	115	115	°C
max caduta di tens. a pieno carico a 100 °C	$V_D$	0.6	0.6	0.6	0.6	0.6	0.6	0.6	0.6	0.6	V
max corr. inv. alla max tensione inv. a 100 °C	$I_D$	0.5	0.5	0.5	0.5	0.5	0.5	0.5	0.5	0.5	mA

no:  $2\alpha = 76^\circ$ ;  $I_p = 3,2$  A in ottimo accordo con i dati teorici.  
La dissipazione per tale caso risulta:  
 $P = 0,86 \cdot 0,450 + 0,09 \cdot 0,45^2 \cdot 5,7 = 0,386 + 0,104 = 0,590$  W essendo  $\eta = 5,7$  per  $75^\circ$ .  
La potenza dissipata nei 10  $\Omega$  risulta  $P_{Rs} = 10 \cdot 0,45^2 \cdot 5,7 = 11,5$  W.

Per l'altro caso di forma impulsiva se si immagina che nel diodo passi una corrente di 7 A, per la durata di 1 msec in modo da avere una corrente media di 0,35 A e un *duty cycle* di 20/1, risulta una potenza di  $P_d = 0,55 \cdot 0,86 + 20 \cdot 0,35^2 \cdot 0,09 = 0,3 + 0,22 = 0,52$  W essendo  $\eta = T/\tau = 20$ .

5. - DISSIPAZIONE LIMITE PER L'IMPIEGO

Per stabilire ora i limiti di dissipazione, si è preso come valore massimo dissipativo quello corrispondente alla condizione indicata di 0,6 A medi a  $50^\circ$ , 0,425 A medi a  $75^\circ$ , e 0,25 A a  $100^\circ$  di





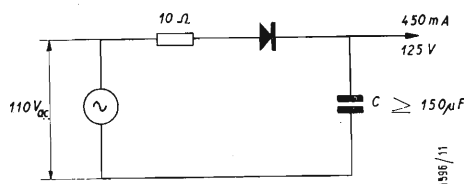


Fig. 9 - Circuito tipico d'impiego.

temperatura ambiente su carico resistivo.

Considerando che  $\eta$  in tali condizioni è  $\pi^2/4$  si ha un valore di  $P_d$  rispettivamente di 0,6 W, 0,4 W, 0,23 W.

Essendo la resistenza termica  $140^\circ/\text{W}$  e ammettendo che la giunzione lavori a  $150^\circ$  ne risulta un margine di potenza da dissipare rispettivamente di 0,11 W, 0,13 W, 0,07 W.

Poiché la potenza dissipata in inversa durante il periodo di non conduzione si aggira sui 30 mW, ci sono circa 40 mW di guardia.

Accettando comunque i limiti di dissipazione di 0,6, 0,4 e 0,23 W per le temperature di  $50^\circ$ ,  $75^\circ$  e  $100^\circ$  di ambiente, sono state ricavate le curve di massima

corrente raddrizzata in funzione dello angolo di circolazione (fig. 10) e del *duty cycle* (fig. 11).

Va sottolineato che i dati limite per la classe esaminata, e cioè 2 A di picco su carico resistivo e 0,35 A medi su carico capacitivo a  $50^\circ$  C possono entrambi essere superati notevolmente in condizioni di carico misto (come normalmente avviene) senza alcun danno al diodo, purché sia contenuta la dissipazione. Il valore medio della corrente deve, cioè essere inferiore o al massimo eguale a quello letto sulle curve di fig. 10 o fig. 11, in corrispondenza dell'angolo di circolazione o del *duty cycle* che si riscontra nel circuito.

A.

## Isolamento di cavi telefonici con polietilene

La S.A.T. (SOCIÉTÉ ANONYME DE TÉLÉCOMMUNICATIONS) ha realizzato un nuovo procedimento per l'isolamento di cavi telefonici, basato sull'utilizzazione di un tubo cavo di polietilene, detto isolazione tubolare «ballon». Il cavo Marsiglia-Tolone delle Poste e telecomunicazioni contiene delle coppie coassiali a lunga distanza di piccolo ingombro (1,18/4,43 mm) isolate con questo procedimento; altre applicazioni concernono cavi per miniera, circuiti simmetrici (coppie per trasmissione di programmi televisivi), ecc.

(p.n.i.)

## Nuovo tubo a raggi catodici

La RAYTHEON presenta il mod. CK1362, un nuovo tubo a raggi catodici, che permette di osservare un segnale oscillografico fino a due ore dopo la sua registrazione, per una durata totale di osservazione di 1 min. Il segnale viene immagazzinato dal fosforo dello schermo e può essere visualizzato eccitandolo con dell'energia infrarossa. Con la stessa energia si può procedere alla cancellazione rapida del segnale.

(g.b.)

## Tre nuovi modelli di radioriceventi transistorizzati

La SOCIETÀ RADIOMARELLI, concessionaria esclusiva della FABBRICA ITALIANA MAGNETI MARELLI, presenta una serie di tre nuovi modelli di apparecchi radioriceventi transistorizzati.

Il modello denominato Rd.301, alle ridotte dimensioni accoppia una elevata sensibilità nella gamma Onde Medie. Munito di una maniglia, che agevola il trasporto ed assicura l'appoggio, impiega 6 transistori, due dei quali costituiscono lo stadio finale di BF accoppiato senza trasformatore ad uno speciale altoparlante; questa soluzione permette di ottenere una potenza indistorta e una riproduzione acustica eccezionale in apparecchi di questo tipo.

Il modello denominato Rd.303 è una elegante versione sopramobile, è munito di scala lineare con comando di sintonia demoltiplicato. Dispone di due altoparlanti, cosa che unitamente alla potenza elettrica di uscita, circa doppia rispetto a quella dell'Rd.301, gli assicura una intensità di suono confrontabile con quella di sopramobili a valvola di ridotte dimensioni facendone un loro valido sostituto.

Il modello denominato Rd.302 è un personale a valigetta di medio formato in materia plastica con finiture in metallo.

L'impiego di 8 transistori, di uno stadio di preselezione accordato in Media Frequenza, di un altoparlante ellittico speciale di dimensioni relativamente grandi ed una potenza elettrica di uscita di circa 400 mW, conferiscono all'apparecchio caratteristiche di sensibilità, intensità e qualità di suono che ne assicurano le prestazioni anche in località di difficile ricezione e in luoghi aperti, facendone il classico radioricevitore compagno di gita.

L'alimentazione di tutti questi apparecchi è ottenuta con normali pile a torcia, diametro 25 mm, la cui durata media è di almeno 150 ore con un certo orario confrontabile a quello di un normale apparecchio OM a 5 valvole.

In tutti i modelli la sostituzione delle pile non esige l'apertura dell'involucro con cacciavite o altri strumenti, ma si ottiene in maniera semplicissima con la sola pressione delle dita; aprendo una opportuna finestra rende accessibile il vano contenitore delle pile.

(p.n.i.)

dott. ing. Giuseppe Checchinato

# Nuovi tubi multipli: i compactron

*Una nuova serie di valvole multifunzioni studiate dalla General Electric Co., che offrono le possibilità di una notevole riduzione delle dimensioni e dei costi delle apparecchiature elettroniche, sono apparse recentemente sul mercato nordamericano.*



Ben 5 valvole miniatura possono essere sostituite da 2 soli compactron.

IL NUOVO COMPONENTE elettronico chiamato «compactron» è essenzialmente formato dal raggruppamento in un'unica ampolla di più funzioni valvolari o di elementi semiconduttori.

La GENERAL ELECTRIC Co. ha recentemente costruito un modellino di radio equipaggiato con due compactron avente le seguenti dimensioni:  $63 \times 63 \times 270$  mm, nel quale però la larghezza di 270 mm è determinata solo dalle dimensioni dell'altoparlante.

I miglioramenti che si potranno apportare agli apparecchi elettronici con i compactron finora studiati sono i seguenti:

Un ricevitore televisivo con 10 compactron potrà sostituire un ricevitore con 15 valvole e tre diodi oppure con 24 transistori e 11 diodi, un autoradio con due compactron potrà mandare in obsolescenza gli attuali autoradio a quattro valvole, un amplificatore alta fedeltà con quattro compactron invece che con 6 valvole od 11 transistori.

I modelli di compactron finora realizzati sono i seguenti (fra parentesi sono indicate le valvole sostituite).

Per i ricevitori radio da tavolo:

1. Oscillatore-convertitore-amplificatore di MF (12BA6, 12BE6);
2. Rivelatore-amplificatore bassa frequenza-amplificatore finale (35W4, 50C5, 12AV6);

Per i ricevitori televisivi:

1. Oscillatore orizzontale-controllo automatico di frequenza (6CG7, 6AL5);
2. Diodo di smorzamento orizzontale (6AX4GTB);
3. Amplificatore ed oscillatore di deflessione verticale (6DN7);
4. Amplificatore di deflessione orizzontale (6DQ6B).

La GENERAL ELECTRIC Co. ha in pro-

gramma di aumentare nei prossimi mesi la propria serie di compactron includendovi altri nove nuovi tipi. Delle previsioni a lungo termine dicono che la serie completa potrà comprendere da 75 a 100 elementi.

I tipi di compactron, la cui produzione è già programmata negli stabilimenti di Owensboro, hanno 12 piedini compresi in un cerchio di 0,75 pollici, l'ampolla ha la forma di duomo e viene vuotata dal basso. Il diametro dell'ampolla è circa  $1' \frac{1}{8}$  e l'altezza può variare da  $1'$  a  $2' \frac{3}{4}$ .

Si sono scelti 12 piedini per potere comprendere più funzioni in un'unica valvola, essi sono sufficientemente distanziati per renderli facilmente accessibili e per ridurre le interazioni fra i vari conduttori.

Nella progettazione dei compactron si è tenuto conto degli ultimi sviluppi della tecnica metallurgica soprattutto per quanto riguarda il comportamento al calore.

Nei compactron si usa per esempio un nuovo materiale per gli anodi che permette di ridurre di più del 50% la potenza di riscaldamento richiesta dal catodo. Un altro miglioramento è costituito da un materiale di ricoprimento che migliora sia la resistenza meccanica che il rendimento termico del catodo.

Il diametro relativamente largo del cerchio dei 12 piedini si adatta bene anche ai circuiti stampati e permette un adeguato isolamento delle placche ad alta tensione. Poiché ai lati della placca ci sono di solito due piedini vuoti si può raggiungere una rigidità elettrica in corrente continua di 10.000 V.

L'impiego di un unico filamento per tutte le funzioni, che può quindi riscaldare anche tre catodi separati, permette di eliminare quattro piedini

e quattro saldature, riducendo i costi di produzione ed aumentando la sicurezza di funzionamento. Il filamento unico non è una novità però questa è la prima volta che elementi con tre funzioni di riscaldamento vengono combinati in una unità.

Si prevede di costruire anche dei compactron a funzione unica per televisione in sostituzione di valvole normali a funzione unica, perché in televisione qualche valvola lavora in condizioni limiti di potenza e di tensione. I vantaggi dei compactron a funzione unica sono costituiti oltre che dalle migliori prestazioni anche dalle dimensioni ridotte che permetteranno di costruire dei ricevitori più compatti.

I prezzi dei compactron non sono ancora stati stabiliti si prevede però che già i primi tipi costeranno un po' meno delle valvole.

Eventuali miglioramenti dei processi di fabbricazione potranno portare il prezzo dei compactron, a parità di funzioni, ad una diminuzione del 20% rispetto alle valvole ed ad un prezzo molto minore di quello dei transistori.

Secondo la GENERAL ELECTRIC Co., i vantaggi che il consumatore potrà trarre dei compactron sono i seguenti:

- 1) Ricevitori radio da tavolo più compatti e con prestazioni non inferiori alle migliori attualmente raggiungibili.
2. Possibilità di acquistare ricevitori televisivi a compactron a prezzi inferiori agli attuali.

Il minor costo risulta dalla multifunzionalità dei compactron che riduce i costi di fabbricazione e montaggio.

3. Guasti meno frequenti e minori costi di riparazione, perché si ha un minor numero di componenti elettronici, aventi inoltre una maggiore efficienza e sicurezza di funzionamento (g.b.)

dott. ing. Giuseppe Baldan

# ECL86, nuovo tubo multiplo per bassa frequenza

*Nel presente articolo si descrive la nuova valvola multipla ECL86, studiata per essere impiegata come valvola finale sia negli apparecchi monofonici che in quelli stereofonici, si parla inoltre dei problemi che si sono dovuti risolvere durante la sua realizzazione. Le difficoltà principali presentate dalla nuova valvola consistono nella combinazione di un'alta sensibilità in entrata e di una grande potenza di uscita. In particolare si parla della interdipendenza fra le caratteristiche della valvola e la sicurezza contro l'autoeccitazione e della conseguente scelta dei valori di funzionamento del triodo e del pentodo. Si esamina infine il problema dell'emissione secondaria delle pareti interne dell'ampolla ed il problema costruttivo in particolare per quanto riguarda la microfonia e la riduzione delle capacità critiche.*

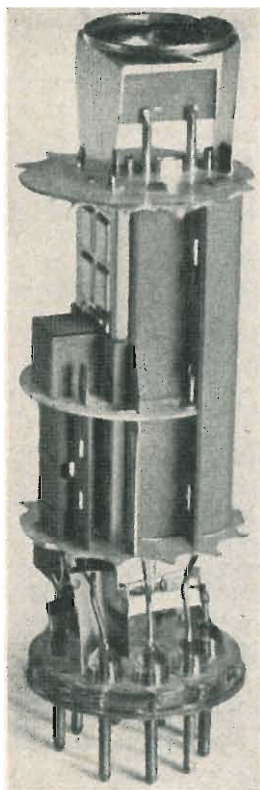


Fig. 1 - La valvola doppia ECL86. Il filo di collegamento della griglia del triodo (sistema più piccolo a sinistra) è schermato con un lamierino a U. Il cappuccio metallico posto a sinistra sopra la flangia di mica intermedia (flangia superiore per il triodo) serve a ridurre le capacità parassite fra i due sistemi e l'importanza della reazione attraverso l'emissione secondaria della parete interna dell'ampolla.

## 1. - SENSIBILITA' IN ENTRATA

Per gli apparecchi stereofonici ed anche per qualsiasi altra applicazione in bassa frequenza, una valvola multipla deve possedere una sensibilità in entrata ed una potenza in uscita maggiori di quelle dei noti tipi ECL80 ed ECL82. Considerata la minore tensione alternata in entrata disponibile nei sistemi stereofonici ed in base alla necessità di avere una sufficiente riserva di amplificazione e di potenza si rendeva necessario che la nuova valvola ECL86 soddisfacesse alle seguenti caratteristiche:

fattori importanti e precisamente:

- 1) Per mantenere sufficientemente alta la frequenza limite della valvola in entrata si dovrebbe abbassare il più possibile la sua amplificazione e conseguentemente aumentare quella della seconda valvola.
- 2) Il campo delle caratteristiche utilizzabili della seconda valvola per ottenere la massima regolazione diminuisce, a parità di superficie catodica, all'aumentare dell'amplificazione. Quindi per quanto riguarda il rendimento sarebbe conveniente tenere bassa l'amplifica-

	ECL80	ECL82	ECL86
$P_{a\ max}$	3,5 W	7 W	9 W
$V_{eT}$ per $P = 50\ mW$	$\geq 50\ mV$	$\geq 10\ mV$	$\geq 4\ mV$

Per avere un termine di confronto si sono riportati anche i dati delle ECL80 ed ECL82.

A causa dell'alta sensibilità in entrata e dell'alta amplificazione, nel suddividere quest'ultima fra le due valvole si deve tener conto oltre che della sicurezza contro l'autoeccitazione anche di due altri

zazione della seconda valvola ed alta quella della prima.

Nello studio e nella realizzazione si dovettero inoltre superare dei problemi, posti soprattutto dall'alta sensibilità in entrata, che normalmente non si presentano nemmeno o che hanno una importanza ridotta.



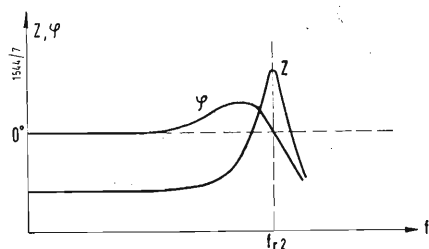


Fig. 2 - Andamento dell'impedenza in entrata  $Z$  e della fase  $\varphi$  di un trasformatore di uscita.

## 2. - CARATTERISTICHE DELLA VALVOLA E SICUREZZA CONTRO L'AUTOECCITAZIONE

È noto che nella VCL11, una vecchia valvola multipla presentante per i suoi tempi una alta amplificazione totale, si può aumentare la sicurezza contro l'autoeccitazione, inserendo un condensatore di controreazione fra lo anodo del pentodo e l'anodo del triodo. Questo sistema ha naturalmente come conseguenze una diminuzione della frequenza limite superiore. Il problema consiste quindi nel determinare i dati caratteristici delle valvole in modo da evitare l'autoeccitazione e da non rendere eccessivamente costosa la costruzione.

La soluzione di questo problema si può trovare solo esaminando molto da vicino le varie relazioni fra gli elementi in gioco. Qualsiasi trasformatore, anche se chiuso su un carico resistivo, ha una impedenza totale di entrata complessa, dovuta all'induttanza dispersa ed alla capacità propria dell'avvolgimento che si può immaginare come un circuito risonante parallelo. Naturalmente la frequenza di risonanza si trova al di sopra delle gamme da trasmettere.

Poiché l'impedenza in entrata del trasformatore rappresenta il carico dello amplificatore, ne deriva che l'amplificazione in funzione della frequenza seguirà l'andamento dell'impedenza, rappresentata nella fig. 2 assieme all'andamento della sua fase, e sarà massima per la frequenza di risonanza. Se quindi si farà in modo che la valvola sia sicura contro l'autoeccitazione per il caso della massima amplificazione, si potrà essere sicuri che essa lo sarà anche in tutto il campo di trasmissione.

Le due condizioni di partenza che ci serviranno per la determinazione delle caratteristiche delle valvole sono le seguenti:

- 1) Sicurezza contro l'autoeccitazione nel caso di massima amplificazione.
- 2) Bassa tensione in entrata  $V_{aT}$  per  $P = 50$  mW.

Dalla condizione della sicurezza contro l'autoeccitazione si ricava un valore limite per la pendenza del pentodo, una volta fissati gli altri dati caratteristici della valvola. Un altro valore della pendenza viene determinato in base alla sensibilità richiesta. Uguagliando questi due risultati si ricava il valore della resistenza interna del pentodo. Questo valore comprende però ancora il fattore di controreazione interno che si può calcolare servendosi del circuito equivalente rappresentanti gli elementi di divisione della tensione compresi fra anodo del pentodo e griglia del triodo. Le formule conseguenti che esprimono il valore della resistenza interna e della pendenza del pentodo possono venire semplificate, perchè, per quanto riguarda l'autoeccitazione, ci interessa solo il valore massimo dell'amplificazione che viene raggiunto nel punto di

risonanza del trasformatore di uscita. In queste condizioni il fattore di moltiplicazione  $x$  della resistenza di carico, dovuto all'impedenza complessa del trasformatore di uscita, diviene reale. Questo fatto è rappresentato dall'annullamento della fase  $\varphi$  dell'impedenza del trasformatore in corrispondenza della frequenza di risonanza. (fig. 2). Una ulteriore semplificazione di può infine introdurre considerando reale anche l'amplificazione del triodo, date le basse frequenze di cui stiamo parlando.

Si giunge in questo modo alle seguenti formule finali:

$$R_{iP} \cong R_{aP} \frac{A_P - \frac{C_{agT}}{C_{gTaP}}}{\frac{C_{agT}}{x \cdot C_{gTaP}} - A_P} \quad (1)$$

$$S_P = \frac{1}{R_{aP}} \cdot A_P \left( 1 + \frac{\frac{C_{agT}}{x \cdot C_{gTaP}} - A_P}{A_P - \frac{C_{agT}}{C_{gTaP}}} \right) \quad (2)$$

Nelle quali:

$A_P$  = amplificazione del pentodo;  $x$  = fattore di amplificazione dell'impedenza complessa del trasformatore, da non confondere con il fattore di trasformazione;  $S_P$  = pendenza statica del pentodo nel punto di lavoro;  $R_{iP}$  = resistenza interna del pentodo nel punto di lavoro;  $R_{aP}$  = resistenza di carico del pentodo;  $C_{gTaP}$  = capacità fra anodo del pentodo e griglia del triodo, comprese anche le capacità del circuito;  $C_{agT}$  = capacità fra anodo e griglia del triodo.

Con i valori di  $R_{iP}$  e di  $S_P$  determinati in base a queste relazioni si soddisfano ambedue le condizioni poste all'inizio: desiderata sensibilità per una determinata potenza in uscita e sicurezza contro l'autoeccitazione.

Se si trascura l'influenza delle semplificazioni, fatto, che del resto non hanno molta importanza nel caso in esame, si nota dalle relazioni che, a parità delle altre condizioni, la stabilità della valvola multipla non dipende dalla sensibilità totale, ma solo dall'amplificazione del pentodo.

Al fine di ottenere una sicurezza sufficientemente elevata per una data  $R_{aP}$  ed un dato  $x$  si possono adattare le seguenti avvertenze. Si deve scagliere:

- 1)  $A_P$  più bassa possibile, mantenendo naturalmente costante il prodotto  $A_P \times A_T$ .
- 2) Per una data  $A_P$  si deve scegliere un  $R_{iP}$  il più basso possibile per potere mantenere bassa l'amplificazione a vuoto del pentodo ( $S_P \cdot R_{iP}$ ).  $S_P$  deve essere naturalmente aumentato secondo la relazione (2).

- 3) Il rapporto  $\frac{C_{agT}}{C_{gTaP}}$  deve essere il più grande possibile, tuttavia  $C_{agT}$  deve

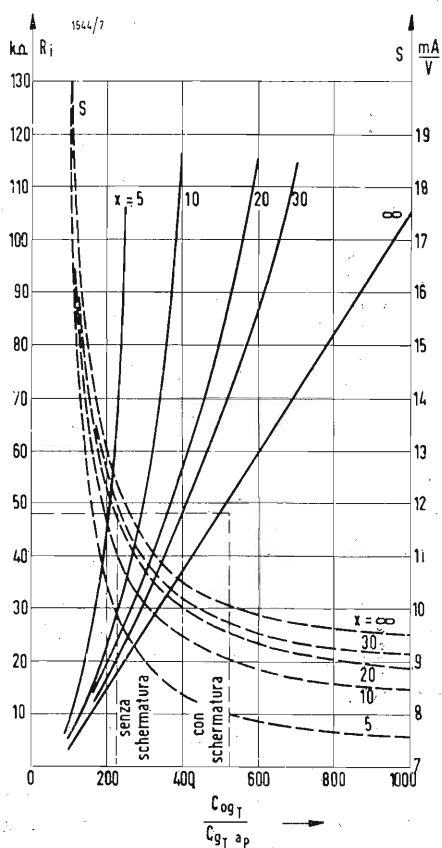


Fig. 3 - Relazione fra le caratteristiche del pentodo e la sicurezza contro l'autoeccitazione nelle seguenti condizioni  $V_{eP} = 0,3$  V;  $R_{aP} = 7$  kΩ;  $P_u = 50$  mW.

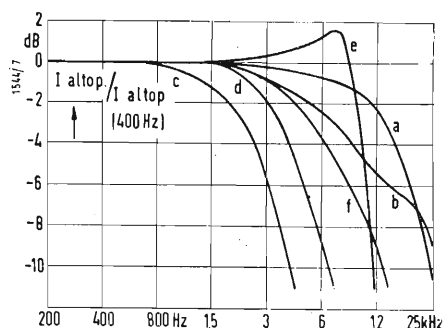


Fig. 4 - Andamento della corrente di altoparlante con diversi sistemi di stabilizzazione:

Curva	$R_s$ [kΩ]	Stabilizzazione
a	1	—
b	250	—
c	250	10 pF da $a_T$ ad $a_P$
d	250	3,8 pF + 1,2 MΩ da $a_T$ a $a_P$
e	250	1 nF in parall. al trasf. di uscita
f	250	1 nF + 33 kΩ in parall. al trasf. di uscita.

essere bassa per non ridurre troppo la frequenza limite superiore.

Un confronto di questi tre punti e delle condizioni poste all'inizio ci indica che nella scelta delle caratteristiche della valvola si dovranno stabilire dei compromessi fra le varie esigenze, non dimenticando che la più importante è la sicurezza contro l'autoeccitazione.

### 3. - SCELTA DELLE CARATTERISTICHE DELLA VALVOLA

#### 3.1. - Triodo

Per il triodo è evidente che la soluzione ottima è quella di ottenere la massima amplificazione permessa in funzione della frequenza limite superiore considerata sufficiente. Questa condizione è soddisfatta in modo eccellente dal doppio triodo ECC83, perciò anche per il triodo della ECL86 si manterranno gli stessi dati caratteristici.

#### 3.2. - Pentodo

Dai dati del triodo deriva che l'amplificazione del pentodo deve essere  $A_P = 62$ , che corrisponde ad una sensibilità di  $V_{aP} = 0,3$  V per  $P_u = 50$  mW.

Con questi dati e con l'ausilio delle relazioni (1) e (2) si sono rappresentate le funzioni  $R_{iP}$  ed  $S_P$  in funzione del rapporto

$\frac{C_{aPT}}{C_{gTaP}}$  per diversi valori del parametro  $x$  (vedi fig. 3) e per  $P_u = 50$  mW.

Dai primi prototipi sperimentali si determinò che con uno schermaggio non troppo oneroso fra griglia del triodo ed anodo del pentodo si può arrivare per

il rapporto  $\frac{C_{aPT}}{C_{gTaP}}$  ad un valore di 225.

Per poter funzionare in qualsiasi condizione, senza pericolo di autoeccitazione, la valvola dovrebbe avere le caratteristiche corrispondenti ad  $x = \infty$  (funzionamento a vuoto). Secondo la figura 3 si avrebbero quindi i dati seguenti:  $S_P = 12,5$  mA/V e  $R_{iP} = 16$  kΩ.

Questa assoluta sicurezza della valvola dovrebbe però essere pagata con due grossi svantaggi:

- 1) A causa del forte effetto secondario provocato dall'alta pendenza, la valvola avrebbe un pessimo rendimento.
- 2) La bassa resistenza interna farebbe peggiorare il rapporto di suddivisione della corrente  $I_{a1}/I_{g2}$  con un conseguente alto carico sulla griglia schermo.

Si doveva quindi cercare di vedere se, tenuto conto che nei casi normali  $x \approx 5$ , con una semplice schermatura esterna aggiuntiva e senza particolari prescrizioni circuitali fosse possibile ottenere la sicurezza anche nel caso immaginario di  $x = \infty$  con dei valori più normali per  $S_P$  ed  $R_{iP}$ .

Con un anello di schermatura fissato allo zoccolo della valvola (diametro 22,5

mm, altezza 15 mm) si ottiene  $\frac{C_{aPT}}{C_{gTaP}} = 525$ . Nella fig. 3 si vede che ambe-

due le condizioni sono soddisfatte per  $R_{iP} = 52$  kΩ.

In pratica si è scelto  $S_P = 10$  mA/V e  $R_{iP} = 48$  kΩ

### 4. - ALTRI SISTEMI PER AUMENTARE LA SICUREZZA CONTRO L'AUTOECCITAZIONE

Nel caso che il trasformatore presentasse un picco di risonanza molto accentuato oppure nel caso di un montaggio molto compatto la valvola potrebbe manifestare una certa tendenza all'autoeccitazione. Per aumentare la stabilità in questi casi eccezionali si hanno però a disposizione diverse soluzioni abbastanza semplici.

Non intendiamo naturalmente parlare di diminuzioni dell'amplificazione (per es. controreazione), perchè è noto che una minore amplificazione corrisponde sempre ad una maggiore stabilità.

Il sistema più semplice consiste nella applicazione di un condensatore da 5-20 pF fra gli anodi dei due elementi. Però, per quanto riguarda la curva di risposta questo è il sistema più sfavorevole, come si vede bene nella fig. 4, che rappresenta l'andamento della corrente del l'altoparlante rapportata alla corrente a 400 Hz in funzione della frequenza per diverse condizioni. Le curve *a* e *b* corrispondono all'assenza di qualsiasi sistema di stabilizzazione e per una resistenza interna del generatore del segnale per rispettivamente a 1 kΩ e 250 kΩ. La differenza è dovuta alla diversa influenza della capacità in entrata. La curva *c* vale ancora per una resistenza della sorgente  $R_s = 250$  kΩ e con una capacità  $C_{aPaT} = 10$  pF. Si nota un sensibile peggioramento della curva di risposta. Si ottiene una compensazione migliore con un circuito RC calcolato esattamente (1,2 MΩ in serie con 3,8 pF), collegato fra i due anodi (curva *d*). Questa compensazione viene calcolata per il caso più sfavorevole, regolatore di volume in posizione intermedia, sempre con  $R_s = 250$  kΩ.

Una minore influenza sulla curva di risposta si ottiene applicando la compensazione sul primario del trasformatore di uscita, in questo caso essa deve però essere adattata alle caratteristiche del trasformatore. Le curve *e* ed *f* mostrano la curva di risposta ottenuta collegando in parallelo al primario del trasformatore 1 nF e rispettivamente 1 nF + 33 kΩ. Nella fig. 5 è mostrata l'influenza di questo compensazione sulla punta di risonanza del trasformatore.

### 5. - DATI CARATTERISTICI

Per diminuire la capacità  $C_{aPaT}$  si sono previste diverse schermature all'interno della valvola, come si vede anche nella fig. 1. Importante è pure la disposizione degli elettrodi sullo zoccolo (fig. 6) ed in particolare quelle dei due elettrodi più critici  $g_T$  ed  $a_P$  che sono stati disposti alle estremità di un diametro.

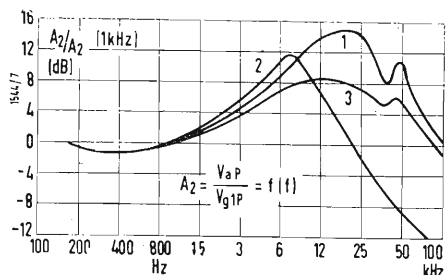


Fig. 5 - L'andamento dell'amplificazione del pentodo, in funzione della frequenza, fino all'anodo mostra l'effetto dei sistemi di stabilizzazione sull'altezza della punta di risonanza del trasformatore. 1 = trasformatore solo; 2 = con 1 nF in parallelo; 3 = con 1 nF + 33 kΩ in parallelo.

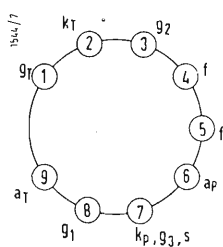


Fig. 6 - Schema dello zoccolo della ECL86.

Riassumiamo qui di seguito i dati più caratteristici.

**Riscaldamento:**

Corrente alternata o continua:  $V_f = 6,3 \text{ V}$ ;  $I_f = 700 \text{ mA}$ .

**Capacità:**

Triodo:  $C_e = 10 \text{ pF}$ ;  $C_{ag1} \leq 0,4 \text{ pF}$ ;  $C_{g1f} \leq 0,2 \text{ pF}$ .

Pentodo:  $C_e = 2,3 \text{ pF}$ ;  $C_o = 2,5 \text{ pF}$ ;  $C_{ag} = 1,4 \text{ pF}$ ;  $C_{gf} \leq 6 \text{ m pF}$ .

Fra triodo e pentodo:  $C_{aTg1P} < 200 \text{ mpF}$ ;  $C_{gTaP} < 6 \text{ mpF}$ ;  $C_{gTg1P} < 20 \text{ mpF}$ ;  $C_{aTaP} < 200 \text{ mpF}$ .

**Dati di funzionamento:**

Pentodo in classe A:  $V_a = 250 \text{ V}$ ;  $V_{g2} = 250 \text{ V}$ ;  $R_k = 170 \Omega$ ;  $R_a = 7 \text{ k}\Omega$ .

$V_e = 0$  0,3 3,2 3,8 V

$I_a = 36$  — 37 36,5 mA

$I_{g2} = 6$  — 10,7 13 mA

$P_a = 0$  0,05 4 4,5 W

$k_{tot} =$  — 0,95 10 14 %

Triodo come amplificatore in BF:

$R'_g = 680 \text{ k}\Omega$ ;  $V_b = 250 \text{ V}$ ;  $I_a = 0,6$

mA;  $V_o = 3,2 \text{ V}$ ;  $\gamma = 70$ ;  $k_{tot} = 0,4\%$ ;

$R_{gen} = 47 \text{ k}\Omega$ ;  $R_g = 10 \text{ M}\Omega$ ;  $R_a = 220 \text{ k}\Omega$ .

Ricordiamo che  $k_{tot}$  è il fattore di distorsione totale e che  $R_g$  è il valore della resistenza di griglia della valvola seguente.

## 6. - PARTICOLARITÀ COSTRUTTIVE

### 6.1. - Emissione secondaria della parete interna dell'ampolla

Come qualsiasi altra valvola avente la ampolla in materiale isolante anche la ECL86 presenta una emissione secondaria. Il potenziale della superficie emittente dipende dal potenziale degli elettrodi che raccolgono gli elettroni emessi che sono normalmente gli anodi. Poiché il potenziale degli anodi è composto da una parte continua e da una alternata, si avrà una corrispondente variazione del potenziale della superficie interna dell'ampolla. Questo potenziale, attraverso la sia pur alta resi-

stenza del vetro, concorre ad aumentare l'influenza dell'anodo del pentodo sulla griglia del triodo, influenza dovuta per la maggior parte alla capacità parziale  $C_{aPgT}$ . Con le valvole normali l'effetto dell'emissione secondaria era di una entità assolutamente trascurabile, però con la ECL86, data l'elevatissima amplificazione totale, si era osservata già nei primi prototipi una aumentata reazione soprattutto alle basse frequenze. Per diminuire questo effetto si dovette impiegare per l'ampolla del vetro al piombo che ha una maggiore resistenza di isolamento e che garantisce quindi una minore reazione (fig. 7).

### 6.2. - Microfonia

L'alta sensibilità in entrata richiede che nella costruzione della valvola si adottino tutti gli accorgimenti possibili per ridurre la microfonia, soprattutto della prima valvola, il triodo. Perciò, per potere limitare gli spostamenti reciproci degli elettrodi, conseguenti alla sollecitazione meccaniche, si è deciso di costruire il triodo più corto del pentodo (fig. 1). Con questo particolare tipo di costruzione, chiamata a balcone, si ottiene anche il vantaggio di una minore potenza di riscaldamento e di minori capacità di accoppiamento fra gli elettrodi dei due elementi pentodo e triodo.

## 7. - BIBLIOGRAFIA.

[1] ASCHERMANN, Wirtschaftlicher Aufbau von Stereo-Anlagen, *Funktechnik*, agosto 1959, pag. 239.

[2] HIRSCH, Entwicklung und Konstruktion der PCL86, *Radio Mentor*, maggio 1960, pag. 375.

[3] HIRSCH, Gesichtspunkte bei der Entwicklung der NF-Verbundröhre ECL86, *Radio Mentor*, settembre 1960, pag. 715.

[4] ASCHERMANN, ECL86 - eine neue NF-Verbundröhre hoher Verstärkung, *Funkschau*, 17, settembre 1960, pag. 435.

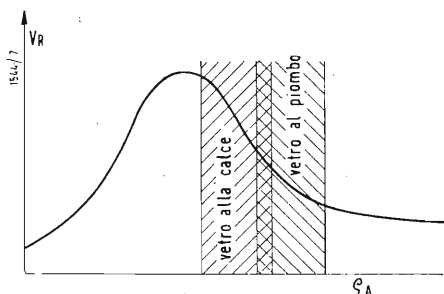


Fig. 7 - Reazione  $V_R$  fra anodo del pentodo e griglia del triodo in funzione della resistenza specifica del materiale dell'ampolla  $S_A$  e rappresentazione dei campi di variazione normale per due tipi di vetro.

## Cervello elettronico per conteggi telefonici

A Manchester è stato mostrato recentemente un nuovo sistema per il trattamento automatico dei conti telefonici. Questo sistema è stato ideato da una ditta britannica, la INTERNATIONAL COMPUTERS AND TABULATORS, LTD., con la collaborazione della Direzione Generale delle Poste di Gran Bretagna. La ditta ha installato recentemente sistemi simili a Singapore e ad Osaka. Si tratta di un notevole passo avanti nella risoluzione del problema della conversione automatica di informazioni scritte a mano su schede in una forma adatta ad un trattamento a macchina; in questo caso si tratta della perforazione di schede.

La cosa è stata resa possibile dai punzoni « esploratori » fotoelettrici. Queste macchine punzonano e verificano automaticamente schede di 40 colonne preparate presso i centralini allo scopo di registrare i dettagli relativi alle chiamate telefoniche. Le telefoniste scrivono le loro varie informazioni su schede: si tratta del numero dell'abbonato con i prezzi delle chiamate.

È stato annunciato in seguito che altre installazioni del genere verranno effettuate nelle città di Leeds, Cardiff, Portsmouth, Londra. Poco a poco l'intera Gran Bretagna adotterà il sistema.

In questo momento l'installazione di Manchester tratta le informazioni provenienti da 55 milioni di schede relative a 350.000 abbonati, connessi con più di 170 centralini delle regioni telefoniche di Manchester e Liverpool.

(p.n.i.)



Piero Soati

# Note di servizio dei ricevitori di TV Continental

CM901 - CM902 - CM903 - CM905  
21" 110° (Mod. 4-058-11580)

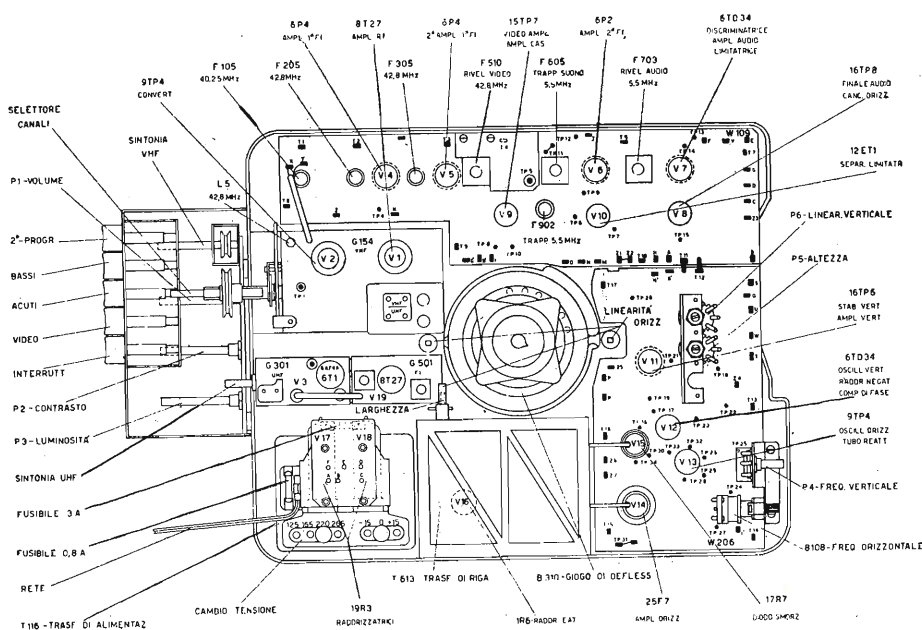
## 1. - GENERALITA'

I ricevitori per televisione *Continental* sono costruiti dalla ditta CAPRIOTTI di Genova-Sampierdarena. Si tratta di alcuni tipi di apparecchi che posseggono delle caratteristiche veramente ottime adatti a funzionare su tutti i canali previsti per lo standard italiano e che sono muniti di gruppo per la ricezione del secondo programma in UHF. Noi, nella rubrica archivio schemi e nella presente descrizione, ci riferiamo al tipo *Continental* 21"-110° mod. 905 (4-058-11580) dobbiamo però precisare che quanto gli schemi, elettrico e di principio, quanto le note tecniche possono essere usati per il controllo degli altri tipi le cui differenze più sostanziali consistono nell'uso di un tubo catodico diverso. Infatti mentre l'apparecchio in esame usa un tubo tipo 21", CEP4, il modello CM902 17" - 110° (4-057-11380) dispone di un tubo 17BZP4, il tipo CM 901 23" 110° (4-074-11680) di un tubo 23 DP4oppure 23 AW5990, ca-

ratteristiche quest'ultime che sono comuni al tipo CM 903 23" 110° (4-074-21680).

Rimarchevole, nella realizzazione di questo televisore, la razionalità della costruzione, ed in modo particolare, i numerosi punti di controllo i quali, essendo collocati nella parte esterna dello chassis, consentono una accurata verifica dell'apparecchio senza peraltro obbligare il tecnico a complicate manovre di sfilatura o di smontaggio.

Le figure 1 e 2 si riferiscono, una, alla parte superiore dello chassis, e a quella inferiore l'altra. Da esse, oltre a poter rilevare a colpo d'occhio la posizione dei principali componenti, è possibile individuare la posizione dei punti di controllo, di quelli di taratura e di tutti i comandi, fissi e semifissi che siano, la cui numerazione, naturalmente, corrisponde esattamente a quella riportata come al solito, nella rubrica Archivio schemi, in calce al fascicolo. Dallo schema elettrico è possibile rilevare tanto



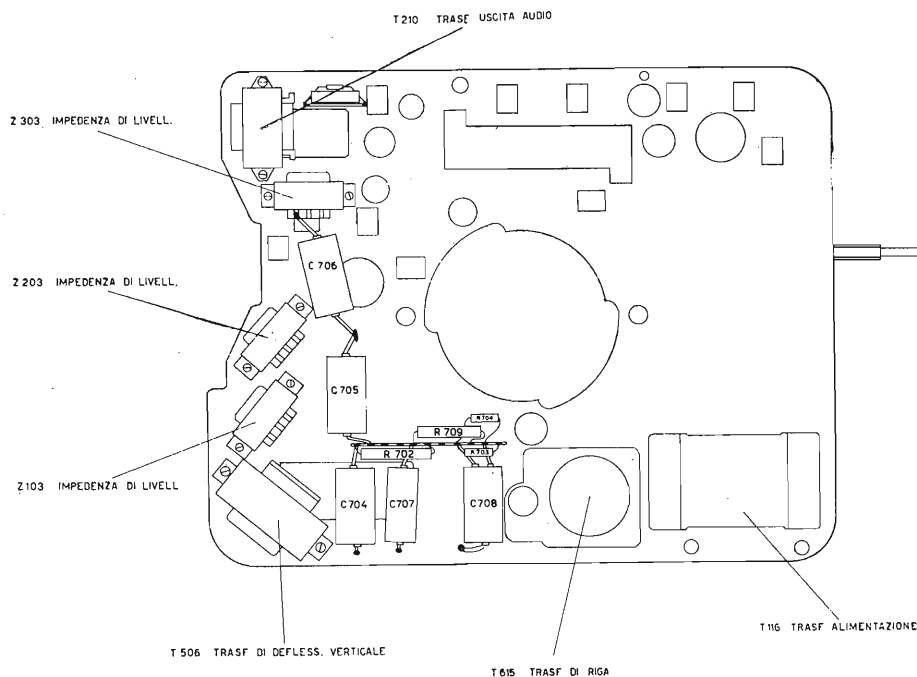


Fig. 2 - Disposizione dei componenti sulla parte inferiore dello chassis dei televisori di fig. 1.

valori della media frequenza video e di quella audio, quanto i valori per i quali debbono essere accordati i vari circuiti, specialmente per quanto si riferisce alla media frequenza, alla trappola suono, eccetera.

Lo schema di principio dei vari stadi è riportato in figura 5.

Nelle figure 3 e 4, è riprodotto lo chassis relativo al televisore Continental CM901 23" 110°.

## 2. - VALVOLE E LORO FUNZIONI

$V_1 = 8T27$ , amplificatrice a radio frequenza;  $V_2 = 9TP4$ , convertitrice-mi-

scelatrice;  $V_3 = 6T1$  (6AF4A) e  $V_{19} = 8T27$ , valvole relative il gruppo UHF;  $V_4 = 6P4$  (6CB6) 1° amplificatrice frequenza intermedia;  $V_5 = 6P4$  (6CB6) 2° amplificatrice F.I.;  $V_6 = 6P2$  (6AU6) amplificatrice FI;  $V_7 = 6TD34$  discriminatrice, amplificatrice audio;  $V_8 = 16TP8$  (PCL82) cancell. orizzontale; finale audio;  $V_9 = 15TP7$  (PCL84) amplificatrice video e amplificatrice CAS;  $V_{10} = 12ET1$  separatrice-limitatrice;  $V_{11} = 16TP6$  (PCL82) amplificatrice e stabilizzatrice verticale;  $V_{12} = 6TD34$  = comparatrice di fase, oscillatrice verticale, radd. negativi;  $V_{13} = 9TP4$  oscil-

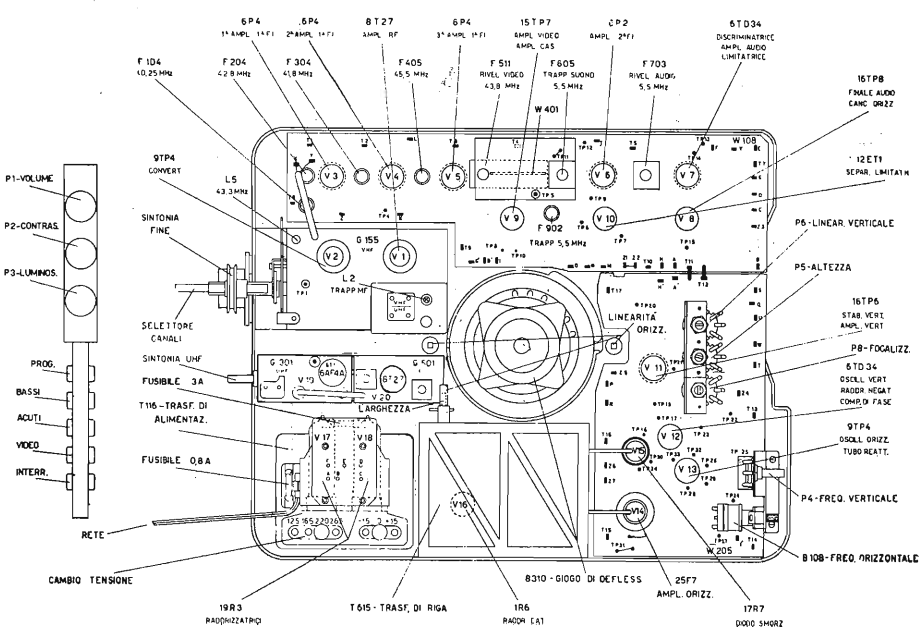


Fig. 3 - Disposizione dei componenti sulla parte superiore dello chassis del televisore CM901.

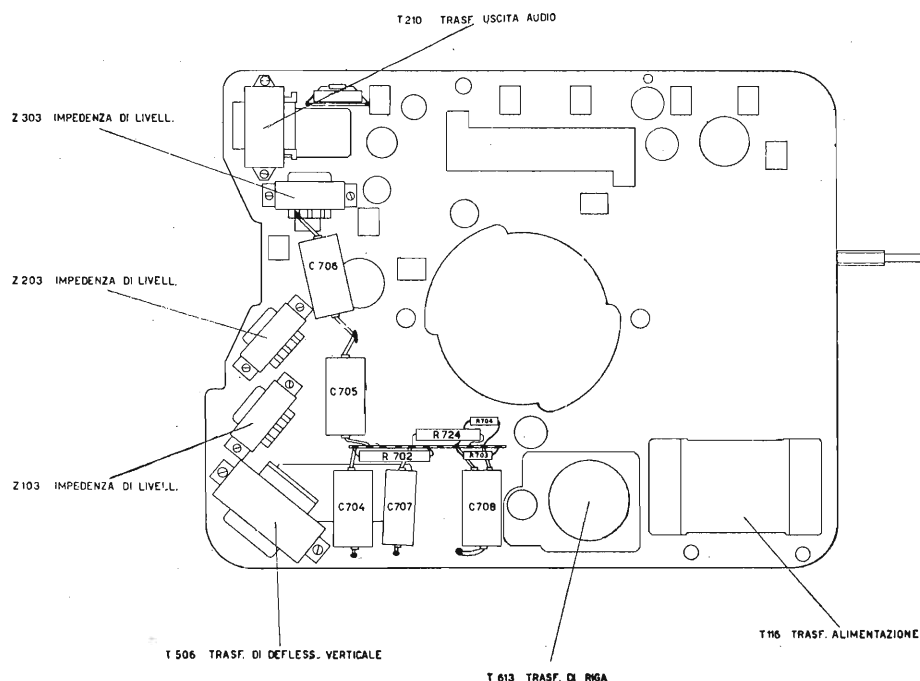


Fig. 4 - Disposizione dei componenti sulla parte inferiore dello chassis del televisore CM901.

latrice orizzontale, tubo a reattanza;  $V_{14} = 25\text{ F7 (PL36)}$  amplificatrice orizzontale;  $V_{15} = 17\text{R7 (PY81)}$  diodo smorzatore;  $V_{16} = 1\text{R6 (1X2B)}$  raddrizzatrice EAT;  $V_{17} = 19\text{R3 (PY82)}$  raddrizzatrice alta tensione;  $V_{18} = 19\text{R3 (PY82)}$  2° raddrizzatrice alta tensione. Tubo catodico 21" CEP4.

### 3. - ALIMENTAZIONE E VARIE

L'alimentazione è del tipo universale stabilizzata e adatta per reti aventi tensione compresa fra 125 e 265 V. Tenendo presente che esiste il dispositivo per predisporre l'alimentazione per  $\pm 15\text{ V}$  rispetto alla tensione di rete, ciò che è molto utile per l'uso del televisore in quelle reti che lavorano con valori effettivi sensibilmente diversi dai valori nominali, l'alimentazione praticamente è resa possibile fra 110 e 280 V. Mentre la definizione del video è regolabile, tramite un commutatore a due posizioni il quale permette di passare da una definizione media ad una definizione alta, nei circuiti audio esistono altri due commutatori i quali danno la possibilità di includere, od escludere, i toni acuti a quelli bassi.

### 4. - MESSA A PUNTO E TARATURA

La messa a punto di questo televisore, se eseguita da persone in possesso dei requisiti necessari, non presenta notevoli difficoltà in considerazione dell'ac-

cessibilità dei vari elementi. Per eseguire la stessa è sufficiente attenersi alle norme che abbiamo più volte specificato in numerose occasioni.

### 5. - FONTE D'ONDA NEI VARI PUNTI DEL CIRCUITO

In figura 6 sono riprodotte le forme di onda, indicate naturalmente dal costruttore, le quali sono state rilevate con oscilloscopio a larga banda, dotato di un probe, avente una capacità di 15 pF ed una resistenza in c.c. praticamente infinita. Per ogni curva è indicato il terminale al quale deve fare capo l'oscilloscopio, la relativa frequenza, la tensione, eventualmente max e min.

### 6. - CONTROLLO DELLE TENSIONI

Nella tabella che segue sono riferite le tensioni che si debbono riscontrare ai vari piedini delle singole valvole. Tutte le tensioni sono indicate in volt e sono state misurate su di un televisore caldo predisposto per 220 V di rete ed alimentato con una tensione di 220 V esatti e con frequenza di 50 Hz.

Le tensioni contrassegnate con asterisco sono state misurate con un voltmetro a valvola in c.c. con resistenza di ingresso infinita e con interposizione di una resistenza da 2 MΩ fra il punto di misura e l'elettrodo sensibile del voltmetro.

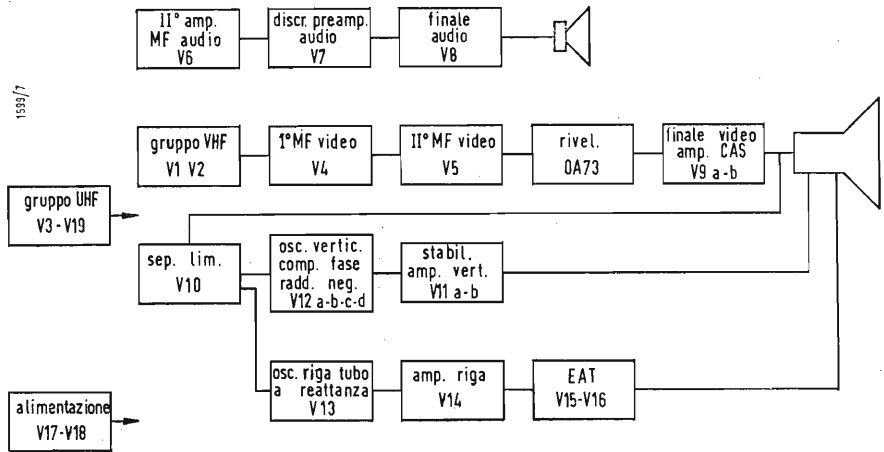
Le tensioni anodiche sono state misura-



**Tabella 1. - Tensioni presenti ai diversi piedini dei tubi da  $V_1$  a  $V_{18}$ .**

		TENSIONI AI PIEDINI (volt)								
		1	2	3	4	5	6	7	8	9
$V_1$	8T27	+ 180	+ 94*	+ 98	30,7 c.a.	22,4 c.a.	+ 98	+ 0,3* — 3*	0	—
$V_2$	9TP4	0	— 2*	+ 68	22,4 c.a.	12,8 c.a.	+ 144	+ 108*	0	— 3,5*
$V_4$	6P4 6CB6	— 6,7* — 5,9*	0	93 c.a.	99 c.a.	+ 170 + 175	+ 170 + 175	0	—	—
$V_5$	6P4 6CB6	0	+ 2,5*	99 c.a.	105 c.a.	+ 167 — 173	+ 167 + 173	0	—	—
$V_6$	6P2 6AU6	— 1* — 4,1*	0	93 c.a.	87 c.a.	+ 111 + 122	+ 111 + 122	0	—	—
$V_7$	6TD34	— 7,2* — 9,3*	— 16,5* — 21*	— 7,2* — 9,3*	87 c.a.	81 c.a.	— 2,2* — 2,9*	0	— 0,54*	+ 72
$V_8$	16TP8 PCL82	— 25* — 27*	+ 16	0	63 c.a.	81 c.a.	+ 214	+ 200	+ 16	+ 168
$V_9$	15TP7 PCL84	+ 29 + 32,5	— 41 — 44,5	+ 37 + 39,5	105 c.a.	120 c.a.	+ 125 + 140	+ 2,35* + 3,45*	— 1,1* + 0,86*	+ 200
$V_{10}$	12ET1	0 — 0,4*	0	— 10,6* — 30*	120 c.a.	132 c.a.	+ 26 + 35	+ 29 + 32,5	+ 87	+ 37 + 39,5
$V_{11}$	16TP6 PCL82	— 1,2*	+ 18,5	+ 0,84*	30 c.a.	47 c.a.	+ 198	+ 205	0	+ 104
$V_{12}$	6TD34	— 26,5*	— 26,5*	— 2,3*	56,3 c.a.	63 c.a.	— 78*	0	— 20*	+ 124*
$V_{13}$	9TP4	+ 6,4	+ 0,94*	+ 200	56,3 c.a.	47 c.a.	+ 185	+ 138	+ 6,4	+ 30,5*
$V_{14}$	25F7 PL36	—	132 c.a.	0	+ 105	— 32,5*	—	156 c.a.	0	—
$V_{15}$	17R7 PY81	0	—	—	173 c.a.	156 c.a.	—	—	—	+ 205
$V_{16}$	1R6 1X2B	—	—	—	—	—	—	—	—	—
$V_{17}$	19R3 PY82	—	—	+ 232	192 c.a.	172 c.a.	—	—	—	220 c.a.
$V_{18}$	19R3 PY82	—	—	+ 232	212 c.a.	192 c.a.	—	—	—	220 c.a.

(\*) Queste tensioni sono state misurate con un voltmetro a valvola in c.c. Con l'interposizione di una resistenza di 2 M $\Omega$  tra il punto di misura e il puntale dello strumento.



**Fig. 5 - Schema di principio del televisore Continental CM905.**

te con voltmetro c.c. da 20.000  $\Omega$ /volt. Le tensioni contrassegnate c.a. sono state misurate con voltmetro in alternata a valore efficace. Qualora siano indicati *due valori*, ciò sta ad indicare che la tensione in oggetto può variare fra essi in funzione delle condizioni di ricezione (intensità del segnale, contrasto ecc.). Naturalmente tutti i valori indicati s'intendono riferiti al potenziale massa del telaio.

## 7. - SEMPLICE DISPOSITIVO MOLTO UTILE PER IL CONTROLLO RAPIDO DEI TELEVISORI

Riteniamo di far cosa molto gradita ai lettori di questa rubrica di riportare, a completamento delle note tecniche, la descrizione di uno tra i più elementari dispositivi che possano esistere, ma che permetterà loro, specialmente per quanto si riferisce ai servizi da eseguire a domicilio del cliente, di effettuare rapidi e definitivi controlli.

Il dispositivo, come si può osservare in figura 7, è costituito esclusivamente da un condensatore avente la capacità di 0,01  $\mu$ F adatto per sopportare una tensione di lavoro di 1500/2000 V, e da due spezzoni di conduttore, adeguatamente isolati, della lunghezza di circa 15 e 45 centimetri, alle cui estremità dovranno essere saldate due prese a bocca di cocodrillo, accuratamente isolate nel punto in cui debbono essere toccate con le mani.

Ecco alcune fra le numerose prove che si possono eseguire con tale dispositivo, che, per abbreviare i termini *Condensatore di controllo*, chiameremo CC:

**Sezione audio.** Nel caso in cui in un televisore non funzioni il circuito audio, per controllare la catena di bassa frequenza sarà sufficiente collegare una estremità di CC ai capi di un filamento di una valvola (nel caso detta alimentazione sia del tipo in parallelo, si prenderà naturalmente il collegamento che non fa capo alla massa) mentre l'altra estremità del CC sarà applicata ai vari elettrodi dei tubi che interessano tale circuito. Si inizierà con il circuito di placca del tubo finale audio, per passare al circuito di griglia. Se il circuito esaminato risulterà in buone condizioni all'altoparlante si udrà il caratteristico ronzio di corrente alternata. In tal caso si proseguiranno le ricerche percorrendo a ritroso tutto il circuito. Una volta che si sarà individuato lo stadio il quale non permette di udire alcun rumore si toccheranno con la boccia mobile i vari componenti, resistenze, condensatori od avvolgimenti, fino ad individuare l'elemento difettoso (il quale in taluni casi potrà essere la causa solo di una certa attenuazione del ronzio in questione).

È evidente che il dispositivo CC può essere usato con lo stesso criterio, per

individuare talune anomalie dei ricevitori radiofonici.

**Sezione deviazione verticale.** Il CC permette anche un controllo preliminare di detto circuito agendo nel modo seguente: si fissa la boccia che fa capo all'estremità breve di CC, all'ingresso dello amplificatore di BF audio (per esempio tramite il potenziometro che regola il volume). Tenendo presente che i segnali prodotti dall'oscillatore verticale hanno una frequenza di 50 Hz al secondo, toccando con l'altro capo di CC ad esempio la griglia dell'oscillatore verticale, se esso funziona normalmente, si dovrà udire in altoparlante il caratteristico ronzio dovuto per l'appunto ai

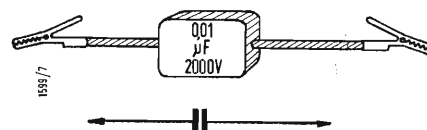


Fig. 7 - Condensatore di controllo.

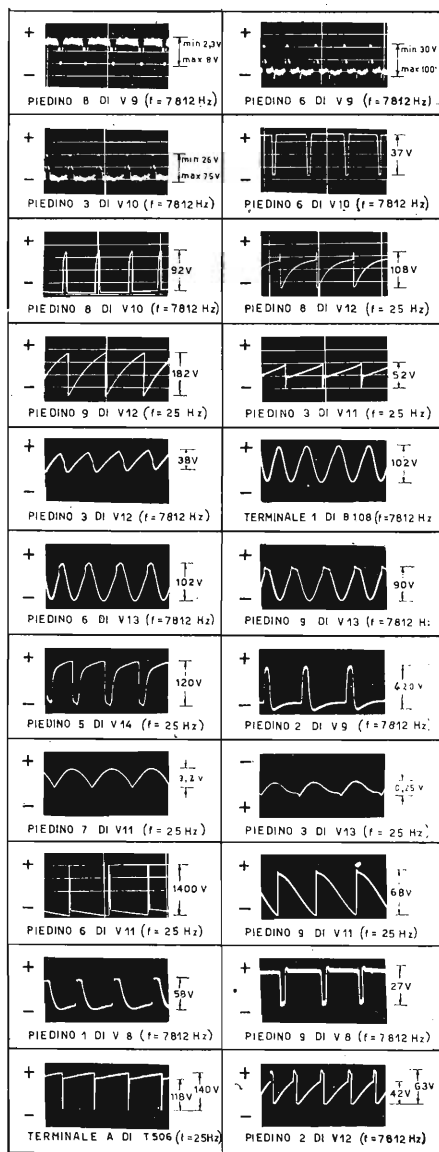


Fig. 6 - Forme d'onda rilevabili nei diversi punti di misura del televisore CM905.

50 Hz. Evidentemente se in uscita, ad esempio controllando il giogo di deflessione, detti segnali non sono presenti e perciò non sono udibili in altoparlante occorre controllare accuratamente tutto il circuito partendo dalla finale verticale per arrivare all'oscillatore verticale. Localizzato il circuito difettoso si passerà al controllo dei singoli componenti toccando le loro estremità sempre con l'estremità libera di CC.

Generalmente è necessario togliere dallo zoccolo la valvola separatrice di sincronismo per evitare che i segnali di sincronismo in arrivo diano luogo a valutazioni errate, a meno che il controllo sia eseguito con la certezza che il televisore non capti alcun segnale.

È ovvio, da quanto abbiamo detto, che, se toccando qualche punto del circuito, compreso fra l'oscillatore ed il circuito finale verticale i segnali non sono udibili in altoparlante, esiste un difetto in qualcuno dei componenti interessati. Così pure nel caso che i segnali non siano presenti sulla placca della valvola oscillatrice verticale è certo che l'anomalia interessa il circuito oscillatore ed in tal caso le ricerche debbono essere orientate verso il suo circuito di alimentazione ed i componenti diretti.

Collegando, come si è fatto per il controllo della BF, il CC ad un capo di un filamento e l'altro capo alla griglia della finale verticale, se il circuito finale è in ordine, si vedrà sullo schermo una immagine che sembra ruotare, disposta ad arco. Si tratta di un segnale confuso dato che si applica al circuito una tensione sinusoidale anziché una tensione a dente di sega, ma la sua presenza è più che sufficiente per indicare che lo stadio in questione funziona egregiamente. In uno dei prossimi numeri prenderemo in esame gli altri stadi di un televisore controllabile tramite il CC. A.

## sulle onde della radio

### Angola

La stazione del Radio Club do Huambo da Nuova Lisbona dal 1° Settembre ha variato la propria frequenza in 11744 kHz dalle ore 07.00-08.00. In precedenza questa stazione emetteva sulla frequenza di 11985 kHz.

### Colombia

La stazione colombiana « La Voz del Cauca » da Popayan opera su 6145 kHz (HJEQ - 1 kW). L'annuncio è in spagnolo: Cari amici qui è Popayan, la città universitaria della Colombia, parla la voce del Cauca del Cirquito della Colombia.

### Equador

Ci vengono segnalate nuove stazioni operanti in Equador: Radio El Sagrario su 3620 kHz (HCEF - 2 kW), Emissora San Carlos 3760 kHz (HCBC - 2 kW), Ondas Carchenses su 6065 kHz (HCEM - 1 kW), Radio Centro Gualaceo su 2515 kHz (HCKD 5 - 0,2 kW). Le stazioni che hanno un servizio discontinuo sono: La Voz da Salcedo su 3598 kHz e Radio Cenit su 4815 kHz.

### Francia

Il programma interno dalla Radio Francia viene emesso in onde corte come segue: 06.14-24.00 Francia II su 6715 (per Europa ed Africa); 08.00-08.20 Giornale parlato di Francia II, su 11845, 15350 kHz (diretto alla Africa); 10.00-11.00 solo alla domenica Francia III (Messa Cattolica) su 7160 kHz diretta all'Europa; 14.50-18.00 solo alla domenica Francia II (sport e musica) su 21580 kHz; 19.15-19.45 Francia II (Paris vous Parle) su 15350 kHz (diretto al Canada); 20.00-20.25 Francia II (Giornale parlato) su 11845 e 15130 kHz (diretto all'Africa e Medio Oriente). Il programma diretto alla U.R.S.S. viene trasmesso alle ore 18.00-19.00 su 7280, 11885, 15160 kHz.

### Germania Orientale

La stazione di Berlino ha esteso il proprio servizio in lingua inglese e francese con due trasmissioni dirette all'Africa. Le ore di emissione sono: 17.15 in inglese e 18.00 in francese per la durata di 45 minuti per programma. La frequenza di emissione è 12008 kHz.

### Giordania

La stazione haschemita emette su 9530 kHz con la potenza di 50 kW. La HJBS emette ora su 11920 kHz invece di 11811 kHz.

### Kuwait

Dal 1° ottobre Radio Kuwait (K.B.S.) lavora su 1345 e 4968 kHz dalle ore 03.30-08.00, 10.00-22.00 (10 kW).

### Italia

I programmi della Radiotelevisione Italiana diretti all'estero sono i seguenti:

ore 07.25-07.45 per i Paesi Arabi su 16.85 - 19.48 - 25.20 - 31.33 - 49.92; ore 10.00-10.40 per Australia su 16.85 - 16.91 - 19.58; ore 10.00-10.40 per Africa su 25.20 - 31.33; ore 10.45-11.05 per Indonesia su 13.91 - 16.88 - 19.58; ore 10.45-11.05 per Cina su 16.85 - 25.20; ore 11.10-11.40 per Giappone su 19.58 - 25.20 - 31.15; ore 11.45-12.25 per M. Oriente su 16.85 - 19.48 - 25.20; ore 13.20-13.55 per Paesi Arabi su 16.85 - 19.48 - 25.40 - 31.15 - 49.92; ore 14.00-15.00 per Europa su 25.40 - 31.45 - 49.92. (14.00 Polacco - 14.15 Ceco - 14.30 Tedesco - 14.45 Slovacco). su 31.33 e 41.15 (14.00 Romeno - 14.15 Ungherese - 14.30 Albanese - 14.45 Sloveno). ore 15.05-15.20 per Russia su 25.20 - 31.33;

ore 15.25-15.45 per Persia su 16.88 - 25.20; ore 15.50-16.30 per Pakistan su 16.88 - 19.48 - 25.20.

(15.50 Urdu - 16.05 Bengali - 16.15 Hindi). ore 15.50-16.30 per Somalia su 13.91 - 19.58; ore 16.35-16.55 per Sud Africa su 13.91 - 16.88; ore 18.35-20.00 per Europa su 31.33 - 49.92.

(18.35 Polacco - 18.45 Albanese - 19.00 Francese - 19.20 Inglese - 19.40 Ucraino).

ore 20.05-20.55 per M. Oriente su 25.40 - 31.33 - 49.92; ore 20.05-23.25 per Europa su 41.24 - 50.34.

(20.05 Greco - 20.25 Turco - 20.50 Lituano - 21.10 Polacco - 21.25 Ceco - 21.40 Tedesco - 22.00 Slovacco - 22.15 Russo - 22.35 Portoghese - 23.00 Spagnolo).

ore 21.35-22.55 per Europa su 31.33 - 41.15 - 49.92.

(21.35 Romeno - 21.55 Bulgaro - 22.15 Serbo - 22.35 Ungherese).

ore 01.30-01.50 per Brasile su 25.40 - 30.90 - 31.15; ore 01.50-02.10 Per Sud-Centro America su 25.40 - 30.90 - 31.15; ore 01.30-01.50 per Nord America su 31.33 - 49.92; ore 01.50-02.10 per Canada su 31.33 - 49.92; ore 04.05-04.25 per Nord America su 31.33 - 49.92; ore 04.05-04.25 per Sud America su 25.40 - 30.90 - 31.15; ore 04.30-04.45 per Russia su 25.40 - 31.15 - 31.33 - 41.24 - 49.92.

PROGRAMMI IN LINGUA ITALIANA:

ore 07.50-08.50 per Australia su 13.91 - 16.85 - 16.91 - 19.58 - 25.20; ore 11.45-12.25 per A.O. su 13.91 - 19.58; ore 15.05-15.45 per Americhe su 13.91 - 16.85 - 16.91; ore 16.35-16.55 per Europa Orientale su 25.40 - 41.15 - 49.92; ore 17.00-18.30 per Africa su 13.91 - 16.88 - 19.58 - 25.40 - 31.33; ore 19.40-20.00 per Centro America su 13.91 - 16.88 - 19.48; ore 21.00-21.30 per Australia su 25.40 - 30.90 - 31.33; ore 23.00-23.25 per Australia su 25.40 - 30.90 - 31.33; ore 23.30-01.30 per America su 25.40 - 30.90 - 31.15 - 31.33 - 49.92; ore 02.15-04.05 per America su 25.40 - 30.90 - 31.15 - 31.33 - 49.92.

BOLLETTINO STAMPA

ore 08.50-09.05 per Estremo Oriente-Australia su 13.91 - 16.85 - 16.91 - 19.58 - 25.20; ore 18.35-19.35 per Europa su 30.90 - 41.24 - 50.34.

(18.35 Danese-Norvegese al Mart. Giov. Sabato - 18.35 Svedese-Finlandese al Lun. Merc. Ven.).

ore 18.55 Unità Europea al lunedì, Esperanto al martedì e mercoledì, N.A.T.O (Inglese e francese) al giovedì, esperanto al venerdì, Belgio e Francia al sabato, italiano alla domenica.

(19.10 Tedesco per Austria - 19.25 Cecoslovacco).

Alla domenica pomeriggio tra le ore 15.05 e le ore 18.30 alcune emissioni possono essere sospese o ridotte per permettere la trasmissione di radiocronache sportive per gli italiani dell'America, l'Africa del Sud, l'Africa Orientale su 13.91 - 16.85 - 16.88 - 16.91 - 19.58.

PROGRAMMI NAZIONALI DIRETTI AL BACINO DEL MEDITERRANEO AD ONDE CORTE:

ore 06.30-24.00 su 49.50 - 31.53 per il Nazionale; ore 07.50-09.00 su 41.81 (Domenica) Secondo Programma; ore 09.00-23.00 su 41.81 (ogni giorno) Secondo Programma. ore 17.00-24.00 su 75.09 Terzo Programma; ore 00.00-06.30 su 49.50 - 31.53 « Notturmo dell'Italia ».

Tutti i programmi sopradetti sono in vigore per tutto l'inverno 1960/61.

### Monaco

Dal Principato di Monaco la stazione di Montecarlo emette sulle seguenti frequenze e nominativi- 1466 kHz (3AM2), 6035 kHz

(3AM3), 7140 kHz (3AM4) ripetitivamente con le potenze di 200, 300, 30 kW.

### Nazioni Unite

Vi segnaliamo questo programma diretto dalle Nazioni Unite alle nazioni africane in lingua francese ed inglese perchè udibilissimo in Italia. Le trasmissioni sono le seguenti: Lunedì/Venerdì 19.45-20.15 su 15250 e 21485 con nominativo WLWO. Le notizie vengono trasmesse in francese alle ore 19.45 ed alle ore 19.55 in inglese. Alle ore 21.05 ancora notizie in lingua francese.

### Olanda

Vien data notizia che una stazione olandese emette come « Radio Veronica » nei pressi della costa olandese vicino l'Aja. Tempi di emissione: 09.00-20.00, 23.00-01.00 con programma consistente di canti popolari e dischi. La stazione trasmette comunicati commerciali in olandese e le frequenze sono: 1562 kHz con 20 kW di potenza. Preghiera di cartoline controllo da indirizzare: a S/S VERONICA - Post Box 218 HILVERSUM.

### Radio Vaticana

I programmi aggiornati per l'inverno 1960/61 della Radio della Città del Vaticano sono i seguenti:

Tedesco (per Austria-Germania e Svizzera) ore 13.45 su 31.10 - 25.55 - 19.84; ore 15.45 su 25.55 - 19.84 - 16.82; ore 20.45 su 48.47 - 41.38 - in genere tutti questi programmi vengono trasmessi anche ad onda media su metri 196,2.

Inglese (Gran Bretagna ed Irlanda) ore 16.00 su 25.55 - 19.74 - 16.82 - 196; ore 19.15 su 31.10 - 25.55 - 19.84 - 196; ore 11.30 su 16.82 - 13.95 (Lu-Me-Ve); ore 17.00 su 16.82 - 13.94 (Lu-Me-Ve); ore 23.30 su 31.10 - 25.55 (Lu-Me-Ve). Queste tre ultime trasmissioni sono dirette, rispettivamente, per Africa Centrale-Meridionale; India, Pakistan; Ceylon; Filippine.

Francese (Francia-Belgio-Svizzera-Lussemburgo) ore 12.45 e 15.30 su 31.10 - 25.55 - 19.84 - 196; ore 20.15 su 48.47 - 41.38 - 31.10 - 196; ore 12.00 e 12.20 (Lu-Me-Ve) su 16.82 e 13.95 per Africa Centrale, Congo, Africa Occidentale).

Italiano (Italia e Paesi del Mediterraneo) 14.30 e 19.33 su 48.47 - 41.38 - 31.10 - 25.55 - 196; ore 17.00 su 48.47 - 41.38 - 31.10 - 196; (Ve); ore 22.00 su 196.

### Repubblica Araba Unita

La scheda programmi di Radio Cairo diretta all'Europa per il suo servizio ad onde corte è: 20.00-23.30 sul 12030 kHz (francese, tedesco, italiano, inglese).

### Svezia

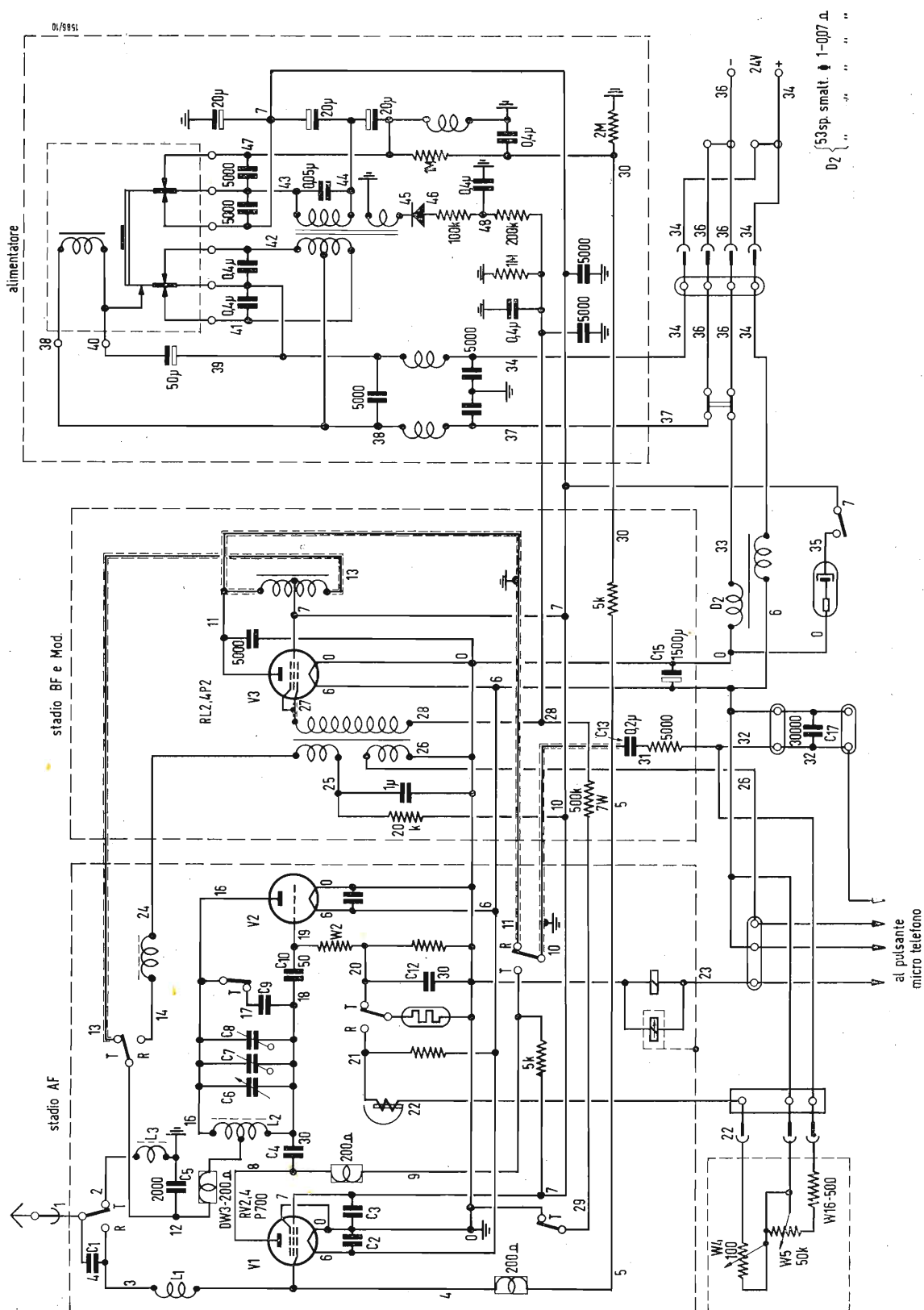
Dopo le trasmissioni dall'Isola di Rodi della stazione S/S COURIER della V.O.A. e dopo Radio S/S VERONICA dall'Olanda una nuova stazione dislocata sul mare prende voce dalla Svezia. In genere queste stazioni operano in acque internazionali. Questa stazione denominata « Radio Nord » opera con la potenza di 20 kW e dovrebbe operare nel campo delle onde medie per 24 ore al giorno.

### U.S.A.

Il programma diretto all'Europa ed Africa dalla stazione WRUL di Boston avviene dal lunedì al venerdì alle ore 21.45-23.00, al sabato alle ore 21.00-23.15 su 15380 e 17750 kHz. Alla domenica alle ore 20.45-23.00 su 15380, 17750, 21460 kHz. La trasmissione del programma speciale diretto alla Norvegia e Svezia avviene dal Lunedì al Venerdì sulle stesse frequenze alle ore 21.45-22.00.

(micron)





## Apparecchi del surplus tedesco: il Feldfunk Sprecher B e C - Varie

0224 - Richiedenti diversi, Ing. M. Alfonso - Palermo; Dott. Ramelli di Celle - Torino; G. Romoni - Firenze; F. Riccardi - Roma.

Mentre spero di poter pubblicare i dati richiesti dall'Ing. Mondello, che dovrebbero pervenirmi dalla Germania, attualmente non posso accontentare gli altri richiedenti per

quanto concerne almeno questo numero e i due numeri successivi dovendo pubblicare schemi che hanno ottenuto richieste molto maggiori. Inoltre debbo precisare al Dott. Di Celle che mi sto interessando per procurarmi lo schema che gli interessa e che non è in mio possesso.

In figura 1 si riporta lo schema del noto rice-trasmettitore tedesco Feldfunk B e C. I valori dei vari componenti sono riportati direttamente sullo schema. (P. Soati)

## Circuiti ausiliari di ricevitori di TV

0225 - Sig. A. Miotto - Erba (Como).

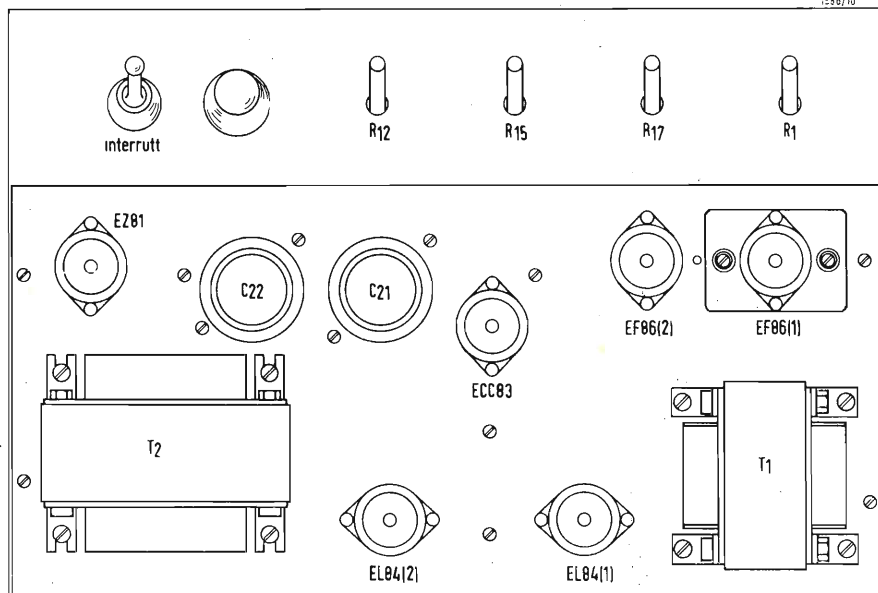
Ringraziamo per le cortesi parole di apprezzamento per il contenuto della Rivista. Vedremo di trattare, l'argomento da Lei richiesto in un prossimo futuro. Effettivamente il diffondersi sul mercato nazionale di ricevitori di TV di costruzione tedesca che fanno ampio uso di circuiti ausiliari di automazione può giustificare la sua richiesta. **A.**



tore alla temperatura di 25° (per temperature superiori questo parametro deve essere ridotto linearmente fino a zero per una temperatura uguale alla massima ammissibile) = 55 W; potenza di uscita in classe A = 16 W. Per quanto concerne la tensione di alimentazione essa dipende dal tipo di diodo zenner usato. A questo riguardo consigliamo i richiedenti di voler consultare il secondo volume del *Manuale dei transistori* del Kuhn, edito dalla EDITRICE IL ROSTRO; in esso troveranno la risposta ai loro quesiti. Personalmente non vedo di buon occhio l'uso promiscuo dei transistori e delle valvole, se non in caso di apparecchiature speciali, sebbene lo schema del Sig. Chiarottino sia realizzabile. L'altoparlante tipo MBZ della PHILIPS può essere usato senz'altro.

b) Rispondendo al Sig. Mazzari pubblico lo schema di due amplificatori, i quali potranno essere molto utili anche agli altri tre richiedenti.

In figura 1 si osserva lo schema di un ottimo amplificatore ad alta fedeltà adatto per ottenere una potenza di uscita di circa 12 W, ed il quale presenta il notevole vantaggio di possedere un preamplificatore correttore incorporato. La prima valvola è del tipo EF86, la quale può essere sostituita da altra equivalente, il cui compito, oltre a quello di preamplificatrice, tramite una adatta controreazione, è di linearizzare la curva di risposta dei dischi. Segue uno stadio correttore della tonalità dei bassi e degli acuti alla cui uscita si trova il potenziometro adatto per la regolazione della potenza. Al secondo stadio fa

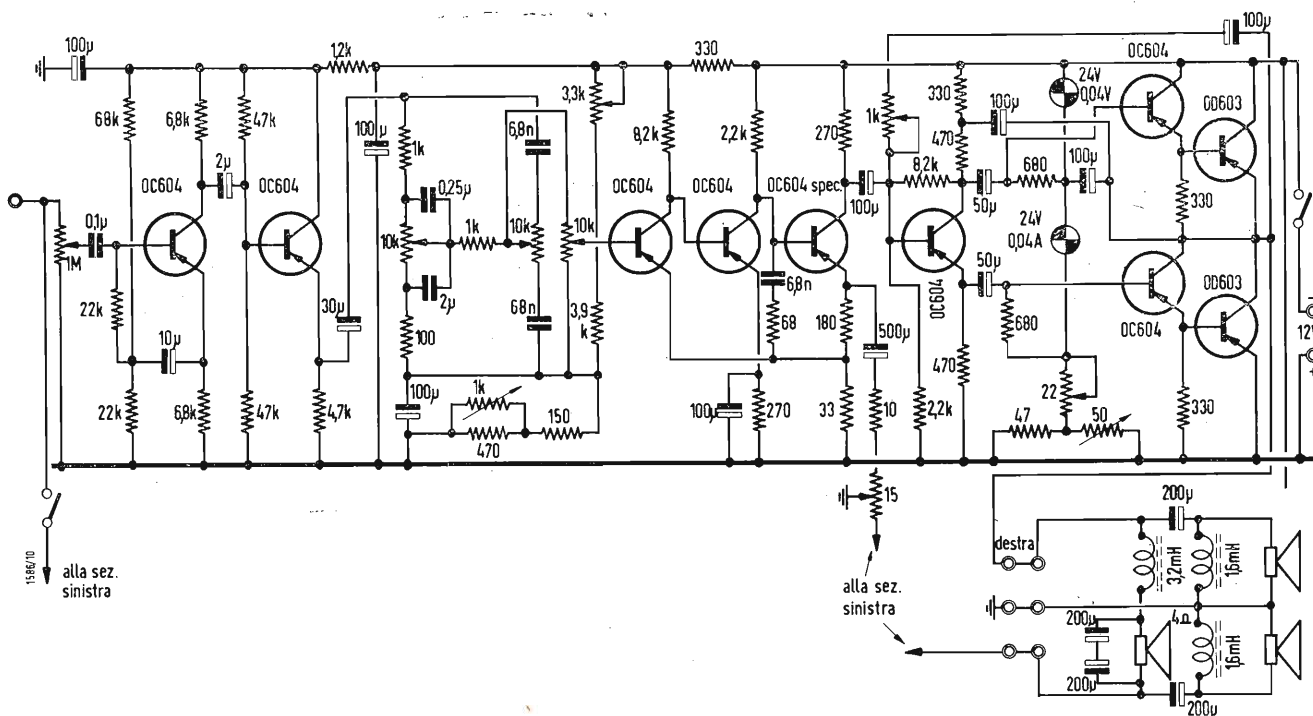


placca EF86 (2) 60 V, schermo 50 V; catodo 1,25 V; placca EF86 (1) 48 V, schermo 50 V, catodo 1,25 V. Tensione su  $C_{22A}$  = 320 V,  $C_{22B}$  = 300 V, su 21B = 240 V, su 21C = 140 V. L'assorbimento totale del complesso è di 97 mA di cui 94 mA circa dello stadio finale.

In fig. 3 è visibile lo schema di un ottimo

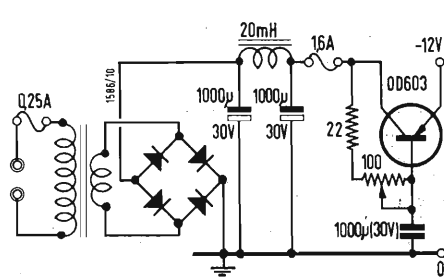
sere alimentato in corrente continua, specialmente se si usa una sola sezione, altrimenti si alimenterà tramite il raddrizzatore di cui alla figura 4 nel quale è stato realizzato un sistema di filtraggio a transistori.

I valori dei vari componenti tali amplificatori sono stati riportati direttamente sugli schemi. (P. Soati)

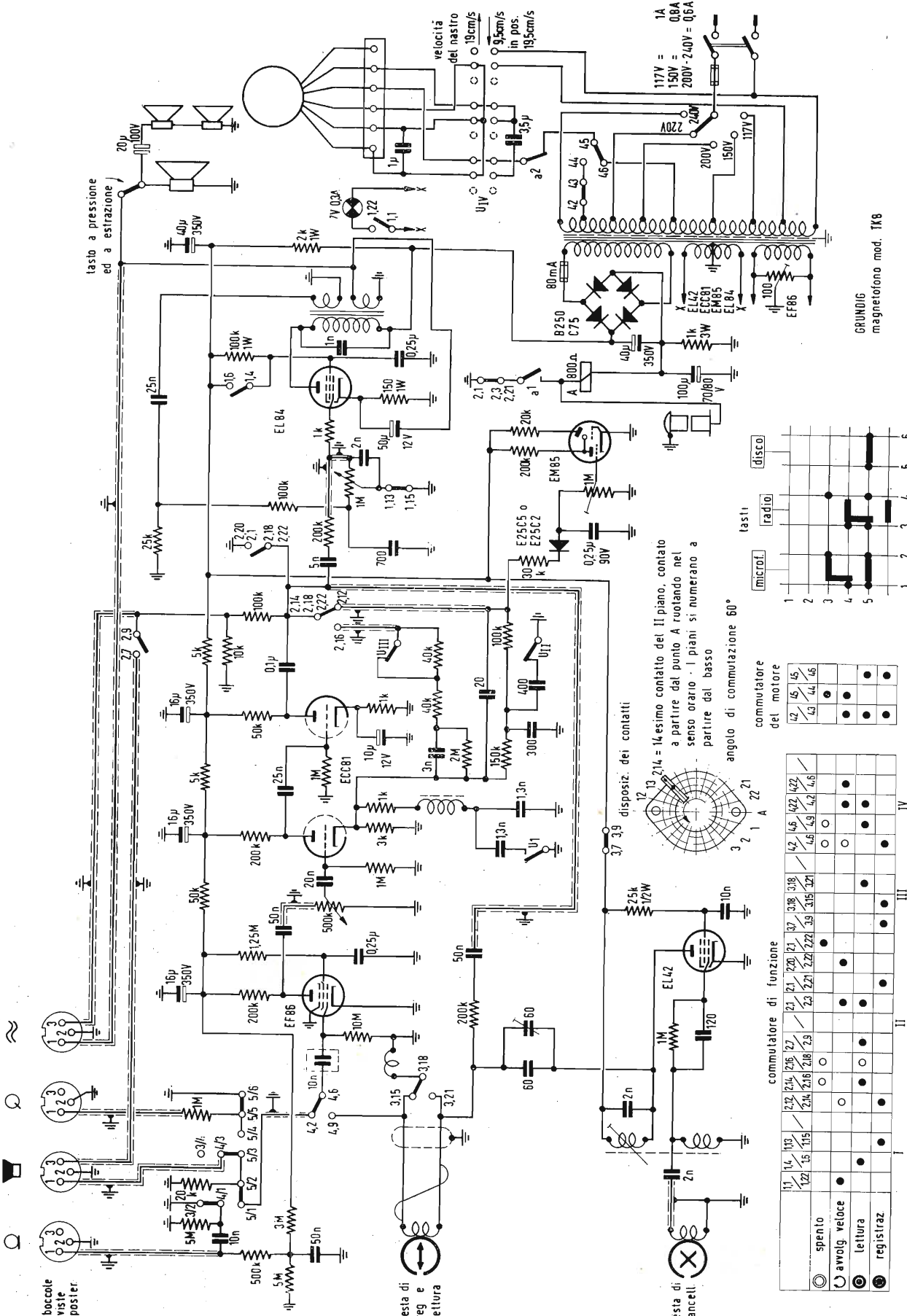


seguito un doppio triodo ECC83 ed il push-pull finale di EL84. Non ci dilunghiamo troppo nella ulteriore descrizione dello schema dato che riportiamo in figura 2, la disposizione dei vari elementi sullo chassis. La banda passante è di 20 ÷ 30.000 Hz, in posizione media di tonalità. La distorsione totale è dell'ordine del 5% a 10W, 400 Hz. Ecco le principali tensioni, misurate con strumento da 20.000 Ω, sui vari componenti: placca EL84 310 V, schermo 300 V, catodo 12,5 V; placca ECC83 200 V, catodo 62,5 V;

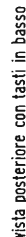
amplificatore a transistori costruito in Germania. Esso è del tipo stereofonico (in figura è stata riportata solo la parte destra dato che la parte sinistra deve essere realizzata in modo perfettamente identico) ma evidentemente si può usare la sola sezione indicata sullo schema ottenendo un ottimo amplificatore HiFi. In virtù dell'inversione di fase, realizzata su uno dei due amplificatori, l'altoparlante per le note basse può essere connesso in modo simmetrico. Il complesso può es-







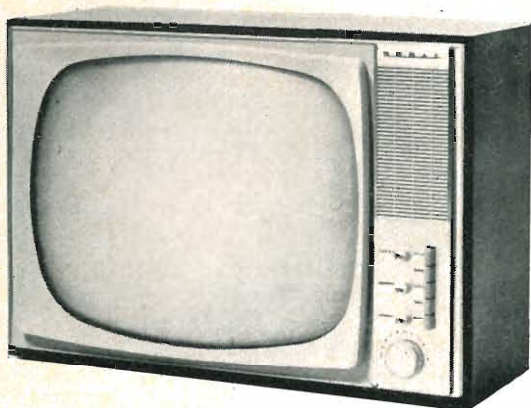
Schema elettrico del magnetofono Grundig, mod. TK 8



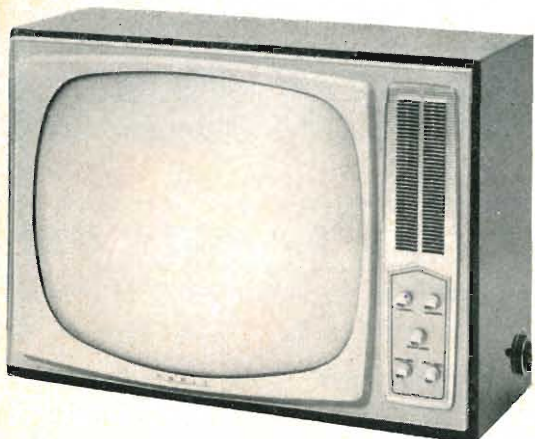
Schema elettrico del radiorecettore AM-FM Nova, mod. 1750

# ORGAL RADIO

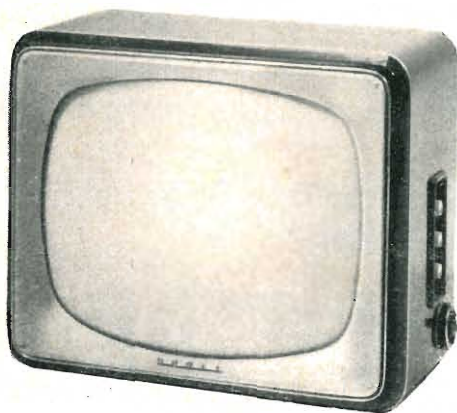
MILANO - Viale Montenero 62 - Tel. 585494



**Mod. 21/110-L** - *Il televisore di classe*



**Mod. 21/110-E** - *Il televisore per tutti*



**Mod. 17/110** - *Il televisore di minimo ingombro*

**Richiedere l'invio gratuito di illustrazioni  
con caratteristiche dettagliate e prezzi**

# UNA

TESTER  
GENERATORI  
VOLTOHMMETRI  
PONTI **RCL**  
OSCILLOSCOPI  
ANALIZZATORI  
PROVATRANSISTORI  
PROVAVALVOLE



## Generatore modulato **EP 109**

Il Generatore vobulatore EP 109 è stato progettato per l'allineamento dei circuiti a media ed alta frequenza dei moderni radioricevitori in AM e FM.

Comprende un oscillatore vobulatore, per il rilievo tramite un oscilloscopio delle curve di media e di alta frequenza degli apparecchi FM, e un oscillatore di buona stabilità, che può essere usato sia come calibratore durante il rilievo delle curve, permettendo un riferimento in frequenza o come generatore modulato per l'allineamento dei radioricevitori AM.



**MILANO**

Via Cola di Rienzo 53a - Tel. 474105 - 474060





## **"No Noise,"**

Disossida - Ristabilisce -  
Lubrifica i Contatti dei:

- COMMUTATORI
- GRUPPI AF
- CONTATTI STRISCIANTI delle commutazioni a pulsante
- NON ALTERA nè modifica le CAPACITÀ - INDUTTANZE - RESISTENZE
- NON INTACCA le parti isolanti, i dielettrici, e la plastica
- NON CORRODE i metalli preziosi

Confezione in BARATTOLO SPRUZZATORE da 6 once, corredato di prolunga per raggiungere i punti difficilmente accessibili.

Prodotto ideale per i Tecnici Riparatori Radio TV e Elettronica

Concessionario di vendita per l'Italia:

**R. G. R.**

CORSO ITALIA, 35 - MILANO - TELEF. 8480580

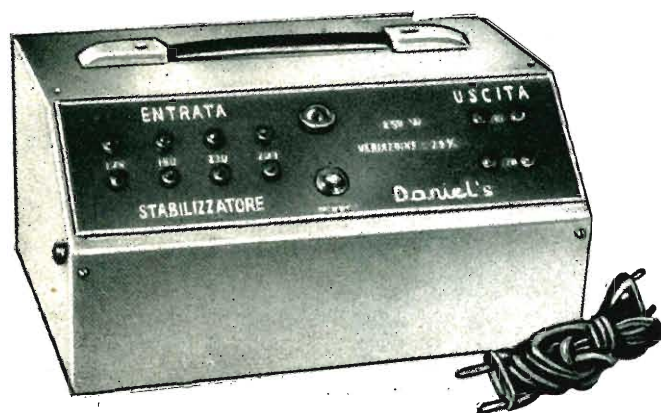
# *"Parapido"*

**Leggeri ...  
Perfetti !**

**Saldatori istantanei**

**Dott. Ing. PAOLO AITA**  
Corso S. Maurizio 65 - TORINO - Telef. 82.344  
FABBRICA MATERIALI E APPARECCHI PER L'ELETTRICITA'

## **TRASFORMATORI TORNAGHI - MILANO**

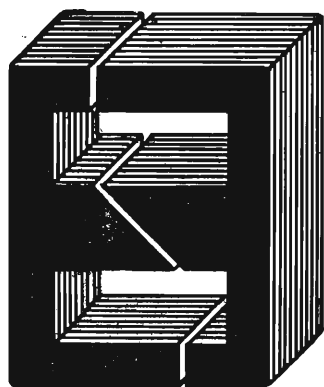


TRASFORMATORI • AUTOTRASFORMATORI • REATTORI  
VIA MONTEVIDEO 8 - TELEFONO 84.59.03

**Lo stabilizzatore che riassume  
i requisiti necessari  
ad un apparecchio di pregio**

Tensione di alimentazione universale - Tensione di uscita V 110-160-220 - Frequenza 50 Hz - Stabilizzazione  $\pm 2\%$  con variazioni  $\pm 20\%$  - Rendimento 80% - Potenza di uscita 250 VA

**Stabilizzatore di tensione  
a ferro saturo "Daniel's,"**



## **TASSINARI UGO**

Via Privata Oristano, 9  
Telefono 2571073  
**MILANO (Gorla)**

LAMELLE PER TRASFORMATORI RADIO E INDUSTRIALI - FASCE CALOTTE - TUTTI I LAVORI DI TRANCIAURA IN GENERE

**È USCITO:**

# **SCHEMARIO XI**

**60 SCHEMI**

**L. 2.500**

**Ed. IL ROSTRO**

Via Senato 28

**MILANO**

## **ECCEZIONALE!!!**

Radiogrammofono FM L. 20.650

Fonovaligia amplificata L. 11.800

RADIOTRANSISTOR L. 12.750

***Altri 20 modelli vari di apparecchi  
a prezzi di assoluta concorrenza***

TUTTE LE PARTI STACCATE RADIO TV  
Altoparlanti, condensatori, resistenze,  
valvole, minuterie ecc.

INVIAMO LISTINI GRATIS

### ***F.A.R.E.F. RADIO***

MILANO - Via A. Volta 9 - Tel. 666056



COMPONENTI PER RADIO TELEVISIONE ELETTRONICA

RADIO TELEVISION AND ELECTRONIC COMPONENTS

MILANO - Via Dezza, 47 - Tel. 487.727 - 464.555

**FILI RAME ISOLATI IN SETA**

**FILI RAME SMALTATI AUTOSALDANTI CAPILLARI DA 004 mm A 0,20**

**FILI RAME ISOLATI IN NYLON**

**FILI RAME SMALTATI OLEORESINOSI**

**Rag. FRANCESCO FANELLI**

**VIA MECENATE 84/9 - MILANO**

**TEL. 710.012**

**CORDINE LITZ PER TUTTE LE APPLICAZIONI ELETTRONICHE**



**Astars** di ENZO NICOLA

TELEVISORI DI PRODUZIONE PROPRIA  
e delle migliori marche nazionali e estere

SERVIZIO TECNICO ED ASSISTENZA:

Geloso - Radiomarelli - Telefunken

RAPPRESENTANZE con deposito:

IREL Altoparlanti - ICAR Condensatori

Vernieri isolati in ceramica per tutte le applicazioni.  
Parti staccate per televisione - MF - UHF - trasmettitori  
- Controlli elettronici - Automatismi industriali ecc.

**ASTARS** Via Barbaroux, 9 - TORINO } tel. 519.974  
tel. 519.507

## TRASFORMATORI

serie complete per TV - F. M. - A. M.  
Hi-Fi da 10/20 W.

per TRANSISTOR da 10 mW a 20 W.  
TRIFASI sino a 30 KVA.

STABILIZZATORI di tensione 10/500 VA.

*Interpellateci per i Vostri quesiti*

**TELEVOX** Via Iglesias 12 - MILANO

## TERZAGO TRINCIATURA S.p.A.

Milano - Via Taormina 28 - Via Cufra 23 - Tel. 606020 - 600191 - 606620

LAMELLE PER TRASFORMATORI DI QUALSIASI  
POTENZA E TIPO - CALOTTE E SERRAPACCHI PER  
TRASFORMATORI - LAVORI DI IMBOTTITURA

*La Società è attrezzata con mac-  
chinario modernissimo per lavo-  
razioni speciali e di grande serie*

**Gargaradio**  
R. GARGATAGLI

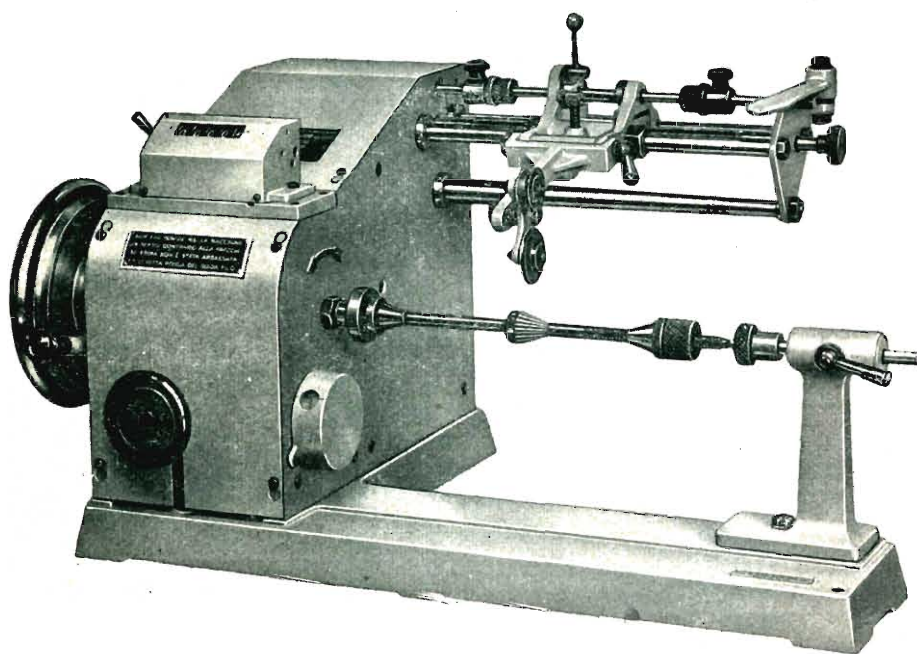
Via Palestrina, 40 - Milano - Tel. 270.888

**Bobinatrici per avvolgimenti lineari  
e a nido d'ape**

# Ing. R. PARAVICINI S.R.L. MILANO

Via Nerino, 8  
Telefono 803.426

## BOBINATRICI PER INDUSTRIA ELETTRICA



TIPO MP2A

### Tipo MP2A

Automatica a spire parallele per fili da 0,06 a 1,40 mm.

### Tipo AP23

Automatica a spire parallele per fili da 0,06 a 2 mm., oppure da 0,09 a 3 mm.

### Tipo AP23M

Per bobinaggi multipli.

### Tipo PV4

Automatica a spire parallele per fili fino a 4,5 mm.

### Tipo PV7

Automatica a spire incrociate. Altissima precisione. Differenza rapporti fino a 0,0003.

### Tipo AP9

Automatica a spire incrociate.

**Automatismi per arresto a fine corsa ed a sequenze prestabilite.**

### Tipo P1

Semplice con riduttore.

**Portarocche per fili ultracapillari (0,015) medi e grossi.**



# PER APPARECCHI - STRUMENTI - COMPONENTI RADIO E TELEVISIONE VI INDICHIAMO I SEGUENTI INDIRIZZI

## **Gruppi di A. F.**

### **GELOSO ■ Milano**

Viale Brenta, 29 - Tel. 563.183

### **NATIONAL - Ing. CONSOLARO ■ Milano**

Via Prestinari, 1 - Tel. 370.544

### **PHILIPS ■ Milano**

Piazza IV Novembre, 3 - Tel. 69.94

### **RICAGNI ■ Milano**

Via Mecenate, 71 - Tel. 720.175 - 720.736

### **SIEMENS - ELETTRA S.p.A. - Milano**

Via F. Filzi, 29 - Tel. 69.92

## **Valvole e tubi catodici**

### **FIVRE ■ Milano**

Via Guastalla, 2 - Tel. 700.335

### **ITER ■ Milano**

Via Visconte di Modrone 36 - Tel. 700.131 - 780.388

### **MARCONI ITALIANA ■ Genova**

Via Corsica, 21 - Tel. 589.941

### **PHILIPS ■ Milano**

Piazza IV Novembre, 3 - Tel. 69.94

### **TELEFUNKEN ■ Milano**

Piazzale Bacone, 3 - Tel. 278.556

## **Apparecchiature di alta fedeltà**

### **AUDIO - Torino**

Via Goffredo Casalis, 41 - Tel. 761.133

### **IMCARADIO ■ Milano**

Corso Venezia, 36 - Tel. 701.423

### **ITALVIDEO ■ Corsico**

Via Cavour, 38 - Tel. 83.91.418

### **LESA ■ Milano**

Via Bergamo, 21 - Tel. 554.342

### **MAGNETI MARELLI ■ Milano**

Organizz. Gen. Vendita Soc. SERT  
Via Gaffurio, 4 - Milano  
Tel. 222.300 - 278.110

### **PHILIPS ■ Milano**

Piazza IV Novembre, 3 - Tel. 69.94

### **PRODEL ■ Milano**

Via Monfalcone, 12  
Tel. 213.770 - 283.651

## **Bobinatrici**

### **GARGARADIO ■ Milano**

Via Palestrina, 40 - Tel. 270.888

### **GIACOM & MACCIONE ■ Milano**

Corso Vercelli, 51 - Tel. 411.628

### **PARAVICINI ■ Milano**

Via Nerino, 8 - Tel. 803.426

## **Registratori**

### **AUDIO - Torino**

Via Goffredo Casalis, 41 - Tel. 761.133

### **CASTELFRANCHI ■ Milano**

Via Petrella, 6 - Tel. 211.051

### **GELOSO ■ Milano**

Viale Brenta, 29 - Tel. 563.183

### **INCIS dei f.lli SEREGNA ■ Saronno**

Uff. Gen. Vendita - Milano  
Via Gaffurio, 4 - Tel. 222.300 - 278.110

### **LESA ■ Milano**

Via Bergamo, 21 - Tel. 554.342

### **MINIFON ■ Milano**

Agente Gen. per l'Italia:  
Miedico Alfredo  
Via P. Castaldi, 8 - Tel. 637.197

### **PHILIPS ■ Milano**

Piazza IV Novembre, 3 - Tel. 69.94

### **SIEMENS - ELETTRA S.p.A. - Milano**

Via F. Filzi, 29 - Tel. 69.92

## **Giochi di deflessione trasformatori di rlg E.A.T. trasformatori**

### **ARCO ■ Firenze**

Piazza Savonarola, 10 - Tel. 573.891  
573.892

### **LARE ■ Milano**

Via Marazzani, 8 - Tel. 240.469  
Laboratorio avvolgimenti radio elettrici



---

**TELEVOX - Milano**

Via Iglesias, 12 - Tel. 2.572.389

Trasformatori per Radio-TV Hi-Fi ecc.

---

**TRASFORMATORI TORNAGHI**

Milano

Via Montevideo, 8 - Tel. 845.903

---

**NATIONAL - Ing. CONSOLARO ■ Milano**

Via Prestinari, 1 - Tel. 370.544

---

**PHILIPS ■ Milano**

Piazza IV Novembre, 3 - Tel. 69.94

---

**SAREA ■ Milano**

Via S. Rosa, 14 - Tel. 390.903

---

**Giradischi - amplificatori  
altoparlanti  
e microfoni**

---

**AUDIO - Torino**

Via Goffredo Casalis, 41 - Tel. 761.133

Amplificatori Marantz, Acoustic Research

---

**GARIS ■ Milano**

Via Tito Livio, 15 - Tel. 553.909

Giradischi - Fonovalige

---

**ITALVIDEO ■ Corsico (Milano)**

Via Cavour, 38 - Tel. 83.91.418

Giradischi, amplificatori

---

**LESA ■ Milano**

Via Bergamo, 21 - Tel. 554.342

Giradischi, altoparlanti, amplificatori

---

**MAGNETI MARELLI ■ Milano**

Organizz. Gen. Vendita: Soc. SERT

Via Gaffurio, 4 - Milano

Tel. 220.300 - 278.110

Microfoni - Amplificatori - Altoparlanti

---

**PHILIPS ■ Milano**

Piazza IV Novembre, 6 - Tel. 69.94

Giradischi

---

**PRODEL ■ Milano**

Via Monfalcone, 12 - T. 283.651 - 283.770

Amplificatori

---

---

**SIEMENS - ELETTRA S.p.A. - Milano**

Via F. Filzi, 29 - Tel. 69.92

---

**Potenzimetri**

---

**GELOSO ■ Milano**

Viale Brenta, 29 - Tel. 563.183

---

**LESA ■ Milano**

Via Bergamo, 21 - Tel. 554.342

---

**LIAR ■ Milano**

Via B. Verro, 8 - Tel. 84.93.816

---

**MIAL ■ Milano**

Via Fortezza, 11 - Tel. 25.71.631/2/3/4

Potenzimetri a grafite

---

**PHILIPS ■ Milano**

Piazza IV Novembre, 3 - Tel. 69.94

---

**Antenne**

---

**AUTOVOX ■ Roma**

Via Salaria, 981 - Tel. 837.091

---

**IARE ■ Torino**

Tel. 690.377

Uff.: Corso Moncalieri, 223

Officina: Strada del Salino, 2

Antenne, amplificatori, accessori TV

---

**I.O.M.S.A. S.p.A. - Milano**

Brevetti « TELEPOWER »

P.zza S. Maria Beltrade, 1 - T. 898.750

---

**NAPOLI ■ Milano**

Viale Umbria, 80 - Tel. 573.049

---

**OFFICINE ELETTROMECCANICHE ■ LUGO (Ravenna)**

BREVETTI « UNICH »

Uff. Gen. Vendita: Milano - Via Gaffurio, 4  
Tel. 222.300 - 278.110

---

---

**SIEMENS - ELETTRA S.p.A. - Milano**

Via F. Filzi, 29 - Tel. 69.92

---

**Condensatori**

---

**DUCATI - ELETTROTECNICA S.p.A. ■ Bologna**

Tel. 491.701 - Casella Postale 588

---

**GELOSO ■ Milano**

Viale Brenta, 29 - Tel. 563.183

---

**MIAL ■ Milano**

Via Fortezza, 11 - Tel. 25.71.631/2/3/4

Condensatori a mica, ceramici e in polistirolo

---

**MICROFARAD ■ Milano**

Via Derganino, 18/20 - Tel. 37.52.17  
- 37.01.14

---

**PHILIPS ■ Milano**

Piazza IV Novembre, 3 - Tel. 69.94

---



Faè di Longarone (Belluno)

Tel. 14 - Longarone

---

**SIEMENS - ELETTRA S.p.A. - Milano**

Via F. Filzi, 29 - Tel. 69.92

---

**Stabilizzatori di tensione**

---

**CITE di O. CIMAROSTI ■ S. Margh. Ligure**

Via Dogali, 50

---

**GELOSO ■ Milano**

Viale Brepta, 29 - Tel. 563.183

---

**LARE ■ Milano**

Via Marazzani, 8 - Tel. 240.469

Laboratorio avvolgimenti radio elettrici

---



**KURTIS ■ Milano**

V.le Rim. di Lambrate, 7 - T. 293.529/315

**TELEVOX - Milano**

Via Iglesias, 12 - Tel. 2.572.389  
Stabilizzatori di tensione da 10 W a 500 W

**STARET ■ Milano**

di Ing. E. PONTREMOLI & C.

Via Cola di Rienzo, 35 - Tel. 425.757

### **Rappresentanze estere**

**AUDIO - Torino**

Via Goffredo Casalis, 41 - Tel. 761.133  
Audio Devices, nastri magnetici, dischi vergini, Scully, macchine per incidere dischi

**CIFTE**

Via Beatrice d'Este, 35 - Tel. 540.806 - Milano  
Via Provana, 7 - Tel. 82.366 - Torino  
Cinescopi, transistori, valvole

**ELECTRONIA ■ Bolzano**

Via Portici, 2

Televisori, Radio, Radiogrammofoni

**EXHIBO ITALIANA ■ Milano**

Via General Fara 39 - Tel. 667068 - 667832

**AVO - N.S.F. - Sennheiser - Neuberger, ecc.**

**GALLETTI R. ■ Milano**

Corso Italia, 35 - Tel. 84.80.580

Soluzioni acriliche per TV

Ing. S. e Dr. **GUIDO BELOTTI ■ Milano**

Piazza Trento, 8 - Tel. 542.051/2/3

Strumenti di misura

Agenti per l'Italia delle Ditte: Weston - General Radio - Sangano Electric - Evershed Co. - Vignoles - Tinsley Co.

**IMEXTRA - Milano**

Via Ugo Bassi, 18 - Tel. 600.253

«Synflex» - Fili smaltati capillari (dal 0,015 a 2 mm) di perfetta uniformità, anche ricoperti con seta, LITZ; Fili saldabili e fili autocementanti.  
«Hawe» - COSTANTANA e NI-CR in fili e piattine, lucidi o smaltati o ricoperti in seta.

**PASINI e ROSSI**

Via SS. Giacomo e Filippo, 31 r - Telefono 83.465 - Genova  
Via Recanati, 4 - Tel. 278.855 - Milano  
Altoparlanti, strumenti di misura

**SILVESTAR ■ Milano**

Via Visconti di Modrone, 21 - Tel. 792.791

Rapp. RCA

**SIPREL ■ Milano**

Via F.lli Gabba, - Tel. 861.096/7

Complessi cambiadischi Garraro, valigie grammofoniche Supravox

**VIANELLO ■ Milano**

Via L. Anelli, 13 - Tel. 553.081

Agente esclusivo per l'Italia della Hewlett-Packard co.

Strumenti di misura, ecc.

### **Strumenti di misura**

**BELOTTI ■ Milano**

Piazza Trento, 8 - Tel. 542.051-2-3

**I.C.E. ■ Milano - Via Rutilia, 19/18 - Telefono 531.554/5/6**

**INDEX ■ Sesto S. Giovanni**

Via Boccaccio, 145 - Tel. 24.76.543

Ind. Costr. Strumenti Elettrici

**PHILIPS ■ Milano**

Piazza IV Novembre, 3 - Tel. 69.94

**SIAE ■ Milano**

Via Natale Battaglia, 12 - Tel. 287.145

**SIEMENS - ELETTRA S.p.A. - Milano**

Via F. Filzi, 29 - Tel. 69.92

**TES ■ Milano**

Via Moscovia, 40-7 - Tel. 667.326

**UNA ■ Milano**

Via Cola di Rienzo, 53 a - Tel. 474.060

**VORAX-RADIO ■ Milano**

Viale Piave, 14 - Tel. 793.505

**Accessori e parti staccate per radio e TV**

**ASTARS RADIO di Enzo Nicola - Torino**

Via Barbaroux, 9

Tel. 519.974 - 519.507

Parti staccate, valvole, tubi, pezzi di ricambio TV, transistori

**BALLOR rag. ETTORRE ■ Torino - Via Saluzzo, 11 - Telef. 651.148 - 60.038**

Parti staccate, valvole, tubi, scatole montaggio TV

**ENERGO ■ Milano**

Via Carnia, 30 - Tel. 287.166

Filo autosaldante

**FANELLI ■ Milano**

Via Mecenate, 84-9 - Tel. 710.012

Fili isolati in seta

**FAREF ■ Milano**

Via Volta, 9 - Tel. 666.056

**GALBIATI ■ Milano**

Via Lazzaretto, 17 - Tel. 652.097 - 664.147

**GALLETTI ■ Milano**

Corso Italia, 35 - Tel. 84.80.580

**ISOLA ■ Milano - Via Palestro, 4 - telefono 795.551/4**

Lastre isolanti per circuiti stampati

**LESA ■ Milano**

Via Bergamo, 21 - Tel. 554.342

**LIAR ■ Milano**

Via Bernardino Verro, 8 - Tel. 84.93.816

Press, spine speciali, zoccoli per tubi 110

**MARCUCCI ■ Milano**

Via F.lli Bronzetti, 37 - Tel. 733.774

**MELCHIONI ■ Milano**

Via Friuli, 16 - Tel. 585.893



ALIMENTATORE in alternata per SONY ed altri tipi di ricevitori fino ad 8 transistori a 9 V. Elimina la batteria e riduce a zero il costo d'esercizio. Cambio tensioni per 125, 160 e 220 V. Munito di interruttore e lampada spia. Contro rimessa anticipata L. 1.980; contrassegno L. 2.100.

**MICRON TV - Industria 65 - ASTI**



---

**MOLINARI ALESSANDRO ■ Milano**

Via Catalani, 75 - Tel. 24.01.80

Fusibili per radiotelevisione

---

**PHILIPS ■ Milano**

Piazza IV Novembre, 3 - Tel. 69.94

---

**RADIO ARGENTINA ■ Roma**

Via Torre Argentina, 47 - Tel. 565.989

---

**RES ■ Milano**

Via Magellano, 6 - Tel. 696.894

Nuclei ferromagnetici

---

**SIEMENS - ELETTRA S.p.A. - Milano**

Via F. Filzi, 29 - Tel. 69.92

---

**SINTOLVOX s.r.l. ■ Milano**

Via Privata Asti, 12 - Tel. 462.237

Apparecchi radio televisivi, parti staccate

---

**SUVAL ■ Milano**

Via Pezza, 47 - Tel. 487.727

Fabbrica di supporti per valvole radiofoniche

---

**TERZAGO TRINCIATURE s.p.a. ■ Milano**

Via Cufra, 23 - Tel. 606.020

Lamelle per trasformatori per qualsiasi potenza e tipo

---

**VORAX RADIO ■ Milano**

Viale Piave, 14 - Tel. 793.505

---

### **Radio Televisione Radiogrammofoni**

---

**AUTOVOX ■ Roma**

Via Salaria, 981 - Tel. 837.091

Televisori, Radio, Autoradio

---

**DU MONT - Milano**

Via Montebello, 27 - Tel. 652646/7/8

Televisori

---

**GELOSO ■ Milano**

Viale Brenta, 29 - Tel. 563.183

Televisori, Radio, Radiogrammofoni

---

---

**IMCARADIO ■ Milano**

Corso Venezia, 36 - Tel. 701.423

Televisori, Radio, Radiogrammofoni

---

**INCAR ■ Vercelli**

Via Palazzo di Città, 5

Televisori, Radio

---

**ITALVIDEO ■ Corsico (Milano)**

Via Cavour, 38 - Tel. 83.91.418

Televisori

---

**ITELECTRA ■ Milano**

Via Teodosio, 96 - Tel. 287.028

Televisori, Radio

---

**LA SINFONICA ■ Milano**

Via S. Lucia, 2 - Tel. 84.82.020

Televisori, Radio

---

**NOVA ■ Milano**

Piazza Princ. Clotilde, 2 - Tel. 664.938

Televisori, Radio

---

**PHILIPS ■ Milano**

Piazza IV Novembre, 6 - Tel. 69.94

Televisori, Radio, Radiogrammofoni

---

**PRANDONI DARIO ■ Treviglio**

Via Monte Grappa, 14 - Tel. 30.66/67

Produttrice degli apparecchi Radio TV serie Trans Continents Radio e Nuclear Radio Corporation

---

**PRODEL ■ Milano**

Via Monfalcone, 12

Tel. 283.651 - 283.770

---

**RAYMOND ■ Milano**

Via R. Franchetti, 4 - Tel. 635.255

Televisori, Radio

---

**SIEMENS - ELETTRA S.p.A. - Milano**

Via F. Filzi, 29 - Tel. 69.92

Televisori, Radio e Radiogrammofoni

---

**SINUDYNE - S.E.I. ■ Ozzano Em. (Bologna)**

Tel. 891.101

Televisori, Radio, Radiogrammofoni

---

**TELEPUNKEN ■ Milano**

P.zza Bacone, 3 - Tel. 278.556

Televisori, Radio, Radiogrammofoni

---

---

**TELEVIDEON ■ Milano**

Viale Zara, 13 - Tel. 680.442

Televisori, Radio e Radiogrammofoni

---

**UNDA RADIO ■ Milano**

Via Mercalli, 9 - Tel. 543.241

Televisori, Radio, Radiogrammofoni

---

**VAR RADIO ■ Milano**

Via Solari, 2 - Tel. 483.935

Radio, Radiogrammofoni

---

**VEGA RADIO TELEVISIONE ■ Milano**

Via Pordenone 8 - Tel. 23.60.241/2/3/4/5

Televisori, Radio, Radiogrammofoni

---

**WATT RADIO ■ Torino**

Via Le Chiuse, 61

Televisori, Radio, Radiogrammofoni

---

### **Resistenze**

---

**CANDIANI Ing. E ■ Bergamo**

Via S. Tomaso, 29 - Tel. 49.783

---

**ELETRONICA METAL-LUX ■ Milano**

Viale Sarca, 94 - Tel. 64.24.128

---

**S.E.C.I. ■ Milano**

Via G. B. Grassi, 97 - Tel. 367.190

---

### **Gettoniere**

---

**NATIONAL - Ing. CONSOLARO ■ Milano**

Via Prestinari, 1 - Tel. 370.544

---

Pubblichiamo dietro richiesta di molti dei nostri Lettori questa rubrica di indirizzi inerenti alle ditte di Componenti, Strumenti e Apparecchi Radio e TV.

Le Ditte che volessero includere il loro nominativo possono farne richiesta alla « Editrice Il Rostro » - Via Senato, 28 - Milano, che darà tutti i chiarimenti necessari.



**UNA**

**Rivoluzione**

**NEL CAMPO DELLE  
ANTENNE TV!**

**LIONPLAST**

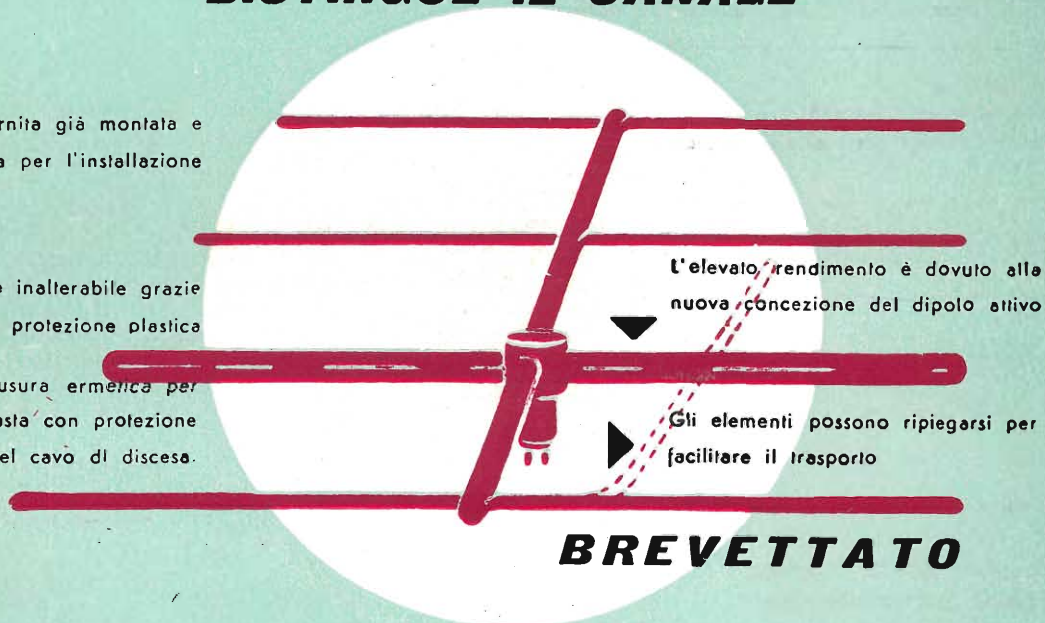
**UNA RICOPERTURA IN MATERIA PLASTICA  
PROTEGGE  
TOTALMENTE L'ANTENNA**

**IL COLORE DELL'ANTENNA  
DISTINGUE IL CANALE**

L'antenna è fornita già montata e  
pronta per l'installazione

Assolutamente inalterabile grazie  
alla completa protezione plastica

Dispositivo a chiusura ermetica per  
il fissaggio dell'asta con protezione  
del cavo di discesa.



**BREVETTATO**

**IL COSTO È NOTEVOLMENTE INFERIORE  
A QUELLO DI UNA ANTENNA  
A PARI ELEMENTI IN LEGA LEGGERA.**



**Lionello Napoli**

MILANO - V.le Umbria 80 - Tel. 57.30.49





## Testers analizzatori capacitometri misuratori d'uscita

NUOVI MODELLI BREVETTATI 630-B (Sensibilità 5.000  $\Omega \times \text{Volt}$ ) e Mod. 680-B (Sensibilità 20.000  $\Omega \times \text{Volt}$ ) CON FREQUENZIMETRO!!

### ATTENTI ALLE IMITAZIONI!!

ESIGETE SOLO I NUOVI MODELLI I.C.E. SENZA ALCUN COMMUTATORE E CON FREQUENZIMETRO!!

IL MODELLO 630-B presenta i seguenti requisiti:

- Altissime sensibilità sia in C.C. che in C.A. (5.000 OhmsxVolt)
- 30 portate differenti!!
- **ASSENZA DI COMMUTATORI** sia rotanti che a leva!!! Sicurezza di precisione nelle letture ed eliminazione totale di guasti dovuti a contatti imperfetti
- **FREQUENZIMETRO a 3 portate** = 0/50; 0/500; 0/5000 Hz.
- **CAPACIMETRO CON DOPPIA PORTATA** e scala tarata direttamente in pF. Con letture dirette da 50 pF fino a 500.000 pF. Possibilità di prova anche dei condensatori di livellamento sia a carta che elettrolitici (da 1 a 100  $\mu\text{F}$ ).
- **MISURATORE D'USCITA** tarato sia in Volt come in dB con scala tracciata secondo il moderno standard internazionale: 0 db = 1 mW su 600 Ohms di impedenza costante.
- **MISURE D'INTENSITÀ** in 5 portate da 500 microampères fondo scala fino a 5 ampères.
- **MISURE DI TENSIONE SIA IN C.C. CHE IN C.A.** con possibilità di letture da 0,1 volt a 1000 volts in 5 portate differenti.
- **OHMMETRO A 5 PORTATE** ( $\times 1 \times 10 \times 100 \times 1000 \times 10.000$ ) per misure di basse, medie ed altissime resistenze (minimo 1 Ohm - MASSIMO 100 "cento", megaohms!!).
- Strumento anti urto con sospensioni elastiche e con ampia scala (mm. 90 x 80) di facile lettura.

Dimensioni mm. 96 x 140: Spessore massimo soli 38 mm. Ultra-piatto!!! Perfettamente tascabile - Peso grammi 500.

IL MODELLO 680-B è identico al precedente ma ha la sensibilità in C.C. di 20.000 Ohms per Volt. il numero delle portate è ridotto a 28; comprende però una portata diretta di 50  $\mu\text{A}$  fondo scala.

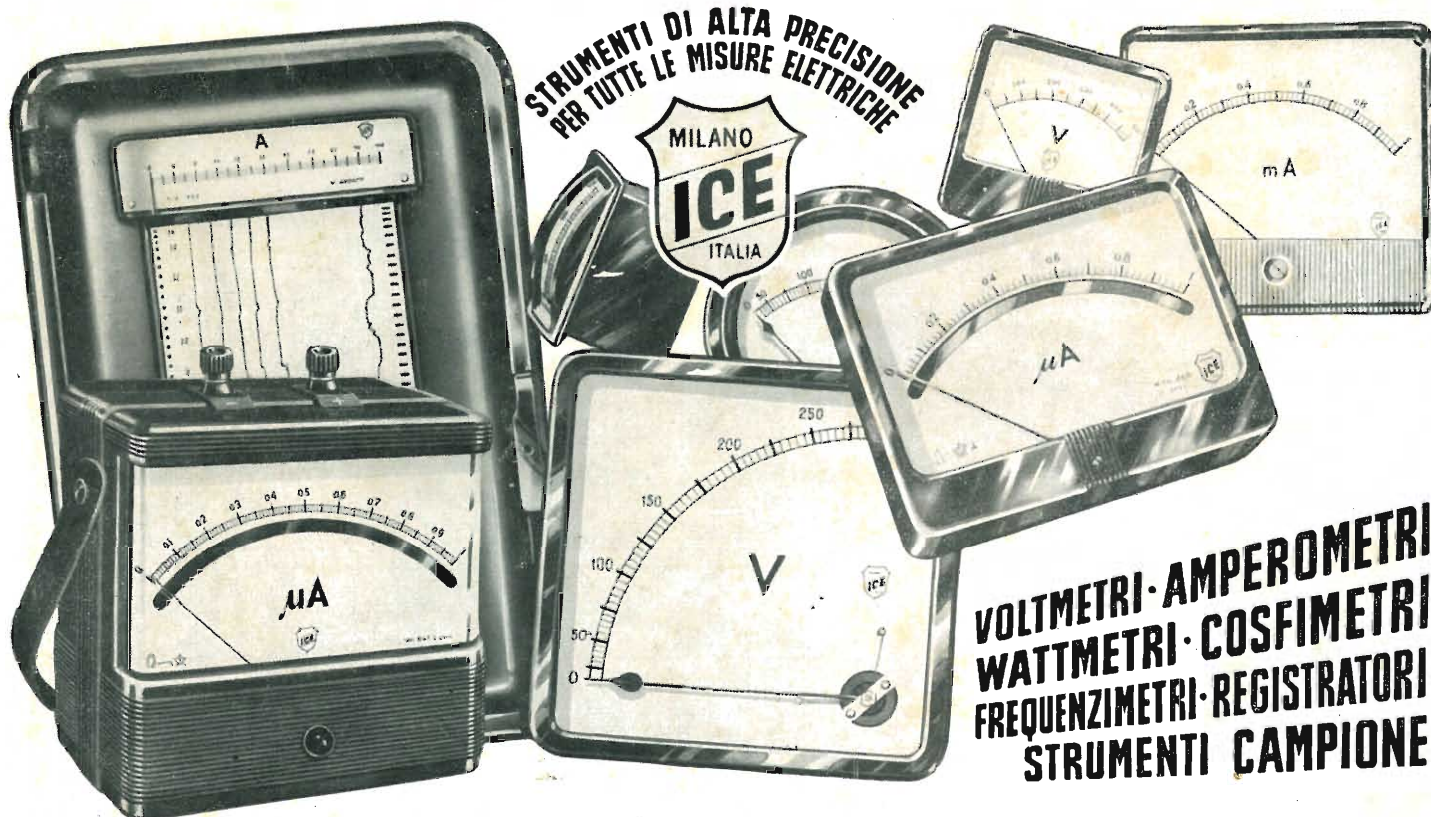
**PREZZO** propagandistico per radioriparatori e rivenditori:  
**Tester modello 630-B L. 8.860!!!**  
**Tester modello 680-B L. 10.850!!!**

Gli strumenti vengono forniti completi di puntali, manuale di istruzione e pila interna da 3 Volts franco ns. stabilimento. A richiesta astuccio in vinilpelle L. 480.



NUOVA SERIE BREVETTATA CON FREQUENZIMETRO!!

Volendo estendere le portate dei suddetti Tester Mod. 630 e 680 anche per le seguenti misure Amperometriche in corrente alternata 250 mA-c.a.; 1 Amp-c.a.; 5 Amp-c.a.; 25 Amp-c.a.; 50 Amp-c.a.; 100 Amp-c.a. richiedere il ns. Trasformatore di corrente modello 168 del costo di sole L. 3980.



STRUMENTI DI ALTA PRECISIONE  
PER TUTTE LE MISURE ELETTRICHE

VOLTMETRI · AMPEROMETRI  
WATTMETRI · COSFIMETRI  
FREQUENZIMETRI · REGISTRATORI  
STRUMENTI CAMPIONE

INDUSTRIA COSTRUZIONI  
Elettromeccaniche

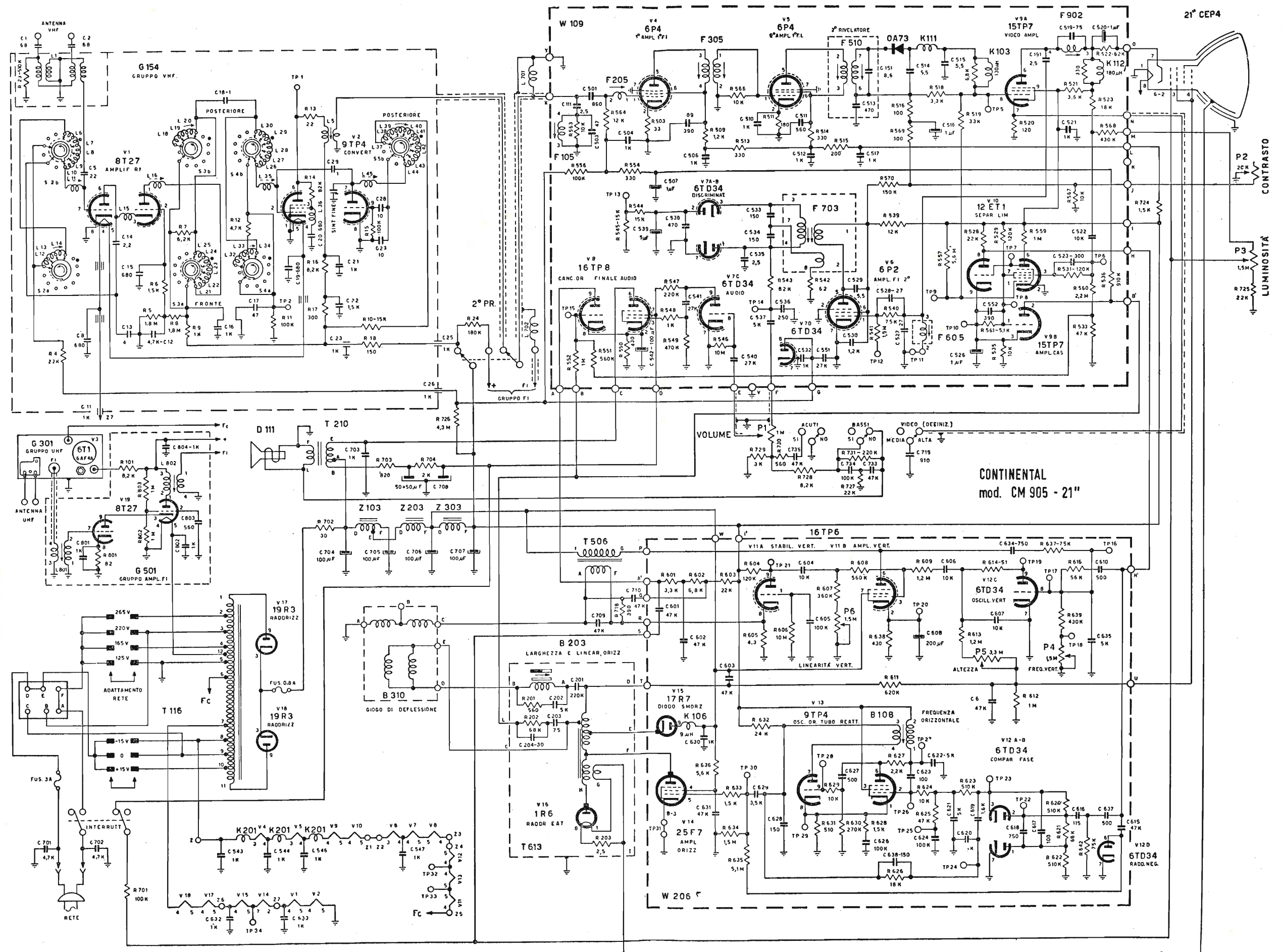


MILANO - VIA RUTILIA 19/18  
TELEFONI: 531.554/5/6  
TELEGRAMMI: ICE - RUTILIA - MILANO



# TELEVISORE CONTINENTAL

Mod. CM 905 - 21"



Schema elettrico del ricevitore TV - CONTINENTAL, mod. CM 905 - 21"